

Yuan-tzu neng

Vol. 6, no. 1

原子能

Атомная
энергия

СЕНТЯБРЬ
1960

1

1961

中国科学院原子核科学委员会編輯委员会編輯
科 学 出 版 社 出 版

目 录

論 文

測量融熔碱金属的压力、流量及液位用的仪表	(1)
用脉冲法測量石墨內的中子齡	(9)
論迴旋式加速器中束流的高頻积聚	(15)
关于中子輻照下弹性应力弛豫問題	(20)
工业鈾矿石分类的基本原則	(27)
关于应用浮选法淨化放射性废水的問題	(34)
波兰 BBP-C 型反应堆运行一周年	(39)

簡 报

(TBP) 重水反应堆的 γ 射綫譜	(51)
关于求出平面源的中子在无限介质內的空間能量分布問題	(54)
簡單的多道脉冲振幅分析器	(57)
$\text{Al}_2\text{O}_3\text{-Sm}_2\text{O}_3$ 和 $\text{Al}_2\text{O}_3\text{-Gd}_2\text{O}_3$ 系的研究	(59)

科 技 新 聞

在苏联国民經济中应用放射性同位素和核輻射的全苏會議	(61)
放射性同位素和核輻射在探矿和采矿中的应用	(61)
放射性同位素和核輻射在冶金工业中的应用	(63)
放射性同位素在选矿和采矿工业中的应用	(64)
放射性同位素和核輻射在建筑中的应用	(66)
放射性同位素在輕工业中的应用	(68)
放射性同位素和核輻射在机械制造中的应用	(70)
放射性同位素和核輻射在农业中的应用	(72)
放射性同位素和核輻射在食品工业中的应用	(74)
放射性同位素和核輻射在医学中的应用	(77)
控制和使工艺过程自动化用的 α 、 β 、 γ 輻射源	(79)
簡訊	(80)

新 书 介 紹

最新文獻	(82)
------------	--------

測量融熔碱金属的压力、流量及液位用的仪表

基利洛夫 (П. Л. Кириллов),
高列斯尼可夫 (В. Д. Колесников),
庫茲涅佐夫 (В. А. Кузнецов),
圖爾欽 (Н. М. Турчин).

本文描述了測量液态金属的压力、流量及液位用的仪表的結構, 計算原則及运用經驗, 具有上述用途的仪表可用于液态金属載热剂的反应堆。

本文作者們进行研究的結果确定: 結構上最可靠和简单, 实际应用上足够精确的仪表, 是带有中間隔离液体的双摺箱式压力表, 具有永久磁鉄的磁流量計, 以及超短波及电位計式的液位計。

在研究利用鈉及鈉鉀合金作为載热剂的工艺时, 首要任务之一是制造出測量液态金属的压力、流量及液位用的仪表。同类的为水及气体而設計的仪表, 在此情况下不能应用。第一是由于在这些仪表中所用的材料(黃銅、錫等)在上述的液态金属中会遭到腐蝕; 第二由于金属熔点高, 所以要求特殊的装置来加热仪表的发送器。液态金属的純度对于仪表的工作有很大关系。鈉及鈉鉀合金中所含的氧化物聚积在迴路的較冷部分, 会引起管道的堵塞或者改变仪表弹性元件的特性, 所以压力测点与发送器之間的管道不能很长。开口端伸出在热金属表面之上的气体管道或真空管道, 会被冷凝的金属所堵塞。

目前有关这方面仪表的文献并不多。最完全的文献一覽表見液态金属手册^[1]。文献[2]中有一章述及仪表。应该指出, 文献[1, 2]中所述的大多数方法, 由于不够完善及精确度不高, 或者由于太复杂和极不可靠, 在液态金属的工作中没有得到足够广泛的采用。在本文中叙述了一些用于融熔碱金属装置上的仪表的設置及运用結果。

压 力 表

測量液态金属压力最简单方法之一, 是通过充滿惰性气体的隔离箱插入普通的压力表(图 1)。这个方法的缺点在于必須对箱内金属液位进行控制, 而且由于压力表管道被冷凝的金属所堵塞致使装置的使用期不长。

文献[2]中所述的应变計式压力发送器, 对于大量生产說来太复杂, 而且运用起来不大可靠。其工作中的主要毛病是由于应变計金属絲性质的改变以及应变計与薄膜之間的連接不牢所引起的。

“压力表”工厂設計了感应发送器 MMC-4 的結構(图 2)。用特种鋼制的薄膜被压紧在法兰盘之間。发送器的下部法兰盘直接焊接在迴路管道上。由于与主管道的距离小, 这个仪表不需要专门加热。这样的仪表在温度达 450°C, 压力达 10 大气压的鈉迴路上已經采用过。仪表的薄弱环节是薄膜, 它不能防止过载, 并在迴路中經常的流体冲击的情况下会损坏。

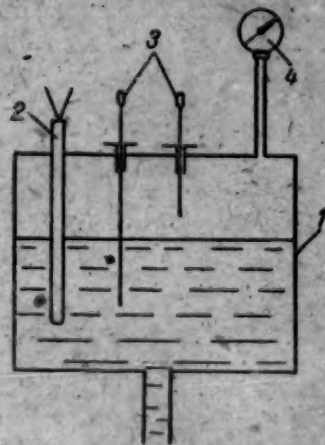


图 1 測量压力用的隔离箱簡图

1—隔离箱; 2—热电偶; 3—液位信号器; 4—压力表。

对于实验装置说来,足够简单而又可靠的是双折箱式压力表(图3)。发送器全部零件都用1X18H9T 不锈钢制成。在进入下部小室1的金属压力作用下,折箱伸长,并推动联杆2。联杆的位移传送到上部小室3的折箱,此小室通过管接头4而充满着油,这个折箱的收缩提高上部小室内的压力,它可用普通压力表5测量。后者应保持其工作容积不变,因为不然的话,

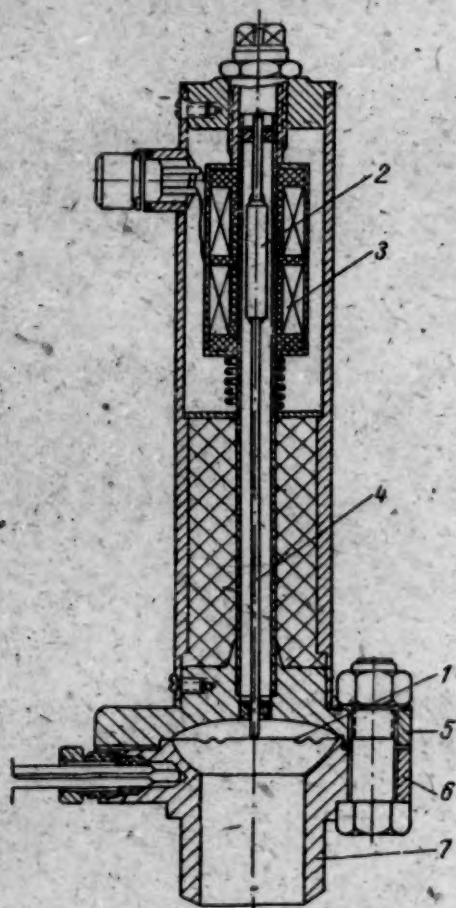


图2 带有感应线圈的薄膜式压力发送器

1—薄膜; 2—铁心; 3—感应线圈; 4—联杆; 5,6—法兰盘; 7—焊接用连接管。

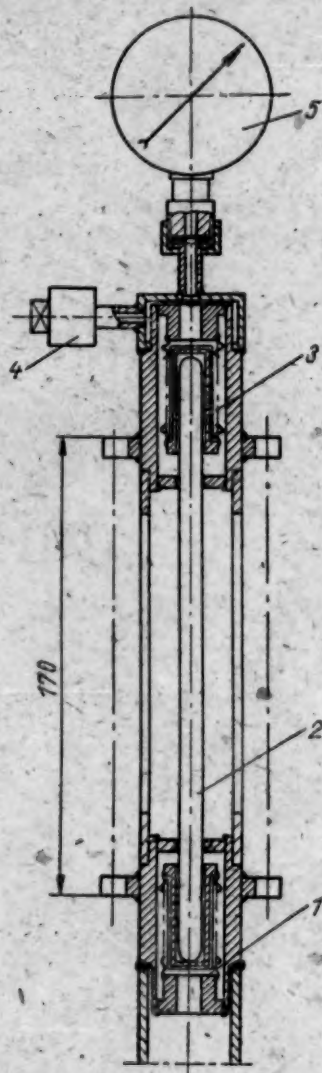


图3 双折箱式压力表

折箱的位置将改变得很厉害,这会导致因折箱的刚性而引起的误差。这个误差值是和折箱的刚度与其横截面面积之比成正比。三个具有不同刚度及不同尺寸的折箱式压力表与0.35级的标准压力表配成一套进行了校验。根据校验结果作出了曲线图(图4),图中表示了压力为6个大气压时,仪表刻度偏移的百分数 δ 和折箱刚度与其横截面面积之比之间的关系。从图可见,当 $\frac{A}{F} = 1.25$ 公斤/厘米²时,刻度偏移为2.5%,这是在工程上采用2.5级的仪表时所容许的。

在设计此类压力发送器时,应该特别注意仪表的温度误差。它主要是由以下两个原因引起的:第一是上部小室内油的膨胀,第二是联杆与紧束螺杆的伸长不同。温度误差的第一个组成部分可按下式计算

$$\Delta p_1 = 2A \frac{V\beta\Delta t_1}{F^2}, \quad (1)$$

其中 A ——折箱的刚度(公斤/厘米); V ——上部小室容积(厘米³); β ——油的体积膨胀系数(1/°C); F ——折箱横截面面积(厘米²); Δt_1 ——仪表工作时和小室充油时油的温度差(°C)。

温度误差的第二个组成部分比第一个小得多,可按式计算:

$$\Delta p_2 = \frac{A \alpha l \Delta t_2}{F}, \quad (2)$$

其中 α ——联杆线膨胀系数 ($1/^\circ\text{C}$); l ——联杆长度 (厘米); Δt_2 ——联杆与紧束螺杆的温差 ($^\circ\text{C}$).

计算与试验表明,可以设计出足以保证发送器达 2.5 级的这类结构. 双折箱式压力表的典型刻度列于图 5.

流 量 计

曾经企图用带有薄膜式感应差压表的节流式流量计来测量钠的流量,结果没有成功. 这种差压表的脉冲管在工作时很快就被氧化物所堵塞. 转子流量计也因为带有柱塞的管道被堵塞而很快损坏.

最简单而可靠的流量计是磁流量计. 仪表的工作原理在于测定液态金属在磁场中流动时所产生的电动势. 为液态钠冷却的 BP-5 核反应堆^[1]的主回路所设计的、具有永久磁铁的磁流量计的全貌图示于图 6.

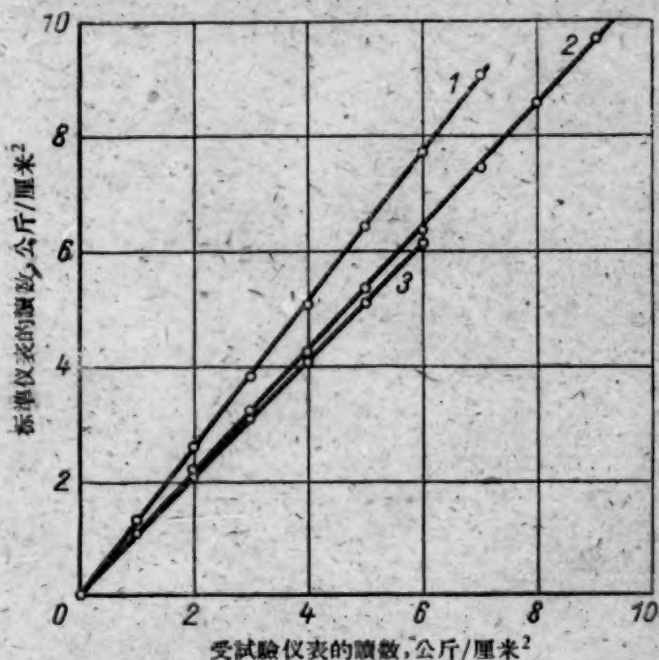


图 5 折箱刚度不同时双折箱式压力表的刻度, 当 A/F (公斤/厘米³) 值为:
1—10.7; 2—3.6; 3—1.25

流量计内产生的电动势按如下方程计算:

$$E = 0.1 B v d k_1 k_2 k_3, \quad (3)$$

式中, B ——磁极间的感应强度 (高斯); v ——金属在管道内的平均速度 (米/秒); d ——管道直径 (米); k_1 ——考虑到管道壁分路影响的系数; k_2 ——考虑到磁场尺寸有限的系数; k_3 ——考虑到由于磁铁系统发热而引起的缝隙内感应强度变化的系数.

$$k_1 = \frac{2 \frac{d}{D}}{1 + \frac{d^2}{D^2} + \frac{Q_{\text{ж}}}{Q_{\text{ст}}} \left(1 - \frac{d^2}{D^2}\right)}; \quad (4)$$

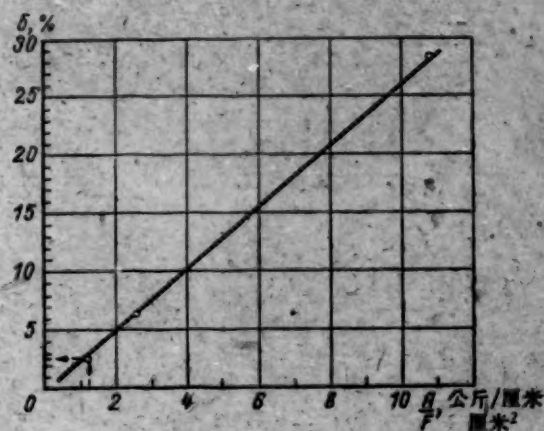


图 4 压力表刻度改变和折箱刚度与其横截面面积之比之间的关系



图 6 钠的流量达 200 米³/小时的磁流量计

$$k_3 = \frac{1 - \alpha_M(t_M - 20)}{1 - 6.95 \cdot 10^{-6} \frac{b}{a} (t_M - t_{00})} \quad (5)$$

式中, D ——管道外径; d ——管道内径; ρ_M, ρ_{0T} ——分别为液态金属及管壁的比电阻; α ——感应强度改变的温度系数; t_M, t_{00} ——分别为磁极及底座的温度; a, b ——分别为缝隙及轭铁的长度。

磁流量计读数的稳定性主要取决于磁铁材料的质量, 取决于它在长时间高温条件下保持其性能的能力。

我们采用了马格尼哥 (Магнито) 合金。用此合金制成的磁铁, 其缝隙内感应强度与温度的关系, 根据两个不同研究的结果, 表于图 7 中。磁铁放置于炉中, 应使其各部分温度相同。在工作条件下, 磁铁内温度分布是不均匀的。在磁极附近由于靠近液态金属管道, 磁铁温度较高。例如, 当液态金属温度为 620°C 时, 磁极对着管道的表面上的温度达 $200-220^\circ\text{C}$, 而轭铁的温度是 80°C 。因为磁铁平均温度低于 200°C , 所以感应强度的改变不大, 而系数 k_3 应该认为等于 1。这也为流量计的刻度 (在温度为 200 及 450°C 时进行的) 所证实, 在刻度过程中并没有发现与温度有何关系。

使磁铁工作稳定, 具有很大意义。当装配与磁化完毕后, 把磁铁的磁性减退 $5-10\%$, 并

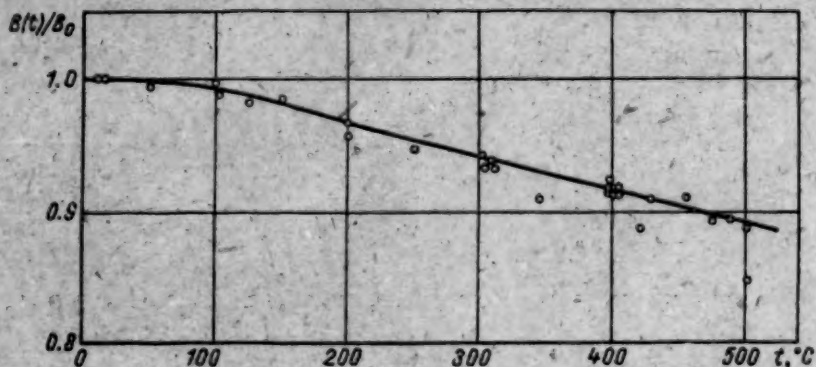


图 7 马格尼可合金的感应强度与温度的关系

在 300°C 温度下加热一昼夜, 然后, 用 0.1 公斤的力量对磁铁进行冲击, 并没有引起感应的显著改变。

对于三个在平均钠温为 400°C 的钠介质中工作流量计的刻度变化进行了一年的观察。观察结果表明, 在头七个月中, 磁铁缝隙内的感应强度每月减低 1% , 而在以后的几个月中, 每月减低 0.5% , 甚至于更少。

当液体进入磁场时, 在其边缘附近, 在几乎与磁场垂直的平面上, 产生电流, 它使磁铁原来的磁场产生畸变, 并导致输出信号的减弱。为估计这些边缘效应, 米歇利 (Мишель) 建议引入系数 k_2 , 这个系数取决于磁极端头的长度与管道内径之比。我们的试验没有证实上述 $k_2 = f(L/d)$ 的关系, 所以磁流量计中边缘效应对其读数的影响, 需要进一步研究。

为了测定电极在管道上焊接的不精确所产生的影响, 沿管道的周边及母线上焊了几对电极 (图 8)。电极间电动势测量结果如下表。

试验结果表明, 在直径 111 毫米的管道上, 电极沿金属运动方向偏移 10 毫米, 并不改变仪表的读数。一个电极沿圆周偏移 15° 所引起的信号减弱小于 3% 。

方程 (3) 仅对于液体的对称流动是成立的。局部液流阻力会破坏液流的对称, 并且使输出信号发生正向或负向的偏差, 这在文献 [4] 中已被阐明。在该文献中亦表明, 流量计应该安装在与液流局部破坏处相距不小于 15 倍管径的地方。我们发现, 当流量计安装在与导管作 90°

转弯处相距7倍直径的地方时,信号减弱2.5%。

电 极	电位差, 毫伏	电 极	电位差, 毫伏
1—1'	32.0	6'—7	33.0
a—a'	34.5	2—2'	34.5
a—6'	33.5	3—3'	34.0
a'—6	34.0	4—4'	33.0
6—6'	33.5	5—5'	31.5
a'—7	33.7		

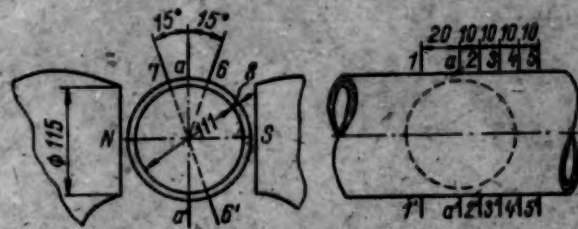


图8 电极在管道上的焊接图

磁流量计工作的开始阶段,输出信号偏弱,这是由于接触电阻的存在以及管道内表面没有润湿性的缘故。工作一段时间后,以及当温度升高时,钠-不锈钢的接触电阻变小,流量计的读数就稳定了。从图9可以看到,当载热剂流量不变时,两个流量计的读数(E_1 及 E_2)如何随金属温度升高而变化。所以在用新的仪表进行测量之前,建议把含有金属的那部分管道在一小时之内加热到300℃。



图9 因管道内表面接触电阻而引起的两个磁流量计读数的改变

流量计,是借助于两个通过隔离箱而接入的不同精确度的差示压力表,用文都利(Вентури)管进行刻度的。这个流量计磁铁缝隙内感应强度的测量表明,感应强度在缝隙内是不均匀的

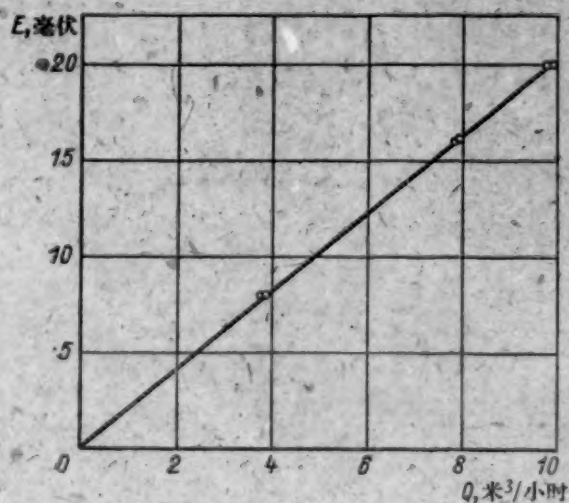
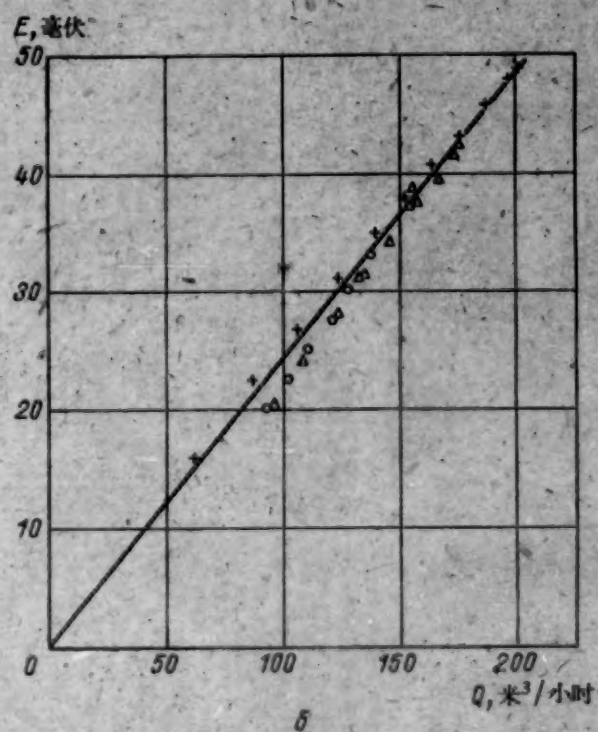


图10 磁流量计的刻度
a——流量为10米³/小时; δ——流量为200米³/小时; ○—— $t = 160^\circ\text{C}$
+—— $t = 245^\circ\text{C}$; △—— $t = 385^\circ\text{C}$

(图 11). 流量计是根据平均积分感应强度

$$\bar{B} = \frac{1}{D} \int_{-\frac{d}{2}}^{+\frac{d}{2}} B dl$$

来计算的。当平均积分感应强度为 840 高斯时，其最大值达到 950 高斯。从图 10 可以得出，假如取定 k_2 及 k_3 等于 1，则流量计的计算特性与试验特性相符。

由于在磁铁两极之间的管道内铁与镍的沉积，磁流量计的刻度可能发生改变。图 12 所示为磁流量计的直径为 27 毫米的管道在工作 1000 小时后的照片。照片中清楚地看到磁铁两极之间强磁性物质粉末的聚积。流通截面的减小引起液体速度的增长和输出信号增强 12.5%。

在钠及钠钾合金迴路中大量磁流量计操作的经验表明：这种流量计高度可靠、足够精确以

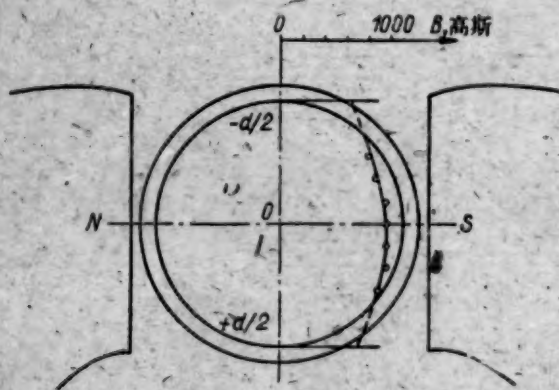


图 11 磁铁缝隙内感应强度的分布



图 12 流量计磁铁两极之间强磁性物质粉末的沉积

及操作简单。因此，可以推荐磁流量计应用于工业装置上。对于这样的流量计，可以有效地利用普通实验室型的电位计 (ПП 及 ППН) 以及盘式电位计 (ЭПВ, ЭПП-90, ПСР 及其他) 作为二次仪表。

液 位 计

最简单的液态金属液位信号器，是绝缘地通过液态金属储存箱顶盖而引入的杆子。杆子用填料密封。当杆子触及金属表面时，电路就接通，电灯及电流表都投入工作。这种接触式液位计的巨大缺点在于绝缘体的使用期很短。钠或钾的蒸气凝固在绝缘体的表面，因为一般说来，绝缘体的温度低于箱内金属的温度，而液位计就逐渐损坏。

也曾经试验过另一种液位计，其原理是电路电阻因金属液位的改变而改变。金属液位的升高接通了浸入箱内的部分电阻。测量电路电阻，就可以确定金属液位。仪表的原理图相当简单。这种液位计的主要缺点是仪表读数不稳定，这是由于当金属被排走时留下的液态金属膜所引起的。接触电阻与钠或钠钾合金受氧化物沾污的程度有很大关系。这种发送器只有在利用除净了氧化物的金属时才能工作。

放射性液位计能保证连续地无触点地测量液态金属液位。目前我国工业所生产的仪表 YP-4 能测量液位的范围达 2 米，容积直径达 1.5 米。在这个仪表中，对通过气—液分界面以上及以下的 Co^{60} 的 γ 射线通量进行比较。这个液位计可以成功地应用在实验室及工业用的装置上。仪表的缺点在于测量柱很庞大，同时，它不能应用在放射性液态金属的工作中。

超短波液位计是在发送器中不带可移动部分的液位计。它的作用原理在于超短电磁波从液体表面反射及在同轴电缆中形成驻波。同轴电缆的延续部分被用作仪表的发送器，它是降

入液态金属内的金属管道。在管道中心通过絕緣杆。用自补偿方法測定電纜內極小駐波的位置。这个仪表在液态金属温度不超过 $200-250^{\circ}\text{C}$ 时能长期工作。当温度更高时，鈉蒸气凝固于絕緣体上，仪表的正常工作就受到破坏。

如果把一个薄壁金属管浸入液态金属内，并且通上电流，在金属液面以下的那段金属管上的电压降将比同样一段在金属液面之上的金属管的电压降要小得多。可以建立一个跟踪系統，它将自动地測定金属管上电压梯度驟然改变之点。基于这个原理的液位計是高列斯尼可夫 (В. Л. Колесников) 所提出的，他把它称为电位計式液位計。液位計 (图 13) 的发送器是薄壁管 1，由变压器 2 供給低压交流电。发送器的管内，按其长度均匀地焊有把发送器与二次仪表的分段电阻 (滑綫变阻器) 3 連接起来的导綫。滑綫变阻器上的电位分布与测量管上的电位分布是相当的。信号是由滑动托架 4 的两个滑触头取下的。滑綫变阻器及两个相同的电阻 R_1 及 R_2 組成电桥綫路。当液态金属液位改变时， a, b 两点之間的电压也改变 (b 点与位于金属液面之上的引出点相对应)，因而产生不平衡信号，它以相当的相位传给放大器 6 的出口。这就迫使伺服机 5 把托架 4 沿着滑綫变阻器 3 往减小不平衡的方向移动。在結構上，发送器 (图 14) 是不锈钢制的薄壁管 1，其内部等距离地焊有垫圈 2 及套管 3。从垫圈及套管引出导綫去联接插头 6。薄壁管 1 的上端焊接于轉接管 5 上。轉接管的高度是这样选定的，即是使得管 1 的上部两段恒高出金属液面。液位計通过法兰盘 4 与箱相連接。液位計的二次仪表可以是任何的自动电桥或电位計，其由滑綫变阻器、两个滑动托架上的滑触头及两个不变电阻所組成的测量部分的結構可以改变。滑綫变阻器由 1400 圈瓷漆絕緣的錳鋁銅合金絲組成，每隔 200 圈焊有分支綫。仪表刻度的直綫性質是靠滑触头間的等距以及滑綫变阻器的分支綫間的等距而保證的。

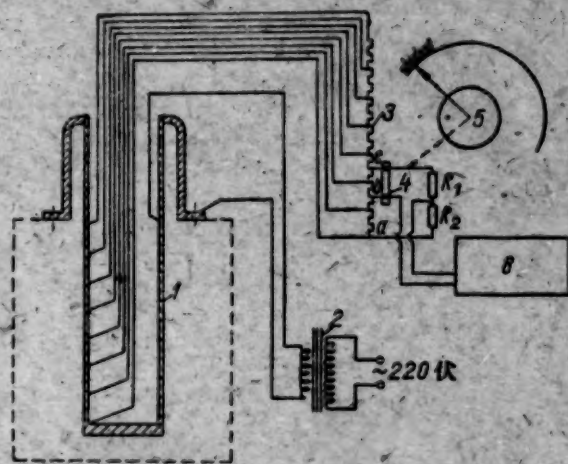


图 13 电位計式液位計的原理图

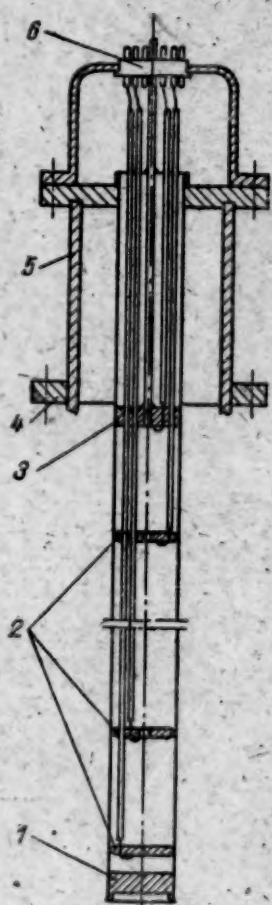


图 14 电位計式液位計发送器的結構

电位計式液位計在鈉鉀低熔合金中，在温度为 $200, 300$ 及 450°C 的情况下进行了試驗。为检查起见，利用了装在受試驗发送器的法兰盘上的探針。在試驗过程中取得了当液态金属液位改变时液位計讀数与检查探針讀数間的关系。讀数的稳定性在一定液位上进行了长时间的試驗。試驗結果确定，在很大范围内的温度改变并不影响仪表的讀数。鈉鉀合金中氧的重量含量曾达到 0.1% ，这也沒有影响到仪表的特性。当长期利用含有大量的飘浮在表面上的氧化物的液态金属进行工作时，氧化物会粘附在发送器管子上，这可能导致讀数錯誤。

参 考 文 献

- [1] Жидкометаллические теплоносители. Перев. с англ. под. ред. А. Е. Шейндлина. М., Изд-во иностр. лит., 1958.
- [2] С. С. Кутателадзе др: Жидкометаллические теплоносители. М., Атомиздат, 1958.
- [3] А. И. Лейпунский: Тр. Второй международной конференции по мирному использованию атомной энергии (Женева, 1958). Докл. советских ученых. Т. 2—Ядерные реакторы и ядерная энергетика. М., Атомиздат, 1959, стр. 215.
- [4] J. Shercliff: *J. Scient. Instrum.*, **32**, No. 11, 441 (1955).

用脉冲法測量石墨內的中子齡¹⁾

德羅烏格 (З. Длоуги)

(捷克斯洛伐克科学院原子核問題研究所, 布拉格)

利用置放于稜柱中的脉冲中子源, 測量了石墨內 $D-D$ 和 $D-T$ 反应的热中子齡。由热中子密度与時間的关系計算出了 $D-D$ 中子的有效年齡 $\tau_{\text{有效}} = 355 \pm 9$ 厘米², 該值換算为石墨的密度等于 1.6 克/厘米³。

$D-T$ 中子在石墨中的慢化可以近似地用兩組中子来表达: 一組是在慢化过程中仅仅只遭到一次非弹性碰撞 ($\tau_{\text{有效}} = 600$ 厘米²) 的中子; 另一組是遭受了若干次非弹性碰撞的中子 ($\tau_{\text{有效}} = 240$ 厘米²)。在确定年齡 τ 时, 所用到的这两組中子的相对貢獻分別等于 0.65 与 0.25。第三組中子是那些仅由弹性碰撞而得到慢化的中子。在一級近似中, 这类中子可以忽略, 因为它們的貢獻不大 (大約为 0.1), 而年齡非常大。

引 言

在計算和設計核反应堆时, 中子在慢化过程中距源的平方距离的平均值起着重要的作用。因为慢化后的中子的空間分布决定于它的标志年齡, 所以年齡和扩散系数 D 的測量是有巨大意义的。

設計反应堆时, 为了測量中子的年齡, 在大多数情况下需要利用一个发射裂变中子的恆定源, 而慢化中子的空間分布要用共振探测器 (例如用鈾作的探测器, 鈾在能量为 1.44 电子伏时有共振峯) 来測定。在計算热中子反应堆时, 很明显, 利用慢化到热能の年齡数值能够取得好的結果。到达热能の年齡通常是由測量迁移面积并由其中減去扩散长度的平方而得到的。也可以用吸收物質使介質“中毒”的方法把扩散影响大大減少后来測量。但这种复杂的方法在測量时有些不精确。

應該注意到, 中子在鈾-石墨反应堆中的平均寿命 (大約 1000 微秒) 比起它慢化及达到热平衡速度譜所必須的時間は不大的。用脉冲源的方法能够直接确定标志年齡与時間的关系。这个方法的优点在于: 它可以得到从开始慢化直到达到热扩散为止这段時間間隔中有关中子性質的詳細資料。这样, 就可以在一段具有重要意义的時間間隔里观察热中子由慢化到扩散的逐步过渡。因此, 本工作的目的是: 用放置在稜柱內的脉冲中子源測量中子在慢化剂中的年齡和扩散系数^[1]。实验的布置应尽可能地接近单能中子点源在单向无限伸张介質中的理想情况。

理 論

在測量从脉冲中子源得到的中子的年齡时, 可以利用两种方法。一种方法在文献[2]中已經叙述过, 在这篇文献中, 根据热中子起始密度与表征慢化剂特性的几何因子的关系, 确定了中子在水中的年齡。慢化剂的尺寸要选择成这样的: 使得在足够大的時間內仅仅对中子密度分布函数的一次諧波是重要的。这种方法的优点在于: 它要求使用数量較少的慢化物質。然

1) 本工作系由苏联科学院列別捷夫 (П. Н. Лебедев) 物理研究所完成。

而它不能给出起始时刻的中子扩散的确切资料,因为高次谐波的出现使得扩散的描述复杂化。因此,正象利用恒定中子源的方法一样,用这种方法难以得到在由慢化过渡到热扩散过程的资料。在文献[1]中所叙述的另一个方法,建议应用无限长的稜柱来进行测量。在稜柱中心闪发单能快中子,然后这些快中子便在稜柱内慢化和扩散。我们在测量中利用了这种方法。

稜柱是一个直角平行六面体,截面为 b_0c_0 。为了保证系统(沿 x 轴方向)的无限伸张性,需要利用稜柱,其长度 a_0 至少要超过扩散长度 L_3-5 倍。

利用费米年龄理论就容易获得由单能快中子脉冲点源得到的慢中子密度 $n(x, y, z, t)$ 的表达式

$$n(x, y, z, t) = \text{const} \frac{1}{\sqrt{\tau(t)}} e^{-\frac{x^2}{4\tau(t)}} \times \Phi(y, z, t) e^{-\frac{t}{T_c}}, \quad (1)$$

式中 T_c 是中子在慢化剂中的平均寿命,它由吸收情况来决定, $\tau(t)$ 是所谓的广义中子年龄。

因子 $\Phi(y, z, t)$ 与坐标 x 无关。在给定的时间 t 测量了点 (x_1, y, z) 与 (x_2, y, z) 的中子密度后,由公式(1)我们可以得到广义年龄的表达式^[1]

$$\tau(t) = \frac{x_2^2 - x_1^2}{4 \ln \frac{n(x_1, y, z, t)}{n(x_2, y, z, t)}} \quad (2)$$

在导出公式(2)的时候,对于时间值不需要附加任何限制。如果仅仅年龄方程的可应用性条件得到满足的话,这个表达式对任何时间都是正确的。

广义年龄可以写成

$$\tau(t) = \int_0^t D(t) dt. \quad (3)$$

如果中子与介质达到热平衡,那么,扩散系数 $D(t)$ 应该为常数 D_T , 因而对于大的时间来说,年龄可以写成

$$\tau(t) = \tau_{\text{eff}} + D_T t.$$

这样一来,当时间大时,广义年龄与时间的关系是线性的。将这条直线外推到 $t = 0$, 便得到年龄的有效值。应用有效年龄就可以利用通常的近似方法,在这种近似法中慢化过程被当作是瞬时的,而扩散系数等于 D_T , 并与时间无关。

实验装置的描述

为了测量年龄及扩散系数,用大小为 $330 \times 120 \times 70$ 厘米的石墨块堆砌了一个稜柱(图1)。石墨的平均密度为 1.67 克/厘米³。

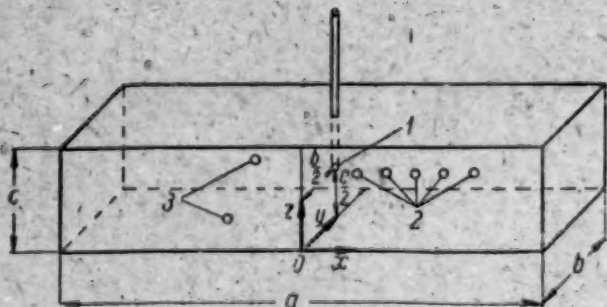


图1 石墨稜柱的几何形状

1——中子源(加速管的靶); 2——测量热中子密度的计数管位置; 3——监测器。

稜柱位于房屋中心。稜柱的轴沿水平安置。由稜柱表面到壁的距离大于 180 厘米,距地板 100 厘米。放在金属和木架上的稜柱用一层厚 1 毫米的铜片复盖,以便消除稜柱外所散射的热中子的影响。

在稜柱中心放置着中子源——铍-氘靶或铍-氚靶。氘核束投射到靶上。氘核用苏联科学院物理研究所的直流 240 仟伏高压离子管来加速。为了将中子源放入稜柱内部,在石墨内开了一个长 40 厘米的垂直孔道,孔道内紧紧地插着一根靶的黄铜管(直径 2.8 厘米,壁厚 0.8 毫米)。靶安

置在两个氟塑料制的环之间。

为了得到调制的束流,在别宁格(Пенинг)型离子源的阳极上附加了 0.8—1.2 仟伏宽度为 5 微秒的脉冲,跟踪频率 62—625 赫芝。以脉冲形式打到靶上的氘核流的宽度约为 8 微秒。

氘核束在磁场中飞行途中受到偏转,仅仅纯的原子离子束可以用于靶上反应。在这种情况下,直径为 10 毫米的靶上的平均离子流为 1.5 微安。因为靶上的平均离子流弱,所以不要水冷(如果有水会给测量带来附加误差),这就可以使靶保持较小的尺寸。中子产额是用放在石墨中的两个硼计数管(监守器)和一个由 D—T 反应记录 α 粒子的正比计数管来测量的。

为了保证良好的分辨率及不严重破坏被研究介质的均匀性,使用了特殊的小型硼正比计数管,其直径 10 毫米,长 100 毫米,计数管封装在铝管中。把计数管放入石墨柱后,有一个石墨砖块的密度降低了 0.8%。测量中子密度的地点与靶相距 15, 35, 55, 75, 95 厘米。计数管放入水平孔道内,这样一来,其轴垂直于源的方向。没有中子计数管的孔道装满了石墨棒。计数管在坐标 x 与 z 上的位置不确定量小于 0.1 厘米,在 y 坐标上的位置不确定量为 ± 0.2 厘米。

来自计数管的脉冲被宽频放大器放大,并输到施特拉尼赫(И. В. Штраних)与马塔林-斯鲁茨基(Л. А. Маталин-Слущкий)所设计的可调道宽(1—80 微秒)的 100 道时间分析器中去。分析器按照相对于中子闪发所延迟的时间来分析脉冲。这个装置的主要线路与文献[1]所描述的类似。脉冲由石英振荡器送达分压器,然后再送到脉冲成形线路。由那儿再通过两个阴极跟踪器,同样的脉冲用来控制中子的闪发和触发时间分析器。

测量结果

根据公式(2)算出了 D—D 中子到达热能之前的年龄值。为此曾在离快中子源的几种不同距离处测量了热中子密度与时间的关系。因为热中子密度可以用方程式(1)来表达,所以曲线的形状与时间以及与源的距离有关。

图 2 是根据公式(2)由实验数据计算出的年龄与时间的关系曲线。在图 2 的右面部分单独用较大的比例画出了曲线 $\tau(t)$ 的起始部分。由图可见,曲线 $\tau(t)$ 起初急剧地上升,然后渐近于直线。由等式 $D = \frac{d\tau}{dt}$ 得到:扩散系数

随时间减小,趋近于一个常数。大约 $t = 1000$ 微秒方达到这个常数,并且 $D_r = (2.03 \pm 0.08) \cdot 10^5$ 厘米²·秒⁻¹(图 3 是扩散系数与时间的关系曲线)。

换算了石墨的密度为 1.6 克/厘米³时的常数后,我们得到 $D_r = (2.12 \pm 0.08) \cdot 10^5$ 厘米²·秒⁻¹。

要想从图 2 的曲线很精确地定出扩散系数是不可能的,因为在时间值小的地方并不大的统计误差增长得异常迅速,在 4 微秒时已经达到 5—10%。因此可以认为我们测得的结果是令人满意的。

年龄曲线外推到 $t = 0$ 可以得到 $\tau_{\text{有效}} = 325 \pm 8$ 厘米²,这相当于当石墨密度为 1.6 克/厘

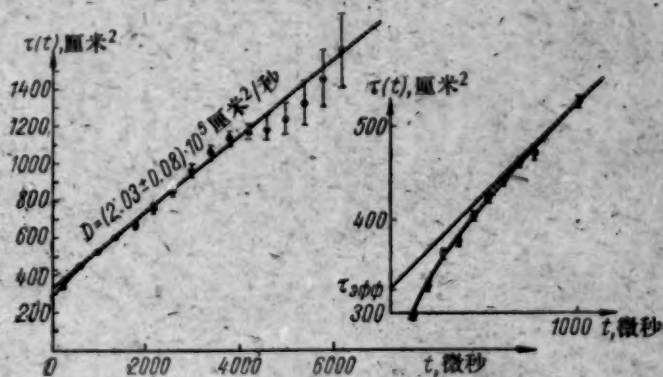


图 2 D—D 中子的年龄与时间的关系

图中可以看到,当时间值小时,由于扩散系数 D_r 的增加而产生的较外推直线的偏低部分。年龄的测量是在距源为 15, 35 与 55 厘米处进行的。

米²时 $\tau_{\text{有效}} = 355 \pm 9$ 厘米²。D—T 中子年龄的测量是一个较 D—D 中子更复杂的过程。当时间小时在离源不同距离处的几对不同地点所测量的,按照公式(2)而计算出的年龄曲线(图4)彼此不相符合。因此用一个年龄不可能单值地描写这个慢化过程。下面我们将较详细地分析 D—T 中子的慢化过程。

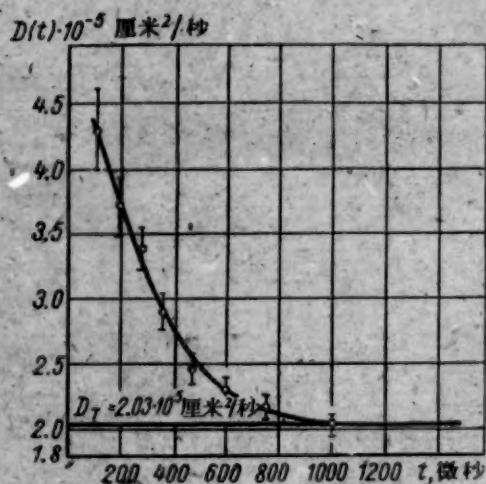


图3 扩散系数与时间的关系

$D^2(t)$ 以张弛时间 $t_r = 195 \pm 35$ 微秒指数地趋向 D_7^2

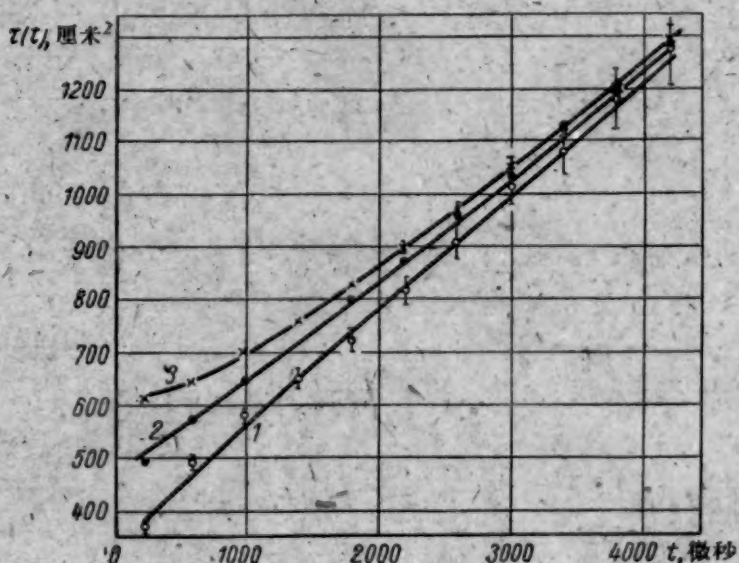


图4 D—T中子的年龄与时间的关系

是距离源 15 与 35 厘米远的测量结果,与考虑年龄为 τ_1 及 τ_2 的二群中子在同样的距离下而计算出的曲线 1 很符合。
●——距离为 15 及 95 厘米及计算曲线 2 时的实验点
×——距离为 75 与 95 厘米的实验点及计算曲线 3

D—D 中子测量结果的讨论

中子的慢化和扩散过程可以假定分为三个阶段。

在相应于中子能量较大的(即慢化时间短)第一个阶段,慢化是在自由核上进行的。一次碰撞的能量平均对数缩减与能量无关。在这个能量区域,对于原子量不太小的一些慢化剂说来,起始能量为 E_0 ,被慢化到能量为 E 的单能中子的年龄是由下式来确定。

$$\tau(E) = \int_E^{E_0} \frac{\lambda_r(E)}{3\xi(1 - \cos\theta)} \frac{dE}{E}, \quad (4)$$

式中 λ_r 是自由路程长度; $\overline{\cos\theta}$ 是在实验室坐标系中的散射角的平均余弦。

然而,当中子的温度达到接近于慢化剂的原子在晶体点阵中的结合能时(约为 $5kT_0$),可以认为中子过渡到了另外一个阶段。从理论上来确定慢化剂的晶体点阵中原子结合能的影响是困难的,但是,考虑到这种原子的慢化作用较自由原子小,可以假定,中子的年龄实际上会超过[按照公式(4)]所希望的,并且纯粹的热中子扩散将过很久才出现。

如果用温度 T 来表征未被完全慢化的中子的平均能量,那么可以假定^[3], $\frac{dT}{dt} = -\nu(T - T_0)$, 即温度的衰减速度与 T 和介质温度 T_0 间的差成正比。在这种情况下,高于介质温度的中子温度将按指数定律 $e^{-\nu t}$ 而减低。这时扩散系数将趋向于 D_r , 而年龄与时间的关系将变为线性关系(第三阶段)。图 2 的曲线起始部分可以用来决定系数 ν (见图 3), 因为扩散系数的平方正比于中子的瞬间温度(假定,由 1 电子伏至热能的区间里 $\lambda_r = \text{常数}$)。由实验数据得出:中子的温度 $T(t)$ 随着张弛时间 $t_r = \frac{1}{\nu} = 195 \pm 35$ 微秒指数地趋近其平衡值。这个结

果与文献[4,5]中所作的测量结果相符,在这两篇论文中,通过使中子穿过银过滤器的方法研究了中子温度趋近于平衡状态的过程。

当把我们的结果与用恒定源方法所作的实验结果比较时,应该注意到以下所讲的情况。用各种不同的共振探测器所得到的能量超过 0.1 电子伏的中子年龄的数据,应该服从关系(4),如果把把这个关系放在时间标度上的话,则它应该与我们测到的曲线起始部分相符。可是在确定到达热能的中子年龄时,文献[6]的迁移面积的测量结果以及从其中减去扩散长度的平方的结果却不一样。这样测出的年龄值等于将实验曲线 $\tau(t)$ 相应的部分用直线外推到时间为零时所得到的值。这样可以测出 $\tau_{\text{有效}}$ 。在短时间下,用共振探测器测量获得的 $\tau_{\text{有效}}$ 的真正值低于外推直线。

这样,从测量迁移面积而得到的 $\tau_{\text{有效}}$ 应该与用脉冲方法所得到的 $\tau_{\text{有效}}$ 值相比较。可是应该注意到:仅在年龄与时间关系曲线的直线部分,即当 $t > 1000$ 微秒,扩散系数不变时,把 τ 外推到 $t = 0$ 时所得的结果才是单值的。实际上,在反应堆物理中,较小的一段时间起着重要作用。因此,严格地讲, $\tau_{\text{有效}}$ 的概念是不十分确定的。只有用脉冲法所作的测量才有可能追踪随时间变化的年龄的真值。

D—T 中子年龄的测量

我们曾试图用计算 D—D 中子年龄值的方法来算 D—T 中子的年龄值。前面曾经指出:当时间值小时根据公式(2)不可能计算出确定的年龄值,因为所得到的年龄曲线随着测量热中子密度时离源的距离不同而各有差异。这是很自然的,因为 D—T 中子源放出能量为 14.1 兆电子伏的中子,这种中子不仅在弹性碰撞时,而且在非弹性碰撞时也会损失本身的能量。

众所周知,14.1 兆电子伏的中子在石墨中慢化时能够同时产生三种不同的过程:1)弹性散射 $C_6^{12}(n, n')C_6^{12}$; 2)非弹性散射 $C_6^{12}(n, n')C_6^{12*}$; $C_6^{12*} \rightarrow C_6^{12} + \gamma$; 3)非弹性散射 $C_6^{12}(n, n')3\alpha$ 。这两个非弹性过程都严重地影响着年龄值,并使慢化过程复杂化。过程 2)的阈能在 4.41 兆电子伏的能量范围内^[7],过程 3)的阈能在 7.7 兆电子伏范围内。

如果考虑到,在慢化过程中不是所有的中子都遭到同样次数的非弹性碰撞过程,而非弹性碰撞过程 3)丢失的能量大大超过非弹性碰撞过程 2)所丢失的能量。那么,为了精确地描写 D—T 中子的慢化过程,不能只用一个年龄,必须至少要考虑到属于不同年龄的两组中子,就是很明显的事了。

在这种情况下,由 D—T 源发出的热中子密度应该遵从关系式

$$n(x, y, z, t) = \text{const } e^{-\frac{t}{T_c}} \times \left[\frac{a_1}{\sqrt{\tau_1}} e^{-\frac{x^2}{4\tau_1}} \Phi_{\tau_1}(y, z, t) + \frac{a_2}{\sqrt{\tau_2}} e^{-\frac{x^2}{4\tau_2}} \Phi_{\tau_2}(y, z, t) \right], \quad (5)$$

式中 $\Phi_{\tau_i}(y, z, t)$ 是与 x 坐标无关的项。看来,为了定出年龄值,由式(5)得不出一个类似于(3)的表达式。可以假定,年龄 τ_1 决定(在慢化过程中仅仅只遭遇到一次弹性碰撞的)中子的行为,这样小的年龄 τ_2 便应该表征所有其余遭受到多次非弹性散射的中子的平均行为。要精确地把中子分为这样两组是困难的,但这样一个事实是很清楚的:在离源距离小的地方,最初一段时间(直到 1000 微秒)热中子的分布应该基本上决定于年龄 τ_2 ,而在相当大的一段距离内,年龄 τ_1 起着很大作用。这样便可以求出 τ_1 与 τ_2 的近似值。

但是,为了更精确地测定年龄 τ_1 与 τ_2 ,就需要了解表达式(5)中相应各项的贡献,即:需

要了解 $\frac{a_1 \Phi_1(y, z, t)}{a_2 \Phi_2(y, z, t)}$. 因为可以认为 $\Phi_{\tau_i}(y, z, t)$ 这项正比于 $e^{-\omega^2 \tau_i}$, 式中 $\omega^2 = \pi^2 \left(\frac{1}{b^2} + \frac{1}{c^2} \right)$

(我們只从描写 y 方向与 z 方向衰減的諧波和中取头一項), 所以主要的問題在于决定 $\frac{a_1}{a_2}$ ($b = b_0 + 2 \cdot 0.71 \lambda_{tr}$; $c = c_0 + 2 \cdot 0.71 \lambda_{tr}$). 我們曾试图由 1) 2) 3) 諸过程的有效散射截面与能量的关系来决定比 $\frac{a_1}{a_2}$ [8]. 由于对这些截面与能量的关系以及中子的非弹性散射譜沒有精

确測量过, 所以測定 $\frac{a_1}{a_2}$ 比值的誤差較大. 如果应用由这种方法得到的近似的比值 $\frac{a_1}{a_2} =$

$\frac{0.65}{0.25}$, 那么将式(5)与測到的年齡曲綫相比較就可以近似地估計出年齡 τ_1 与 τ_2 . 在这种假

設下求出的值 $\tau_{1有效} = 600$ 厘米², $\tau_{2有效} = 240$ 厘米², 只能認為是經驗常数. 它們定性地相应于(14.1 兆电子伏中子在石墨中散射所应出現的)兩組非弹性散射中子的能量 [9, 10].

更精确的研究表明, 除了年齡为 τ_1 与 τ_2 的兩組中子外, 在表达式(5)中还應該用到描写年齡为 τ_3 的中子組的第三項, 这一組應該决定那些只由弹性碰撞来慢化的中子的行为. 这些中子的年齡非常大 ($\tau_3 \cong 900$ 厘米²), 它們沒有什么太大的意义, 因为它們的貢獻仅仅約 10%, 并且由于較大的 τ_3 值, $\Phi_{\tau_3}(y, z, t)$ 很小. 因此, 我們看来, 实际上两种中子年齡能足够表示 $D-T$ 源的中子在石墨中的行为.

最后, 由于苏联科学院通訊院士弗兰克 (И. М. Франк) 对研究題目作过建議, 經常关心这个工作并在討論这个工作中提出有益的意見, 作者在此表示謝意.

参 考 文 献

- [1] И. М. Франк: Отчет ФИАН СССР, 1955 г.; Антонов и др. Материалы Международной конференции по мирному использованию атомной энергии (Женева, 1955), т. 5, М., Изд-во АН СССР 1958, стр. 11.
- [2] Романна и др: Материалы Международной конференции по мирному использованию атомной энергии (Женева, 1955), т. 5, М., Изд-во АН СССР, 1958, стр. 35.
- [3] G. Dardel: *Trans. Roy. Inst. Technol.*, No. 75 (1954).
- [4] А. В. Антонов и др: Физика и теплотехника реакторов. Приложение № 1 к журналу «Атомная энергия». М., Атомиздат, 1958, стр. 82.
- [5] K. Beckurts: *Nucl. Sci. and Engng.*, No. 4, (1957).
- [6] Даггал, Мартелли: Материалы Международной конференции по мирному использованию атомной энергии (Женева, 1955), т. 5, М., Изд-во АН СССР, 1958, стр. 40.
- [7] J. Anderson, et al: *Phys. Rev.*, 111, 572 (1958).
- [8] M. McGregor, R. Booth: *Phys. Rev.*, 112, 486 (1958).
- [9] B. Whitmore: *Phys. Rev.*, 92, 654 (1952).
- [10] E. Graves, L. Rosen: *Phys. Rev.*, 89, 343 (1953).

論迴旋式加速器中束流的高頻积聚¹⁾

列別捷夫 (А. Н. Лебедев)

在恒定磁場加速器的高頻积聚束流的理論中,十分重要的問題是要考慮到已經积聚的束流受到下一次加速循環的扰动。这样的扰动主要地会引起已积聚粒子的能量分散的增长并改变它們的平均能量。本文提出了这一問題的一般討論以及在一些个别情况下的解决方法。

1. 运动方程

粒子能量的变化最好把它看作是下列无量綱变数的函数来研究。

$$z = \frac{2\pi Q}{eV} \int_{E_0}^E \frac{dE}{Q(E)}; \quad \varphi; \quad Q = \left| \frac{q \cdot \Omega_0 \Omega'_0 eV}{2\pi} \right|^{1/2}, \quad (1.1)$$

式中 $Q(E)$ ——具有能量为 E 的粒子的迴轉頻率; $\Omega' = \frac{dQ}{dE}$; q ——倍数; V ——加速电压幅度。下标 0 表示与积聚能量相对应的量。通过 φ 表示在頻率 $\omega(t)$ 的加速電場中粒子所处的相位;

$$\dot{\varphi} = q\dot{Q} - \omega(t). \quad (1.2)$$

假定正在积聚的束流中的粒子能量和积聚能量 E_0 差別不大,即是說,下式可成为綫性

$$Q(E) = Q_0 + \frac{\Omega'_0 eV \Omega_0}{2\pi Q} z. \quad (1.3)$$

下面将看到,这个假定适合于絕大多数粒子。此外还积聚能量附近加速電場的頻率按綫性規律变化,随着時間而增高或減低。

在作了这些假定后,运动方程变成簡單形式^[1]

$$\left. \begin{aligned} \dot{z} = \cos \varphi &= -\frac{\partial H}{\partial \varphi}; \quad H = -\sin \varphi + \frac{\Omega'_0}{|\Omega'_0|} \frac{z^2}{2} - \tau z \cos \varphi; \\ \dot{\varphi} &= \frac{\Omega'_0}{|\Omega'_0|} z - \tau \cos \varphi = \frac{\partial H}{\partial z}; \quad \cos \varphi = \frac{d\omega}{dt} \left(\frac{2\pi}{q\Omega_0 \Omega'_0 eV} \right). \end{aligned} \right\} \quad (1.4)$$

这里和以后都利用无量綱的時間作为独立变数

$$\tau = Qt. \quad (1.5)$$

計算時間的初值这样选择,以使 $\omega(0) = q\Omega_0$ 。

由式(1.4)可知,变数 z 和 φ 是正則共軛的,这就可以根据利伍維略定理(Теорема Лиувилля)馬上得出几个有关束流性質的一般結論[1, 2]。确实,当頻率和時間成綫性关系时,在相位的柱形座标 (z, φ) 上,有一个密閉的相位軌迹区域(当 $|\cos \varphi| < 1$),它移动的速度为 $\cos \varphi$ 。将这块稳定区域的面积标成 S ,并假定这块面积为平均密度是 ρ 的加速粒子所充滿着。在每一积聚循环之末,頻率很快恢复到初值,而且粒子保持接近积聚能量值。按利伍維略定理,积聚束流的平均密度在相位空間中不能比 ρ 大,所以对于其能量寬度的估計为

$$\delta_n z \geq \frac{Sn}{2\pi}, \quad (1.6)$$

1) 本文于 1958 年完稿。

式中 n ——积聚循环数。只有当能量积聚区域内的全部相位空间中均匀地充满着密度为 ρ 的粒子, 或者我们所称作的在分区线“紧密铺设”(плотная укладка сепаратрис) 的情况下, 不等式(1.6)才能变成等式。这个等式的偏差将在下一节讨论。

下面我们需要相位轨迹的方程。由方程式(1.4)可见, 在正则变数 $y = \frac{\Omega'_0}{|\Omega'_0|} z - \tau \cos \varphi_s$ 和 φ 中, 这个方程的形式为

$$y^2 - 2(\sin \varphi - \varphi \cos \varphi_s) = \text{const} \quad (1.7)$$

2. 在一个积聚循环中粒子能量的改变

经过了一个积聚循环后, 所有粒子的 z 轴坐标有了某些位移, 而且这个位移值 Δ 取决于有限坐标 z_k 和粒子经过分区线(当 $y = 0$)附近时的相位 ψ 。在 ψ 点满足 $qQ(z) = \omega(\tau)$ 条件, 此后 ψ 的符号变成相反的, 这样 $\dot{\varphi}(\psi) = 0^{1)}$ 。容易看出, ψ 值不能取作 $(0-2\pi)$ 区间的任何值。这显目地表示在插图上, 这里用图解表示了在不稳定区域内上升的分区线和相位轨迹。可能具有 ψ 数值的区域上, 画有影线, 其界限一端是数值 $2\pi - \varphi_s$, 另一端是 φ_1 点。 φ_1 点决定于方程式

$$\sin \varphi_1 - \varphi_1 \cos \varphi_s = -\sin \varphi_s + \varphi_s \cos \varphi_s. \quad (2.1)$$

利用方程式(1.7), 可将坐标的位移 Δ 和最终相位 φ_k 及 ψ 的关系表示为:

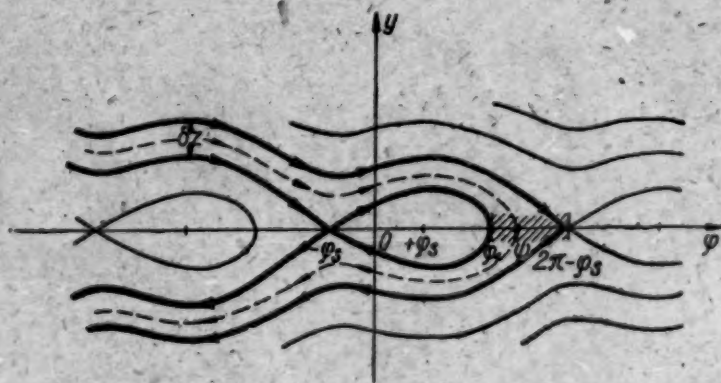
$$\Delta = \int_{\varphi_H}^{\varphi_k} \frac{2^{-1/2} \cos \xi d\xi}{[\sin \xi - \sin \psi - (\xi - \psi) \cos \varphi_s]^{1/2}} + \begin{cases} 2^{1/2} \int_{\varphi_H}^{\psi} \frac{\cos \xi d\xi}{[\sin \xi - \sin \psi - (\xi - \psi) \cos \varphi_s]^{1/2}}; \\ 0, \end{cases} \quad (2.2)$$

其中选择上限和下限的值应该取决于粒子达到相位 ψ 与否。由于在最初时刻分区线还距离积聚束很远, 所以在积分式(2.2)下限中的初相 φ_H 可以换成 $-\infty$ (当 $\cos \varphi_s < 0$ 时换成 $+\infty$)。

当达到积聚能量时, 如分区线不消失, 并且是经过束流附近的话, 式(2.2)变成

$$\Delta = \Delta_\infty = \sqrt{2} \int_{-\infty}^{\psi} \frac{\cos \xi d\xi}{[\sin \xi - \sin \psi - (\xi - \psi) \cos \varphi_s]^{1/2}} \quad (\cos \varphi_s \geq 0), \quad (2.3)$$

即 Δ 值与 z_k 无关。



积聚束流的粒子相位轨迹图

现在我们来寻求相位轨迹在相位 $\psi^{2)}$ 时经过分区线附近的几率。为此, 我们来研究一下包含在经过相位柱体的特殊点的二个边界轨迹(图中用粗线表示)间的区域内的相位轨迹。在 $|\varphi|$

1) 因为当 $\tau = 0$ 时, 频率可能返回到初值, 所以并非全部粒子经过相位 ψ 。

2) 在文献[2]中也有同样的探讨。

值大时这一区域的垂直尺寸为(在积聚循环之初)

$$\delta_0 z = 2\pi \left| \frac{\cos \varphi_s}{z - \tau \cos \varphi_s} \right|. \quad (2.4)$$

因为在 $|z - \tau \cos \varphi_s|$ 为大值时, 封闭的相位空间区域实际上并不影响到在积聚能量附近的相位轨迹, 所以可以认为在 $\delta_0 z$ 区域内轨迹的密度是不变的. 因而相位轨迹经过 $z - z + dz$ 区域的几率等于

$$F(z) dz = \left| \frac{dz}{\delta_0 z} \right| = \frac{dz}{2\pi} \left| \frac{z - \tau \cos \varphi_s}{\cos \varphi_s} \right|. \quad (2.5)$$

但是, 不难看出, $\delta_0 z$ 区域的每一点和自己的 ψ 值是相称的, 并且由关系式 (1.7) 得到

$$|z - \tau \cos \varphi_s| dz = |\cos \varphi_s - \cos \psi| d\psi. \quad (2.6)$$

(注意, 对于在不稳定区的粒子而言, 当 $\cos \varphi_s \geq 0$ 时, 总是 $\cos \varphi_s \geq \cos \psi$). 由式 (2.5) 和 (2.6) 可见, 在 $(\varphi_1 - 2\pi - \varphi_s)$ 区间中, 相位轨迹落在 ψ 点上的几率不是零, 而

$$F(\psi) d\psi = \frac{d\psi}{2\pi} \left| \frac{\cos \varphi_s - \cos \psi}{\cos \varphi_s} \right|. \quad (2.7)$$

不难相信, 这个几率接近于一.

然后就需要 $|\varphi_\kappa|$ 为大值时 Δ 的近似公式. 当 $\cos \varphi_s \geq 0$ 时, 对方程式 (2.2) 简单的计算后得到,

$$\Delta \approx \mp \frac{1}{[2|\cos \varphi_s|]^{1/2}} \frac{\sin |\varphi_\kappa|}{\sqrt{|\varphi_\kappa|}} \approx 0; \quad (2.8a)$$

$$\Delta \approx \Delta_\infty(\psi) \pm \frac{1}{[2|\cos \varphi_s|]^{1/2}} \frac{\sin |\varphi_\kappa|}{\sqrt{|\varphi_\kappa|}} \approx \Delta_\infty(\psi) \quad (2.8b)$$

这取决于粒子是否通过相位 φ_s .

3. 当积聚循环数为大数值时分布函数的方程

描述分布函数变化的一般方程式是将两个相邻循环联系起来的差分方程式

$$P(z, n) = \int_0^{2\pi} P(z - \Delta, n - 1) F d\psi - \alpha P(z, n - 1) + \Phi(z). \quad (3.1)$$

在公式 (3.1) 中, 几率 $F(\psi)$ 由式 (2.7) 给出, 而 $\Phi(z)$ 表明在上升的分区线中出现了新的粒子. 如果所有循环是绝对相同的话, 则 $\Phi(z)$ 与 n 无关. Δ 值应表示为 z 和 ψ 的函数 (下面都略去标号). 这在 z 为任意值的一般情况下, 原则上可以这样作, 利用方程式 (1.7) 和通过 z 与 φ 来表示 φ , 并且将得到的值代入方程式 (2.2) 中去. 在某些情况下, 可简单地利用近似式 (2.8). 这种作法是可行的, 因为在实际上只要误差不超过一个比 1 大很多的值就行了¹⁾. 因此, 在 $|z|$ 值很小时, 分布函数的性质并不很重要, 只要知道当 $|z| \gg 1$ 时函数 $P(z)$ 是怎样的就足够了.

在方程式 (3.1) 中 α 表示, 由于在剩余气体中的散射和其他过程而造成的在每一加速循环过程中束流损失的几率:

$$\alpha = \frac{T}{\tau_0} \ll 1, \quad (3.2)$$

式中 τ_0 ——束流平均寿命, 而 T ——积聚循环的时间.

将 (3.1) 式化成福克耳-普郎克微分方程 (Фоккер-планк) 的一般方法, 由于种种原因在这

1) 注意, 误差 $\delta z \approx 1$ 差不多相当于相位振荡的最大幅度.

里是不适宜的。但下面将看到, $P(z)$ 的主要性质可直接由方程式(3.1)来说明。

4. 由于分区綫的通过所引起的束流的扰动

我们先看看, 当分区綫穿过束流通向无穷大去的情况下积聚束流的性质。物理上很明显, 此时束流的平均能量应以 $S/2\pi T$ 的速度减少。事实上, 每一通过的分区綫要将位于束流下的相位柱体的面积减小一个 S 值, 此面积原等于束流的平均能量乘上 2π 。当 $\cos \varphi_s < 0$ 的情况下, 即分区綫自上向下经过束流时, 按照同样理由, 束流的平均能量应该增加。

上述问题可用方程式(3.1)求得解决, 这里显然应该取 $\Phi(z) = 0$ 和 $\Delta = \Delta_\infty$ 。 Δ_∞ 值和 z 无关这一点, 使问题大大简化, 因而可彻底解决。

在方程式(3.1)上采用傅立叶变换, 得到下列的解:

$$P(z, n) = \int_{-\infty}^{+\infty} \exp \{i\lambda z - n \ln [1 + f(\lambda)]\} p(\lambda) d\lambda, \quad (4.1)$$

这里

$$p(\lambda) = \frac{1}{2\pi} \int_{-\infty}^{+\infty} P(z, 0) e^{i\lambda z} dz, \quad (4.2)$$

而

$$f(\lambda) = \int_0^{2\pi} (1 - e^{i\lambda \Delta_\infty}) F d\phi. \quad (4.3)$$

要想得到数值结果, (4.1)式, 需作大量的计算。但还是可以得出几条关于在 n 为大数值时函数 $P(z, n)$ 的近似性质的结论。为此要说明, $R(f)$ 值永远是正的, 并且一般说来约为 1。利用迂越方法积分(4.1), 得到近似公式

$$P(z, n) \simeq \frac{N_0 e^{-na}}{\sqrt{2\pi n(\Delta_\infty^2 - \Delta_s^2)}} \times \exp \left[-\frac{(z - n\Delta_\infty)^2}{2n(\Delta_\infty^2 - \Delta_s^2)} \right], \quad (4.4)$$

式中 N_0 ——全部起始粒子数。

所以在 n 值大时, 不管束流中心起始分布如何, 将按 Δ_∞/T 速度而移动。这时的分布接近于高斯分布, 同时其标准离差按下列规律增长:

$$D^2 = (\Delta_\infty^2 - \Delta_s^2)n. \quad (4.5)$$

利用公式(2.2)和(2.7), 通过直接积分, 可以证实当 $\cos \varphi_s \geq 0$ 时 $\Delta_\infty = \mp \frac{s}{2\pi}$ 。所以在开头一节中基于利伍维略定理的估计是完全可以用于束流中心的运动的。同时, 经过的分区綫按照公式(4.5)“冲散”着束流。

从所得的结果可以估计由下列因素造成的积聚束流的扰动, 即在多次积聚回路中经过束流的寄生分区綫以及自上向下移动的分區綫(当加速器越过临界能量时)所引起的扰动。

5. 积聚束流的能量差别

现在我们来看看, 当布满粒子的分区綫自下而接近束流时束流的性质。假定在达到能量 E_0 以后分区綫就消失, 而在分区綫内部的粒子加入到积聚束中去, 此后就重复循环。

我们仅仅来观察束流的稳定状态, 不涉及它的形成过程。初始方程很明显地应是:

$$P(z) = \int_0^{2\pi} P(z - \Delta) F d\phi - \alpha P + \Phi(z). \quad (5.1)$$

在第三节中已经说过, 最值得注意的是 $|z|$ 值大时的 $P(z)$ 的性质。因而在方程式(5.1)中可以假定 $\Phi(z) = 0$, 因为当 $|z| \approx 1$ 时, 按物理意义 $\Phi|z|$ 已经降到零了。那末, 利用近似公式(2.8), 当 z 为大的正值时, 可自方程式(5.1)得到

$$P(z) \equiv 0. \quad (5.2)$$

这个結果的物理意义是完全可以理解的,只需記起,分区綫只能在积聚能量以下,因而当 $z \gg 1$ 时,相位軌迹实际上不会受到扰动,并且接近 $z = \text{const}$ 的曲綫。这意味着,当 z 值大时,粒子能量不会改变,并且因为离子源的函数集中在 $|z| \lesssim 1$ 的区域中,所以粒子一般不能达到大的 z 值。当分区綫經過大的負 z 值时,粒子处于另一种状态:与第4节所述情况相同,可以预料粒子将按 Δ_∞/T 的速度向下移动,而在稳定状态时,束流的下限将有 Δ_∞/a 数值。当利用利伍維略定理和关于分区綫的“紧密鋪設”的假定时也能得到这样的数值。

讓我們来探求当 z 为大的負值时成下列形式的解:

$$P(z) = \text{const} \cdot e^{\lambda z}, \quad (5.3)$$

式中 $\lambda > 0$ 。将式(5.3)代入式(5.1)并考虑到 $\alpha \ll 1$, 經過并不复杂的計算后得到

$$\frac{1}{\lambda} = \frac{|\Delta_\infty|}{\alpha} \left(1 + \frac{\alpha \Delta_\infty^2}{2\Delta_\infty^2} \right). \quad (5.4)$$

此式的第一項和按照利伍維略定理所算出的正好符合。对此式的校正数很小,其数量級为 α 。

由于 $1/\lambda \gg 1$, 所以大量粒子集中在适合于近似公式(5.3)的那个区域中。事实上,按照利伍維略定理,无论 z 为任何值, $P(z)$ 的上端是有限的,因而当 $|z|$ 为小值时,只有少量粒子 ($< |z|2\pi\rho$)。所以可利用下列近似公式而无巨大錯誤。

$$P(z) = \begin{cases} 0; \\ \frac{S_0 \lambda}{\alpha} e^{\lambda z}, \end{cases} \quad (5.5)$$

这里在所有 z 的变化区域内 $z \geq 0$ 。

最后作者深深感謝柯洛明斯基(A. A. Коломенский)对一系列原則問題的討論。

考 文 献

- [1] K. Symon, A. Sessler: CERN, Symposium, 1956.
- [2] N. Vogt-Nilsen: Réport CERN, 1958.

关于中子辐照下弹性应力弛豫问题

康諾别也夫斯基 (С. Т. Конобеевский)

本文所讨论的研究结果是：中子辐照对于铀钼合金的迭板弹簧内弹性应力弛豫的影响，以及对引起轧制过的铀的X射线图条纹变宽的显微应力弛豫的影响。本文发展了文献[1]中所提出的理论概念，并把计算结果与实验数据做了比较。

实验研究的简述

为了更快地鉴定核燃料在中子流辐照下蠕变抗力，决定采用试样进行弛豫实验。假定，蠕变(在恒定负荷下的形变速度)和弛豫(在恒定形变下弹性能的丧失)之间是相适应的。根据实验部分可作出必要的解释，并引出文献[1]中所得出的最重要的结果。

将尺寸为 $30 \times 1.5 \times 0.1$ 毫米的铀钼合金制的迭板弹簧夹在使弹簧具有弧形的衬套内，并在此形态下于 570°C 的温度中退火1小时。经过这样的热处理以后，从夹具中拿出的试样持有弯曲形状。然后将这些试样放在两个平板衬套之间，试样的一部分放在中子流密度为 1.5×10^{13} 中子/平方厘米·秒的反应堆内辐照，而另外一部分则进行长时间的有检查的加热(200°C)。辐照前和后都测量了弹簧的挠度。将钼含量为0.91%和9.0%的铀钼合金进行了辐照。铀处在 α 相，钼合金处在 γ 相。辐照以后，无论是含钼0.91%和含钼9.0%的合金的挠度减少了，而且变化最大的是发生在辐照最初的1—2小时，这相当于积分中子流 0.5×10^{17} — 1.0×10^{17} 中子/平方厘米。虽然 α 铀和 γ 铀试样的弹性应力最初的突降，大致上是在同一时间内产生的，但是 α 铀弹簧的突降的最初值比较大，而以后弛豫也进行得比较快和比较长，把最大应力水平经过10小时辐照之后(积分中子流 $\sim 5 \cdot 10^{17}$ 中子/平方厘米)从24降到2~3公斤/平方毫米。 γ 铀第二阶段的弛豫进行得非常缓慢，最大应力水平在100小时内总共降低了25—30% (图1)。

在进行这些实验时，发现大部分在辐照下所发生的形状变化是可逆的。从平板夹具取出

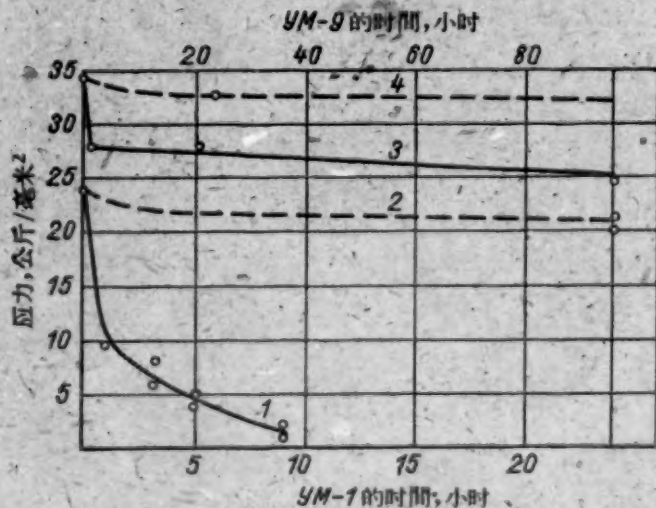


图1 铀钼合金迭板弹簧中，应力和中子辐照时间的关系：

1,3——分别为含钼0.91%和9.0%的铀钼合金；
2,4——上边的合金在 200°C 下退火检查曲线。

的弹簧又逐渐增加其曲率,这一迴返过程能够用轻微退火的方法加速。 γ 鈾薄片在短期辐照时,形状的变化是极为可逆的。这一点可以很好地从表中看出来,该表引入了两个含钼 9.0% 的鈾钼合金 (YM-9) 试样在辐照后,在常温中保持和退火后的挠度的值。

鈾合金的迭板弹簧弛豫实验的结果和在堆内经过 [1,2] 中子辐照过的鈾和 YM-9 合金冷轧薄片的 X 射线线条宽度测量所得的数据是一致的。按渥廉—爱费尔巴哈法^[3]所做的线条形状分析表明,辐照作用以后,冷变形金属线条变宽部分的显微应力降低了,而且这个降低速度大致相当于弹簧的弹性应力的弛豫速度。图 2 和图 3 援引了 B 线条宽度在时间上的曲线变化(中子流密度为 2×10^{13} 中子/平方厘米·秒),以及 α 和 γ 鈾试样的显微应力 σ 的相对值在时间上的曲线变化。在辐照开始时,导致线条变宽的应力的消失进行得很快,因此整个变化的 60—70% 是在辐照最初的 1—1.5 小时内看到的。在 α 鈾中,应力水平实际上下降到零以后, α 鈾的线条宽度在以后的辐照中开始慢慢增加,这对于多晶体鈾来说,显然是与晶粒相互之间的压力增大(由辐射增长所引起的)有关。

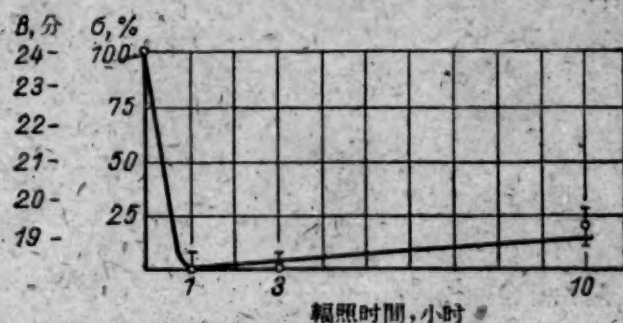


图 2 X 射线照片 114 线条宽度 (B) 和 α -鈾冷轧试样的残余微应力 σ 数值(原始值的百分数)随辐照时间的改变(中子流密度为 2×10^{13} 中子/平方厘米·秒)

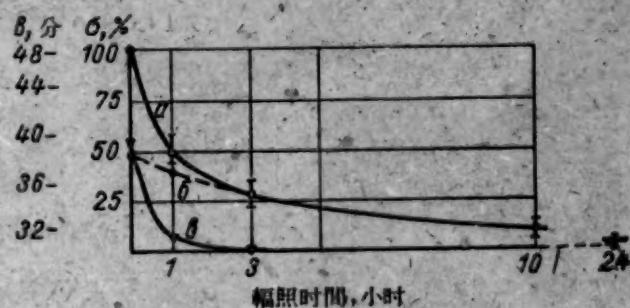


图 3 和图 2 一样,对于 γ 鈾 (YM-9 合金) 的 222 线条塑性形变为 90%

有趣的是,由短期辐照所引起的线条宽度的变化和被辐照的弹簧在弛豫实验中的曲率却是换向的。被辐照过的 α 鈾和 γ 鈾试样的轻微退火(在 200—300°C 下),导致反常的结果,象在一般退火中发生的一样,线条宽度并不减少,相反还有些增加,并力图回到辐照以前的原有位置。

从以上所述看出,在中子流作用下,弹性应力弛豫(在恒定变形下应力的减少)的变化特性在一定程度上会再发生蠕变(在恒定负荷下的变形)加速现象。因此毫无疑问, α 鈾的反常的弛豫加速是和这一物质的蠕变加速相符的。但是,尽管程度不大,在立方体 γ 鈾中也存在着弛豫现象。在鈾中,弛豫变化的速度说明了,在所有情况下,这个现象最初快速阶段应该认为是直接由本身裂变作用引起的最初的辐射效应,而不是 α 鈾的辐射增长所引起的二次效应。这一点已被洛别尔斯和康托列尔做为他们的辐射蠕变的理论基础^[4]。因此就要求特别地研究弛豫现象。它的机理自然是和辐射影响对裂变物质的最初作用有联系的(具有热峰和裂变峰)。

在文献[1]中认为,裂变作用产生了容易移动的点阵缺陷,使原子在应力场中易于移动。点状缺陷向应力部分的迁移,要降低应力状态的水平。这时,各种符号的缺陷(间隙原子和缺位)总是优先在相应符号的主要应力总合的区域内扩散。对于缺陷的反向运动,则要求提高活化能量。这样,这些缺陷就要跌入陷阱内。在上述所指的点状缺陷分布下,只是发生局部的、临时的应力消失,假如缺陷是固定的,组成综合体,以这种或那种方法与晶体中出现的错位联系在一起,就将得到比较稳定的状态。我们将努力发展这个概念,并使这个概念具体化。

理 論 部 分

在靠近坐标为 γ 的点发生裂变作用。我們不想仔细地考察在这一点附近可能发生的所有原子位移。正如以前所知^[1]，假设有某一个区域 v ，在该区域内发生了完全的原子位移。在冷却和结晶后，原来的晶格保留下来，但是对在这一区域内，或者靠近这一区域的每个原子将发生 $10^{-3} \sim 10^{-4}$ 个间隙原子或空位型的基本缺陷。

如在被辐照的金属中晶格变形了，则是由于金属经历了热峰状态，而发生如下的变化。首先应当考虑到，在热峰体积内，平均原子浓度，即单位体积的原子数

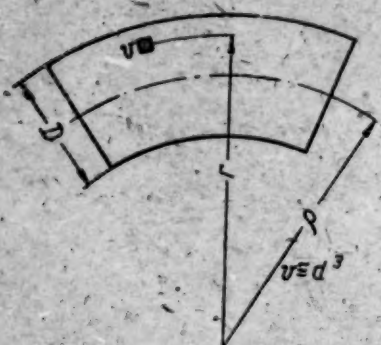


图4 热峰对于弛豫的影响的说明图

目均匀了，因为这与弹性能的总的减少有关。这样的浓度均匀可以用质量由压缩地点朝拉力方向流动来解释。其次，在弹性弯曲层内，这种或那种符号的缺陷的数目，即是经历了热峰之后在体积 v 内残存的中間原子或相应的空位，总的来说可能不一样。

在下面会看到，有二种因素会导致弹性能的降低，我们将逐个地研究这些因素的作用。

选择简单的，层的厚度为 D ，曲率半径为 ρ 的圆柱形弯曲体（见图4）作为弹性状态的模型。

在圆柱弯曲的情况下，平均原子浓度

$$n = n_0 \frac{\rho}{r},$$

其中 n_0 ——无应力物体中的原子浓度； ρ ——曲率半径， r ——每层的厚度坐标。原子浓度在体积为 $v \cong d^3$ 的热峰区域内的均匀，意味着有一个从压缩区走向拉力区方向的原子流存在。这个原子流¹⁾

$$\varphi = \frac{n_0 \rho d^2}{2} \left(2 \int_{r-d/2}^r \frac{dr}{r} - \int_{r-d/2}^{r+d/2} \frac{dr}{r} \right) \cong \frac{v n_0 \rho d}{8 r^2}. \quad (1)$$

YM-9 合金的迭板弹簧的后效(挠度测量的精确度 ± 0.02 毫米)

处	理	挠 度, 毫 米	
		試 样 №1	試 样 №2
辐照之前		6.87	6.85
辐照(中子流为 $1.9 \cdot 10^{17}$ 中子/平方厘米)		5.22	5.22
在常温下保持(21天)		6.29	6.28
在以下温度退火			
220°C(2小时)		6.49	—
320°C(2小时)		6.67	—
400°C(1小时)		6.72	—
试样置放在平面夹具中: 在常温下保温*			
75小时		6.71	6.25
167小时		6.72	6.21
210°C 保温*(5小时)		6.70	6.16

* 实验的数据, 实验将在下面描述。

1) 如果 $\frac{d}{2} \ll 1$, 则式(1)是正确的。在相反的情况下, 它应当乘上 $-\frac{1}{x^2} \ln(1-x^2)$, 其中 $x = \frac{d}{2r}$ 。但是在所有实际的可能情况下, 修正不超过 10%。

假设单位时间内,一个立方厘米中热峰数为 N , 则质量流的密度, 或者通过一平方厘米弯曲层的原子数,

$$\Phi = Nu \frac{n_0 Q d}{8 r^2} = \frac{Nu}{4} \frac{d \sigma_m}{D E} n_0. \quad (2)$$

在凸出的边界上, 这个流等于原子浓度临时的增加, 这也决定了应力的减少:

$$-\Delta \sigma_m = \frac{\Phi}{n_0} E.$$

因此最后得到

$$\left. \begin{aligned} \frac{d}{dt} \ln \sigma_m &= -\frac{Nu}{4} \frac{d}{D}, \\ \text{或} \\ \sigma_m &= \sigma_{m_0} e^{-\frac{Nu}{4} \frac{d}{D} t}. \end{aligned} \right\} \quad (3)$$

上面所得到的式子通过弛豫时间确定应力的临时行程

$$\tau = \frac{4D}{d} \frac{1}{Nu}. \quad (4)$$

数值 Nu 表示出, 在单位时间内, 有多大一部分体积经历热峰状态. 如果取一小时作为时间的单位, 则在普通运转条件下, Nu 接近于 1. 于是, 弛豫时间主要是取决于 D/d , 也就是说主要取决于应力分布不均匀的程度.

当 D 区域和热峰的线尺寸相差很小的时候, τ 的数值才不很大. 看来, 这里所描写的机理是一种慢的过程, 并且只是在靠近边界处, 晶格弯曲集中的情况下, 其作用才显著, 特别是在后者具有很大的弹性特性的非均质的时候.

现在我们来研究在分裂作用影响下的第二种可能的弛豫机理.

在热峰区域 v 中产生了分裂碎片的停滞之后, 在这个区域中平均温度剧烈升高的同时, 产生了大量的移位原子和空位. 其中的较大部分在这个区域凝固之后就马上消失. 上述现象的产生或者是由于移位原子和空位的相遇, 或者由于形成了这样或那样地协调在晶格之中的络合物, 或者最后是由于位错和其他非均匀性而吸附了缺陷. 在通常情况下, 这个过程将导致这样的结果: 即缺陷的总浓度和这种与那种符号的缺陷数 (间隙原子和空位) 的比例在被辐照的物体的整个体积内都是一样的.

但是, 在弹性应力的物体中, 缺陷的消失几率 (通过络合生成或者把缺陷的位错衔接起来) 主要取决于在这个过程中弹性能量是增加还是减少. 因此, 这种或那种符号的剩余缺陷的浓度应当是坐标的函数并与弹性形变最初的分布相符. 由于弹性场中不同部位的平均原子体积不同, 部分的弹性形变转变为非弹性形变. 这就意味着弹性能量的总的降低, 也就是发生了弛豫.

假设属于热峰体积中的总原子数中由于一次裂变作用而产生的缺陷数目为

$$n_v + n_i = 2n.$$

这里的脚码 v 表示位移, i 表示间隙原子. 如果 α_v 和 α_i 分别表示当产生一个位移和间隙原子时的体积增长率 (以平均原子体积为单位来表示). 那么, 由于缺陷的形成, 热峰区域体积的总的相对变化是 $n_v \alpha_v + n_i \alpha_i$. 在弯曲的区域中, 差数 $n_v - n_i = 2n'$ 是与坐标有关的 (例如在凸出的方面, 该差值为负, 在凹的方面为正). 本点上总的体积变化和平均的体积变化 $n(\alpha_v + \alpha_i)$ 之差将等于 $n'(\alpha_v - \alpha_i)$. 这一体积的相对变化由于经过了热峰, 应当和由于弹位线性形变 ϵ 而引体积变相对比. 比例

$$\frac{n'(\alpha_v - \alpha_i)}{\epsilon(1 - 2\mu)} \quad (5)$$

表示着,被辐照的材料的全部体积经过热峰状态的时间之内(近似的,在 $1/Nv$ 的时间之内)弹性形变的减弱。由此我们可以写出

$$-Nv \frac{n'(\alpha_v - \alpha_i)}{\epsilon(1 - 2\mu)} = \frac{d\epsilon}{\epsilon dt},$$

或者

$$-\frac{1}{n'} \frac{d\epsilon}{dt} = \frac{Nv(\alpha_v - \alpha_i)}{1 - 2\mu}, \quad (6)$$

其中的 n' , 显然应当是该点的应力, 或者弹性能量的密度的函数。按照类似于热活化过程中的相应的关系, 我们假定,

$$n' = n(1 - e^{-(\sigma/\sigma')^2}), \quad (7)$$

其中 n ——由于各种峰而产生的平均缺陷数, 将此式代入(6), 利用更一般的符号, 得出

$$\frac{d(\sigma/\sigma')}{1 - e^{-(\sigma/\sigma')^2}} = -\frac{dt}{\tau}, \quad (8)$$

其中

$$\tau = \frac{1}{Nv} \frac{(1 - 2\mu)\sigma'}{E} \frac{1}{n\Delta\alpha}. \quad (9)$$

式中 E ——杨氏模量; $\Delta\alpha = \alpha_v - \alpha_i$; σ' ——上面引入的能量参数, 这个参数规定着缺陷非对称保留的几率; μ ——泊桑比; τ ——弛豫时间。根据(8)式, σ 与 t 的关系可分为两个间隔, 当 σ/σ' 的值大时,

$$\sigma = \sigma_m - \frac{t}{\tau} \sigma', \quad (10)$$

而当 σ/σ' 的值小时, 这个关系可以近似地表示为

$$\sigma t = \sigma' \tau. \quad (11)$$

换句话说, 在弛豫的开始阶段, 应力迅速降低, 沿着下降的直线变化, 该直线对于时间坐标的斜率取决于弛豫时间 τ 。以后, 应力的降低速度减慢了, 而遵循着双曲线的关系。图5表出当 $\sigma' = \frac{\sigma_m}{2}$ 时的函数 σ/σ' 与 t/τ 的关系图。从这里可以估计出弛豫时间 τ , 根据是, n 应当是数量级为 10^{-3} — 10^{-4} 的数量, 而 $\Delta\alpha$, 大概将等于一个或几个单位^[5]。

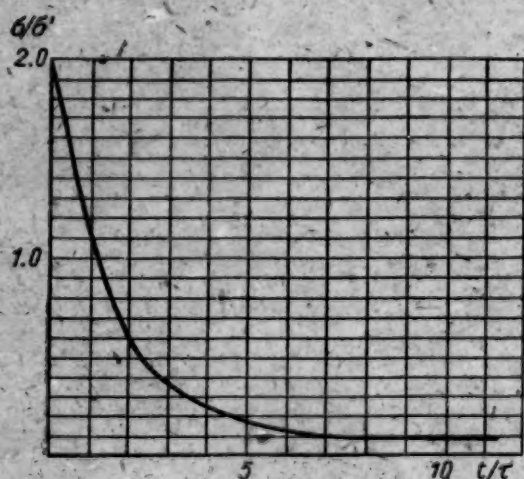


图5 以无量纲 σ/σ' 及 t/τ 表示的应力与时间的关系。这些关系是按照公式(6)计算出来的。此

处系 $\sigma' = \frac{\sigma_m}{2}$ 值的曲线。

因子 $\frac{(1 - 2\mu)\sigma'}{E}$ 是未知量, 并应根据实验数据来确定。

在所有的情况下, 它应当在弯曲形变的平均数值左右, 在弹簧弛豫的实验中平均值为 $\sim 10^{-3}$ 。于是 $\tau \leq \frac{1}{Nv}$ (τ 以小时为单位)。在(10)式以 $-\frac{\sigma_m}{2}$ 代替 σ , 我们发现, 在 τ 时间内,

也即是被辐照材料的全部体积只经过一次热峰状态, 就在这时间内, 可以期待最大应力将降低一半。这种现象在 α 铀弹簧的弛豫中看到, 而在微应力(被辐照的变形的铀的 X 射线谱线宽度计算出的)消除过程中同样也看到这种现象。

这里定性描述的机理是一个快的过程。这种过程直接由这种或那种符号的缺陷的过剩数

量的出现与该点形变的大小和符号的关系(拉伸或压缩)所制约。所产生的这种应力的迅速消失还不是稳固的变化,因为它并不直接和原子的位移相关,而原子的位移是不可逆的形变所必需的。补偿弹性形变的缺陷仿佛是暂时处在陷阱里,当应力状态由于外力作用而变化的时候,它们就可以脱离那里。因此这一部分弛豫是可逆的,而在实验中也看到了这种情形。为了使形变成为固定的,必须有相应于形变梯度的实际的原子位移,也即是必须进行导致不可逆变化的那种真扩散过程。这种过程在分裂材料中,正如以上所述,由于在热峰区域中有再结晶是可能的。这种过程更为缓慢,并且取决于分布应力的分散性。但是在温度有些增加的情况下,看来,一般的由于位移或间隙原子运动机理的帮助下,原子扩散的热活化的过程是可能的,也能导致不可逆的形变。

在下述由杜布洛文(К. П. Дубровин)完成的实验中显示出辐照所致的缺陷浓度的提高,在加速弛豫现象中的作用。

两个被折弯的 γ 铀迭板弹簧(УМ-9 合金)(它们的弯曲是通过高温范围的退火而固定下来的),在夹具中以伸张状态被辐照,之后,弯曲的矢距从6.87(6.85)降到5.22毫米。试样№1经过附加的热处理—在200—400°C范围内退火(见表)。在这之后,它的曲率增大了(后效),试样№2由于放在室温中,只是感到曲率有部分的生长。然后,两个试样被置放在平板夹具中,并按着表上所列的规定保持在夹具上。可以看到,试样1没有改变自己的曲率,而试样2的曲率却显著减少。即是,又重新发生了部分的弛豫,这个弛豫最初是在辐照作用下发生的。

对这些结果很容易作如下的解释。辐照之后,在弛豫的试样中,有一些保留在陷阱内的缺陷剩余。后效现象就是由于这些缺陷从陷阱中脱逃而引起的。如果在常温之下存放,后效过程中从陷阱中释放出来的缺陷有一部分将被保留很长时期。在升温到400°C时,辐照缺陷实际上会完全湮灭。因此,如果含有缺陷的试样经受弹性形变(试样№2),那么由于剩余缺陷的位移以及它们再一次在陷阱内被吸附,试样的形变就转变为非弹性的,并发生弛豫。在没有剩余缺陷的试样中,就不发生弛豫。

結 論

本文描述的实验及进行的计算证明,在辐照下产生的无论是作用应力,或者是剩余应力的弛豫,其基本原因是原子缺陷的产生和位移(间隙原子和空位)。无疑地,弛豫的主要部分在辐照增长还不大的短辐照时间内发生的。这不能看作是作用应力与增长应力的合成而引起的滑移的内部过程的弛豫的原因。这类似,在文献[4]以及文献[6]中对于 α 铀在辐照下的反常蠕变现象所采取的那样。在本文中,弛豫的加速被解释为初期的辐照效应。在铀及铀合金中造成热峰的分裂作用,在这时起着双重作用。首先,热峰引起大量点缺陷的产生,而这些点缺陷和缺陷区域的比容变化有关,同时也是被辐照材料的原子自行扩散强度提高的条件。其次,热峰区域内放出的热量提高了原子的活动性,并因此成为原子迁徙过程的辐射活化的手段。在可逆弛豫范围内,点缺陷的积累和陷阱对它们的选择俘获起着主要作用,这已被上述关于加强预先被辐照的 γ 铀的弛豫性能的实验所证明。但是,经过时间更长一些的辐照(积分通量为 $5 \cdot 10^{17}$ 中子/平方厘米)的 α 铀中的不可逆的弛豫变化,则需要另外的解释。并且,看来这种变化与应力场中缺陷自行扩散的辐射活化机理有关。当然 α 铀弛豫现象中也并不排斥考屈尔-罗伯尔特的机理的某些作用,但是,看来弛豫现象和增长的间距是被分开的,这一点就是在图2上也容易看到。

从以上所述可以得出,弛豫现象不完全在于铀的辐射蠕变,虽然在一定程度上是和它相关的。也有一个相反的问题:辐射弛豫对于在辐照下的铀的蠕变是否起作用,铀的反常蠕变是否

和反常弛豫一点关系也没有? 这个问题现在还不好回答。由于我们认为辐射弛豫是由于扩散过程而引起的, 因而可以作出这样的结论: 它和纳巴柔-盖林格^[7] 扩散蠕变的理论相似, 并在这个意思上可以包括在这个理论之内。虽然 α 铀蠕变的辐射加速正好和扩散(固定的)蠕变的范围有联系, 但是上述的概念在这个区域内还没有找到应用。只有更仔细地实验 γ 铀及其他具有规律的晶体结构的裂变材料的蠕变, 以及研究 α 铀单晶体的蠕变将可以更好地阐明这个机理的可能的作用。 希望进行这些实验, 因为蠕变问题以及铀和其他裂变材料在辐照作用下的稳定性问题具有很大的实际意义。

参 考 文 献

- [1] С. Т. Конобеевский и др: Тр. Второй международной конференции по мирному использованию атомной энергии (Женева, 1958). Докл. советских ученых. Т. 3.—Ядерное горючее и реакторные металлы. М., Атомиздат, 1959, стр. 585.
- [2] С. Т. Конобеевский, Н. Ф. Правдюк, В. И. Кутайцев: Материалы международной конференции по мирному использованию атомной энергии (Женева, 1955), т. 7, М., Изд-во АН СССР, 1957, стр. 526.
- [3] B. Warren, B. Averbach: *J. Appl. Phys.*, 21, 595 (1950).
- [4] A. Roberts, A. Cottrell: *Philos. Mag.*, 1, 711 (1956).
- [5] D. Holmes et al: Доклад № 2385, представленный США на Вторую международную конференцию по мирному использованию атомной энергии (Женева, 1958).
- [6] А. С. Займовский и др: *Атомная энергия*, 5, вып. 4, 412 (1958).
- [7] C. Herring: *J. Appl. Phys.*, 21, 437 (1950).

工业铀矿石分类的基本原则

普里貝特科夫 (П. В. Прибытков)

文章推荐了根据对矿石的化工处理起决定作用的一些标志来进行铀的工业矿石分类的原则。这些标志是：铀矿化的性质，矿砂成分，铀的含量，是否存在伴生的贵重组分，构造和结构特点。这种分类方法的实际应用，大大简便了铀矿石的工艺鉴定及其加工处理。

铀矿石的成分对于其工艺处理影响甚大。因此，矿石按工艺特性分类有着重大的实际意义。

工业铀矿石的分类是在 1954 年第一次被提出的^[1,2]。文献[1]中按铀矿化的性质，碳酸盐和钒的含量，及其对工艺过程的影响，划分出 27 种矿石。这一分类方法是对美国科罗拉多高原的矿石而制定的。文献[2]中按铀矿化的性质，把矿石分为 9 种矿物类型，而且还研究了它们在选矿和湿法冶金处理过程中的性状。文献[3]中按铀矿化的性质、元素的共生情况、矿物集合体的大小、矿物颗粒的粗细及其他标志而划分工业矿石。

上述诸分类极为笼统，不能充分满足在工业上鉴定工业铀矿石的化工特性的要求。

本文中提出的分类具有较为广泛的基础，而且也较充分地考虑到研究铀矿石成分、鉴定工艺特性和按类型划分铀矿石的实际问题。这一分类基于一系列的、对矿石的加工工艺起决定作用的标志，即：铀矿化的性质，矿砂的矿物成分和化学成分，矿石中铀的含量，矿石中是否有伴生的有用组分，矿物集合体的大小，铀矿石的结构构造特点以及矿砂的对比度。根据这些标志，工业铀矿石分为各种类型、变种和品级。

铀矿化的性质

现在已知的铀矿物和含铀矿物将近 190 种，真铀矿物中有主要工业意义的是：内生矿物（按实用意义渐次减小的顺序）——非晶质铀矿、晶质铀矿、钛铀矿、矽铀钙镁矿；外生矿物——铀黑、非晶质铀矿、铀石¹⁾、钾钒铀矿、钒钙铀矿、水非晶铀矿、矽钙铀矿、β-斜矽钙铀矿、矽铅铀矿、矽铀矿、钙铀云母、铜铀云母、正铜铀云母、砷钙铀矿、翠砷铜铀矿^[5,6,4]。

具有工业意义的含铀矿物（大多数情况下是岩浆成因的）包括：独居石、钛铈铁矿、曲晶石、钛铈铀矿、黑稀金矿、褐钇铈矿、杂铈矿等^[2,6]。沉积矿床中的铀富集在磷酸钙、有机化合物、泥质矿物、褐铁矿、蛋白石、玻璃蛋白石等里面。铀的存在形式多数尚未确定。

根据铀矿物和含铀矿物的成分、以及根据决定它们在选矿和湿法冶金处理过程中性状的物理化学特征（破碎情形、天然状态下和焙烧后在无机酸溶液和碱溶液中的溶解度等），可以把矿石按表 1 进行分类。

从表 1 看出，含内生矿物的矿石，用放射性分选法或重力法都很容易选别，可是要从这些矿石中浸滤出铀来，则在许多情况下；尤其在处理含铀矿物的时候，需要用高浓度的酸溶液^[1,2]。含外生矿物的矿石，选别时要困难得多，然而却可以用弱酸溶液和碱溶液从矿石中提取出铀来。

1) 按文献[4]的资料，安布罗西亚-列克矿床 (Амбросия-Лейк) 的铀石是外生条件形成的。

表 1 矿石按铀矿化性质分类表

矿石类别	按铀矿化划分的矿石类型	主 要 矿 物	可能的机械选矿方法	可能的湿法冶金处理方法	附 注
内生(原生矿石)类	非晶质铀矿型	非晶质铀矿	A, B	Д*, E	—
	晶质铀矿型	晶质铀矿	A, B	E, Ж*	—
	铀矿型	铀矿	A, B	Ж	—
	含铀的铀、钍、锆、钽、钼和稀土矿物组成的矿石	独居石、铀钍铁矿、曲晶石、铀钼矿、黑稀金矿、褐钨铀矿	B, B	Ж	湿法冶金处理前需焙烧、熔合
外生(次生矿石)类	非晶质铀矿型	非晶质铀矿	A	Д*, E	—
	铀石型	铀石	—	E	—
	铀黑型	铀黑	A	Д, E	—
	氢氧化物型	铀的简单和复杂氢氧化物	A, B	Д*, E	—
	矽铀矿-矽铅铀矿型	矽铀矿、β斜矽铀矿、矽铅铀矿、矽铀矿等	A	Д, E	—
	钙铀云母-铜铀云母型	钙铀云母、铜铀云母、银铀云母、正铜铀云母	A, B	Д, E	—
	砷铀矿-翠砷铜铀矿型	砷铀矿、翠砷铜铀矿、变翠砷铜铀矿	A, B	Д, E	—
	钾铀矿-钒铀矿型	钾铀矿、钒铀矿	A	Д, E	湿法冶金处理前需焙烧、熔合
混合矿石	未确定铀矿化形式的矿石型	磷酸铀、有机化合物、泥质矿物、铁和锰的氢氧化物等	A, B*, B, Г	E, Ж	湿法冶金处理前需焙烧
	非晶质铀矿-铀黑型	—	A, B	E	—
	非晶质铀矿-氢氧化物型	—	A, B	E	—
	非晶质铀矿-矽铀矿-矽铅铀矿型	内生和外生的铀矿物	A	Д*, E	—
混合矿石	非晶质铀矿-钾铀矿-钒铀矿型	—	A	Д*, E	湿法冶金处理前需焙烧、熔合

附注 表 1-3 中采用下列诸符号: A——放射选矿; B——重力选矿; B——浮选; Г——水力旋流器上多阶段分选; Д——碳酸盐浸滤; E——用稀酸浸滤; Ж——用强酸浸滤; E, Ж——酸浸滤, 并用氧化剂; *——很少应用。

表 2 铀矿石按矿砂的矿物成分和化学成分的分类表
(符号的解释见表 1 之附注)

矿石类型	矿石变种	决定着矿石类型之组分的含量	可能的机械选矿方法 ¹⁾	可能的湿法冶金处理方法	附 注
矽酸盐和铝矽酸盐型	—	矽酸盐和铝矽酸盐矿物多于95%	Г*	Д*, E	—
碳酸盐型	含少量碳酸盐	6—12% 碳酸盐	—	Д, E	—
	含中量碳酸盐	12—25% 碳酸盐	B	Д, E*	—
	含大量碳酸盐	多于25% 碳酸盐	B	Д	—
硫化物型	含少量硫化物	3—10% 硫化物	B, B	(B)Д*, E	—
	含中量硫化物	10—25% 硫化物	B, B	E	—
	含大量硫化物	多于25% 硫化物	B, B	E	—
铁氧化物型	—	工业铁矿石	—	E	湿法冶金处理前需预先焙烧、熔合、熔化
磷酸盐型	含少量磷酸盐	3—10% P ₂ O ₅	B, B	E	—
	含中量磷酸盐	10—20% P ₂ O ₅	B, B	Ж	—
	含大量磷酸盐	多于 20% P ₂ O ₅	B, B	Ж	—
可燃有机岩型	含铀的煤和固体沥青	—	B	Д, E	湿法冶金处理前需预先焙烧、熔合
	碳质和沥青质页岩、砂岩及其他岩石	—	B, Г	Д, E	同上

1) 表中所列之处理矿石的方法, 能否应用, 要决定于围岩和脉石充填物的成分。

矿砂的矿物成分和化学成分

在选择处理矿石的工艺流程时,围岩和脉石充填体中的非铀矿物之物理和化学特性,在许多情况下却起着决定性作用,因为正是这些矿物决定着湿法冶金处理中试剂的成分和总耗量。

对矿石的工艺特性影响最大的要算是碳酸盐、硫化物、磷酸盐、铁氧化物和有机质。根据已发表的资料[1,3,5,7,8](虽然这些资料还不是十分完备的),可以把铀矿石按矿砂成分分类(表2)。

碳酸盐和硫化物矿石主要是用酸浸滤的方法处理。含大量和中量碳酸盐,但铀含量不高的矿石,一般用碱溶液浸滤^[1]。含少量和中量碳酸盐,而铀含量高的矿石,在许多情况下用酸浸滤法处理还比较经济。磷酸盐矿石中的铀是在用酸处理法制造磷酸盐肥料时附带提取的^[9]。处理铁氧化物和可燃有机矿石时,在某些情况下需采用许多专门的措施(熔化、焙烧等)。

铀在矿石中的含量

铀在矿石中的含量,是决定矿石质量好坏的一个最重要标志。铀在矿石中的含量下限,一般都是根据每个矿床的一系列地质和经济技术因素而分别确定的。

第二次世界大战以前,在原来的比属刚果、加拿大的大熊湖、科罗拉多高原诸矿床上开采了铀品位高(从1.5到10%以上)的矿石。战后年代,尤其是最近十年间,开始开采铀品位较低的矿石。这是由于发现了一些储量很大、而矿石铀品位较低的新矿床(安布罗西亚-列克,布兰德河等),增加了对铀的需要量以及完善了原料的处理工艺所致。

现在认为,开采铀储量相当大的真铀矿床, U_3O_8 的含量为0.05—0.07%以上时,经济上就已适宜。若是综合利用矿物原料,更可以在矿石中 U_3O_8 的含量为0.01—0.03%时即提取铀(如佛罗里达和摩洛哥的磷灰岩,又如维持瓦特尔斯兰的含金砾岩)。根据真铀矿和综合矿床的矿石中铀含量的资料^[10-14],以及根据处理矿石的经验^[1,8,13,14],可把矿石按表3进行分类。

表3 矿石按铀含量的分类表
(符号之解释见表1附注)

矿石品级	铀含量(%)	可能的机械选矿方法	可能的湿法冶金处理方法
一等(极富的)	>1	A, B	E, Ж
二等(富的)	1—0.5	A, B	E, Ж*
三等(中富的)	0.5—0.25	A, B	E
四等(一般的)	0.25—0.09	A, B	Д*, E
五等(贫的)	从0.09到最低工业极限	A, B	Д, E

一等和二等品级的矿石实质上是工业精矿,可以直接作化学处理^[15]。三等四等和五等品级的矿石,或者预先进行机械选别,使达到必需的标准,或者直接进行湿法冶金处理^[13]。铀含量低于工业极值的矿石(含 U_3O_8 不低于0.01—0.02%的极贫矿),只能在特别有利的条件下才可以加工处理。

矿石中伴生有用组分的存在

除了真铀矿床外,还有综合矿床,其矿石中除含铀外,还含其他有用组分。鉴定这样的矿床时,无论对于铀或是伴生的组分,都可以把工业极值降低到经济上允许的极限^[9,15]。例如,维持瓦特尔斯兰矿床上,铀是随着金而附带提取的, U_3O_8 含量为0.01—0.03%的矿石即加工。

处理;佛罗里达磷灰岩中含 U_3O_8 为 0.01—0.02% 时即提取其中的铀。

根据铀矿石中具有实用意义的其他组分的含量,可划分出下列诸矿石:金-铀矿、铀-钼矿、铀-多金属矿、铀-磷酸盐、铀-钒矿等。

根据铀和其他有用组分在矿石中共生的情况,可把矿石分为:

1. 其中铀和其他有用组分都属于真铀矿物成分之内的(钾钒铀矿——钒、钾);
2. 其中的铀参加含铀矿物的成分,这些矿物是由于其他组分才具有工业意义的(独居石——稀土、钍、铀;褐钨铀矿——钨、铀、稀土、铀等);
3. 其中的铀参加造岩矿物的成分,而造岩矿物的主要组分才具有工业意义(磷酸钙——磷、铀;含铀的煤等);
4. 其中的铀和其他组分在各种矿物中各有不同的分布(含-铀矿石等)。

前三类矿石加工处理时,只能用化学方法分离有用组分。第四类矿石中铀矿物和其他组分的矿物可以用机械选矿方法(湿法冶金处理之前或之后)来分离成各种产物。

表4 铀矿石按铀矿物和含铀矿物的集合体和颗粒大小分类表¹⁾

矿石按集合体和颗粒大小而定的特征	绝大多数直径(毫米)	平均直径(毫米)	处 理 方 法
粗粒矿石	25—300	162	放射分选
中粒矿石	3—25	14	放射分选和跳汰选
细粒矿石	0.1—3	1.5	跳汰选,重悬油液中分离,摇床选,放射分选
微粒矿石	0.015—0.1	0.057	浮选(很少),放射分选,湿法冶金处理
乳胶矿石,半显微矿石	0.001—0.015	0.008	用水力旋流器进行多段分级,区分出含铀和不含铀的产物或直接用湿法冶金处理
分散胶体状矿石	小于0.001	—	同上

1) 以文献[16]中的分类为基础。

矿物集合体的大小和铀矿石的结构-构造特点

对于工艺过程来说,象铀矿物分出体的大小及其结构-构造特点之类的因素,起很大的作用。

表4为根据矿物集合体的大小而划分铀矿石的分类表。

根据对选别过程的影响,可以将铀矿石的结构构造分为如下几种:

1. 块状、斑状(巢状)、细脉状、条带状、浸染状、肾状构造;铀矿物集合体的大小从几个毫米(1.5—3毫米)到几个厘米;这样的矿石用放射性分选法或重力法选矿比较容易;
2. 细浸染、角砾、碎斑、皮壳、网格、环状、鳞片状构造;铀矿物集合体的大小从十分之几个毫米到1—1.5毫米;这样的矿石用机械方法选矿有困难。
3. 土状(粉末状)、微浸染、半显微构造;铀矿物颗粒大小不到0.015—0.020毫米;这样的矿石不能进行机械选矿,因为铀矿物极微细,而且在围岩中分散较均匀。

矿砂的对比度

根据铀的分布均匀程度,矿床可以分为具有均匀的、不均匀的、很不均匀的和极端不均匀的矿点。均匀和不均匀的矿点是沉积矿床的特征,很不均匀的和极端不均匀的矿点是热液矿床的特征。

矿体范围以内的铀矿物形成各个浸染体、细脉、矿巢、堆积体,因此,不管是在矿体的各个

表 5 鈾矿石工业类型分类表

附注：表中采用下列符号：■——分布很广；▲——分布广；×——分布不广

附注：表中采用下列符号：■——分布很广；▲——分布广；×——分布不广

表 6 綜合的工业鈾矿石分类表

鈾在矿石中存在的形式	矿石按有用組分共生情况划分的类型	鈾和其他組分的、具有工业意义的矿物	按矿砂成分划分的矿石类型										混合矿石		
			砂	碳酸盐			硫化物			铁氧化物	磷酸盐			可燃有机岩	页岩
				含少量碳酸盐	含中量碳酸盐	含大量碳酸盐	含少量硫化物	含中量硫化物	含大量硫化物		含少量磷酸盐	含中量磷酸盐	含大量磷酸盐		
鈾和其他有用組分参加真鈾矿物的成分	鈾-鈾型 鈾-稀土-鈾型	鈾-鈾型 鈾-稀土-鈾型	▲	■	■	■	■	■	■	■	■	■	■	■	■
	鈾-稀土-鈾型 鈾-鈾型 鈾-鈾型 鈾-稀土-鈾-鈾型	鈾-稀土-鈾型 鈾-鈾型 鈾-鈾型 鈾-稀土-鈾-鈾型	■	■	■	■	■	■	■	■	■	■	■	■	■
鈾和其他有用組分参加造岩矿物成分	鈾-鈾型 鈾-稀土-鈾型	鈾-鈾型 鈾-稀土-鈾型	■	■	■	■	■	■	■	■	■	■	■	■	■
	鈾-鈾型 鈾-稀土-鈾型 鈾-鈾型 鈾-稀土-鈾-鈾型	鈾-鈾型 鈾-稀土-鈾型 鈾-鈾型 鈾-稀土-鈾-鈾型	■	■	■	■	■	■	■	■	■	■	■	■	■
鈾和其他有用組分参加各种不同矿物的成分	金-鈾型 鈾-鈾型 鈾-鈾型 鈾-鈾型 鈾-鈾-鈾型 鈾-多金属型 鈾-鈾-鈾型 鈾-鈾-鈾型 鈾-鈾-鈾-鈾型 鈾-鈾-鈾-鈾型	金-鈾型 鈾-鈾型 鈾-鈾型 鈾-鈾型 鈾-鈾-鈾型 鈾-多金属型 鈾-鈾-鈾型 鈾-鈾-鈾型 鈾-鈾-鈾-鈾型 鈾-鈾-鈾-鈾型	■	■	■	■	■	■	■	■	■	■	■	■	■
	鈾-鈾-鈾-鈾型 鈾-鈾-鈾-鈾型 鈾-鈾-鈾-鈾型 鈾-鈾-鈾-鈾型 鈾-鈾-鈾-鈾型 鈾-鈾-鈾-鈾型 鈾-鈾-鈾-鈾型 鈾-鈾-鈾-鈾型 鈾-鈾-鈾-鈾型 鈾-鈾-鈾-鈾型	鈾-鈾-鈾-鈾型 鈾-鈾-鈾-鈾型 鈾-鈾-鈾-鈾型 鈾-鈾-鈾-鈾型 鈾-鈾-鈾-鈾型 鈾-鈾-鈾-鈾型 鈾-鈾-鈾-鈾型 鈾-鈾-鈾-鈾型 鈾-鈾-鈾-鈾型 鈾-鈾-鈾-鈾型	■	■	■	■	■	■	■	■	■	■	■	■	■

附注：表中采用下列符号：■——分布极广；▲——分布广；×——分布不广

不同点上,或是在打下的一块矿砂中,铀含量变化都很大。从铀含量很高的地段急剧转为无矿地段的情况,要算在热液矿床和伟晶岩矿床中最为常见。

铀矿点的断续性和不均匀性,以及结构构造特点和铀矿化的性质,决定了所打下矿石的放射对比度,也就是指在各个矿石块中铀含量比矿砂中的含量高多少。矿石分为有高、中和差对比度的,以及无对比度的矿石^[4]。高对比度和中对比度的矿石里,铀在矿块中的含量比在矿砂里的平均含量高数十倍、以至数百倍。有对比度的矿石,具有块状、斑点状、稠密浸染、条带状的构造,具有大、中、小直径的矿物集合体(热液矿床和伟晶岩矿床的矿石)。

对比度不显明的矿石,矿块中铀含量比矿砂中平均含量高不了多少(2—3倍于后者)。矿石构造以微浸染构造为主,一般具有较均匀分布的矿石包裹体(热液交代矿床和变质成因矿床的矿石)。

无对比度的矿石中,铀矿物在矿砂中分布较均匀,呈乳浊状和微分散浸染体状(主要是沉积矿床的矿石)。

结 论

表5,6所示之铀矿石分类一般形式,综合地反映了影响矿石工艺处理的一些主要因素。根据铀矿化的性质,矿砂的成分,构造特点和其他伴生矿物的存在,可以分出若干类型和变种。此处所列之分类(有别于现有的许多分类),最完全地反映了铀矿石的某些特性,以及这些特性对工艺过程的影响。

这里提出的分类可提供对矿石进行一般工艺鉴定,把矿石归属于一定的标准类型,更快地把矿石作工业处理的可能性。

参 考 文 献

- [1] W. Lennemann: *Engng and Mining J.*, 155, No. 9 (1954).
- [2] By. Thunæs: *Canad. Mining and Metallurg. Bull.*, 47, No. 506, 128 (1954).
- [3] Д. Я. Суражский: Методы поисков и разведки месторождений урана. М., Атомиздат, 1960.
- [4] R. Zitting: *Mines Mag.*, No. 3, 53 (1957).
- [5] Р. В. Гецева, К. Т. Савельева: Руководство по определению урановых минералов. М., Госгеолтехиздат, 1956.
- [6] В. Г. Мелков, Л. Ч. Пухальский: Поиски месторождений урана. М., Госгеолтехиздат, 1957.
- [7] Д. Эверхард: Материалы Международной конференции по мирному использованию атомной энергии (Женева, 1955), т. 6. М., Изд-во АН СССР, 1958, стр. 305.
- [8] Ю. Л. Черноуситов: Требования промышленности к качеству минерального сырья. Уран, вып. 67. М., Госгеолтехиздат, 1959.
- [9] Б. Н. Невский: *Атомная энергия*, 6, вып. 1, 5 (1959).
- [10] В. И. Герасимовский: Месторождения урана зарубежных стран. М., Изд-во АН СССР, 1959.
- [11] В. С. Домарев: Геология урановых месторождений капиталистических стран. М., Госгеолтехиздат, 1956.
- [12] М. М. Константинов, Е. Я. Куликова: Урановые провинции. М., Атомиздат, 1960.
- [13] Г. Е. Каплан, Б. Н. Ласкорин, Б. В. Невский: *Атомная энергия*, 6, вып. 2, 113 (1959).
- [14] В. Н. Котляр, Е. С. Кабанова, Б. В. Кристальный: Осостояния сырьевой базы урана в капиталистических странах и методике поисковых работ на уран. М., Изд-во АН СССР, 1956.
- [15] Н. С. Зонтов: *Атомная энергия*, 6, вып. 6, 613 (1959).
- [16] В. А. Глазковский: Геолого-минералогические основы технологической оценки руд месторождений железа. М., Госгеолтехиздат, 1954.

关于应用浮选法净化放射性废水的问题

伏兹涅先斯基 (С. А. Вознесенский)

謝列達 (Г. А. Середа)

巴斯可夫 (Л. И. Басков)

巴格列錯夫 (В. Ф. Багрецов)

本文指出,表面吸附有放射性同位素的氢氧化鉄能从水溶液中浮选出来。已经查明,放射性同位素在浮选过程中实际上不被解吸。研究了氢氧化鉄的浮选性与溶液的碱度,参与反应物质及外来杂质的原始浓度之间的关系。对氢氧化鉄与所研究的浮选剂相互作用的化学特性作了推断。

文中也探讨了有关在净化放射性废水时生成的氢氧化鉄的沉淀物浮选的一些实验数据。

近来发表了很多关于处理和脱除放射性液体废物的文章^[1,2]。由于对排到露天水池的废水有严格的卫生要求和这种废水的化学及放化成份的复杂,就需要同时应用不同的方法处理废水。在预先处理时常常应用鉄或鋁盐加以凝結^[1,3]。在文献中指出,这些金属的氢氧化物对大多数放射性同位素是很好的吸附剂^[4,5]。此外,凝結时废水中的悬浮粒子也清除了。然而,这时却得到大量的沉淀物(占被处理的废水体积的2%)。为了减小体积,就要求进一步进行处理^[1]。

现有的一些减小氢氧化物沉淀体积的方法(自然脱水、在离心机及真空过滤器上处理,热干燥^[6])有很多缺点。这就要求探索新的方法。

本文介绍了用浮选方法减少氢氧化物沉淀体积的一些实验结果。早在第二届日内瓦和平利用原子能国际会议上提出过这种处理方法的报告,这些实验就是试图使放射性废水净化的方法更趋完善^[1]。

实 驗 方 法

在蒸馏水或自来水(化学分析见表1)中用下列方法进行沉淀。在1升水中以苛性鈉溶液凝結 $\text{Fe}_2(\text{SO}_4)_3$ 制备成必须浓度的 $\text{Fe}(\text{OH})_3$ 沉淀的悬胶体;而后在用苛性鈉碱化介质时按100毫克/升計,将鉄溶液倒入一定体积要处理的放射性废水中。凝結了的沉淀静置至必要的体积。静置过程进行一昼夜到15昼夜。每一克要处理的沉淀中加入一克浮选剂。曾試驗了几十种不同的浮选剂,这是科学院烏拉尔分院(УФАН.)化学研究所泊留斯宁(В. Г. Плюснин)好意供給的。使用彼得洛夫煤油接触剂,即石油苯磺酸——用硫酐氧化煤油馏出液的产物,氢氧化鉄的浮选效果是好的。以后所有的实验都是应用预先用苛性鈉中和过的这种浮选剂来完成的。

自来水的化学分析

表1

pH	元素,毫克/升					可氧化性, 毫克/升	干渣, 毫克/升
	Ca^{2+}	Mg^{2+}	SO_4^{2-}	Cl^-	CO_3^{2-}		
7.1	30.6	13.8	20.6	24.8	12.1	4.9	200

在研究放射性同位素的性能的实验中,在加鉄盐以前,将放射性同位素加入到原始溶液中。曾經研究过下列鈾裂变碎片的性能: Sr^{90} 、 Pm^{147} 、 Zr^{95} — Nb^{95} 、 Ru^{106} — Rh^{106} 。所有的制剂均是

化学纯及放化纯的,而且没有载体。 Sr^{90} 、 Pm^{147} 及 Ru^{106} — Rh^{106} 制剂是氯化物溶液,而 Zr^{95} — Nb^{95} 是草酸溶液。沉淀的原始比放射性在换算成1克氢氧化铁时占0.03—0.1毫居里。

从这样制备的氢氧化铁沉淀中按100毫升取样,并放入容量500毫升用有机玻璃制成的实验室用浮选机中进行浮选。以高15毫米、直径30毫米、倾角 $40-45^\circ$ 的叶轮搅拌溶液,搅拌速度调整在4300—5000转/分。

通过预先实验确定最适宜的搅拌速度(4600转/分)、搅拌时间(2分)及从溶液中分离浮选沉淀的时间(40—60分)。所有的实验都是在这些条件下进行的。在分离沉淀后,测量了这些沉淀的体积以及剩下的溶液的体积。根据所得到的浮选数据确定了沉淀体积的缩减系数,即浮选系数 $K_{\phi n}$ 。

在实验中用一般的放射性测量方法,使用钟罩式计数管及B型仪器检查放射性同位素的情况。计数的相对误差是 $\pm 5\%$;用带有П-6型电位计的玻璃电极测量溶液的pH值,测量精确度等于0.1 pH。所有实验是在 $17-19^\circ\text{C}$ 进行的。每一次实验重复做三、四次。

实 验 数 据

在研究开始时,确定了每单位重量的氢氧化铁浮选沉淀所需的浮选剂的最佳数量。在这次实验及所有以后的实验中,沉淀的量是7克/升,溶液的pH值是8.5。所得的数据如图1所示。由图1看出,浮选剂的最佳数量是1克对1克 $\text{Fe}(\text{OH})_3$ 。在选择实验条件下,进一步添加浮选剂并不能使 $K_{\phi n}$ 再有所增加。因此,在所有以后的实验中都使用浮选剂对浮选沉淀的这种比例值。

众所周知,介质的pH值影响到许多矿物质的浮选。在我们的实验中也遇到了同样的情形。正如以上指出,在文献中没有氢氧化铁浮选的数据,而我們也不了解介质pH值对 $K_{\phi n}$ 的影响,因此就曾作试验,以了解得到氢氧化铁沉淀的溶液的pH值的影响。实验数据如图2所示。

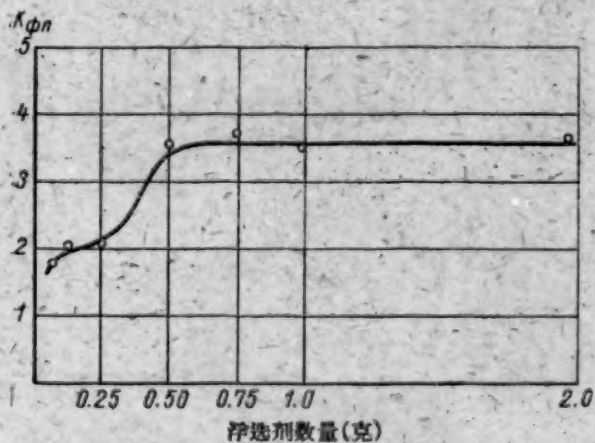


图1 浮选剂数量对 $K_{\phi n}$ 的影响

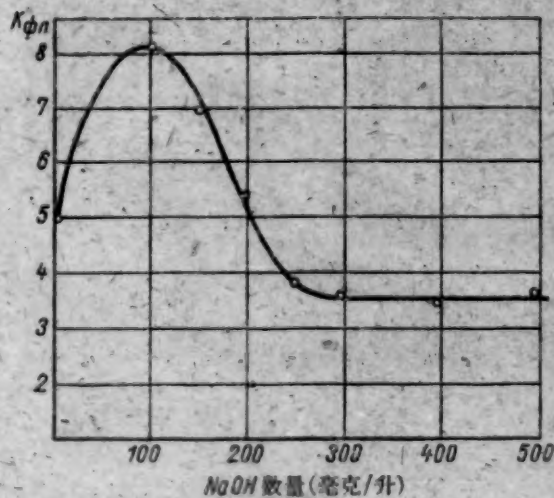


图2 NaOH 的量对 $K_{\phi n}$ 的影响

如图2曲线所表明, $K_{\phi n}$ 的确是随着NaOH的量改变而变化的。在中性介质¹⁾中 $K_{\phi n}$ 的值最大(~ 8.0)。当提高碱度到200毫克/升(混合搅拌后溶液的pH值约8.0)时, $K_{\phi n}$ 值剧烈地下降到3.8,而后才实际上保持不变。

对于浮选法的实际应用,主要是要知道在浆液中 $K_{\phi n}$ 与氢氧化铁浓度的关系。其数据如

1) 在溶液中加入100毫克/升的 $\text{Fe}_2(\text{SO}_4)_3$ 及100毫克/升的NaOH时,混合后溶液的pH值等于 ~ 7.0 。

图3所示。

因为在处理氢氧化铁沉淀的实践中可以遇到保存了一个月到1.5—2年期间的“老”沉淀，对于这类沉淀也作了浮选实验。此外，这种试验又给了一些补充数据，根据这些数据可以间接地判断浮选的机理。这些实验的结果列于表2。

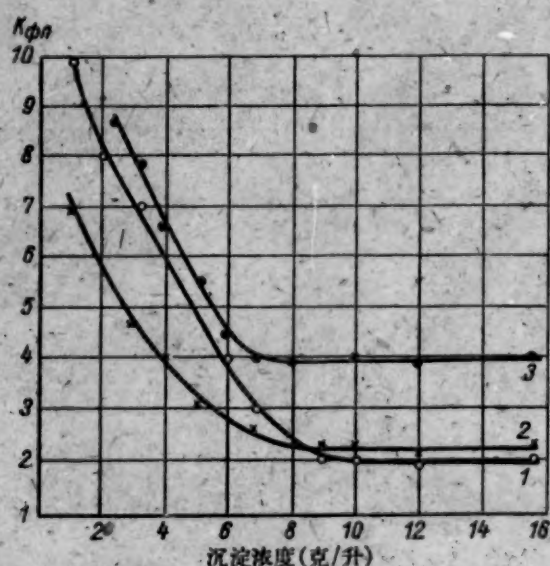


图3 $K_{\phi n}$ 与在悬浮液中沉淀的浓度的关系：

- 1、2——相应地对于在实际条件下形成的沉淀进行气动和机械搅拌；
3——对于在1升自来水中形成的氢氧化铁沉淀。

氢氧化铁沉淀的老化时间对浮选的影响
(搅拌速度 2000 转/分)

表2

沉 淀 时 间 (昼夜)	$K_{\phi n}$	浮 选 的 必 要 时 间 (分)
新形成时	4	3.0
3	4	3.5
6	„	5.0
9	„	7.0
12	„	8.5
24	„	10.0
540	2	25.0

在净化放射性污水时，它总是含有不同数量的阳离子及阴离子。在这些污水中，最常遇到的离子有 Ca^{2+} 、 Mg^{2+} 、 CO_3^{2-} 、 SO_4^{2-} 、 Cl^- 、 NO_3^- 等。曾经发现， $\text{Fe}(\text{OH})_3$ 沉淀的凝固速度与某些盐类的浓度有关，其中有 CaCO_3 。从文献中[8]知道，不同的阴离子对泡沫的特性，特别是对它的稳定性的影响是各不相同的。为了要弄清局外杂质的影响，曾作了实验，其数据如图4及图5所示。

在浮选时被氢氧化铁沉淀所吸收的放射性同位素的性状

本文的目的，正如以上指出，是测定在净化放射性污水时形成的氢氧化铁沉淀的浮选可能性和条件。因此，在确定了氢氧化铁沉淀的最好的浮选条件后，就做了实验，以了解早先吸附在沉淀上的放射性同位素的性状。数据列于表3。

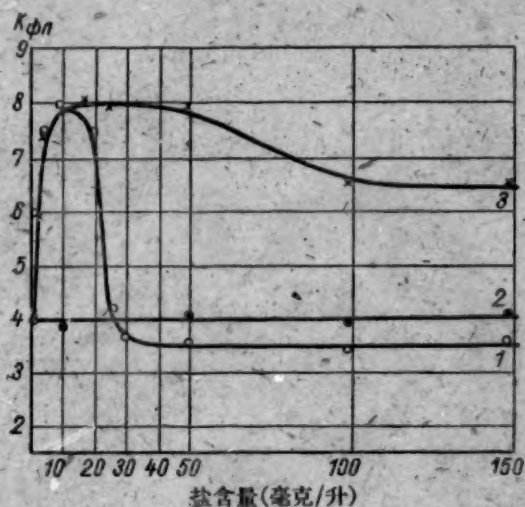


图4 局外杂质对 $K_{\phi n}$ 的影响

- 1—在有 $\text{Ca}(\text{NO}_3)_2$ 参与时;
2—在有 Na_2CO_3 参与时;
3—在有 $\text{Ca}(\text{NO}_3)_2$ 及 Na_2CO_3 的混合物参与时.

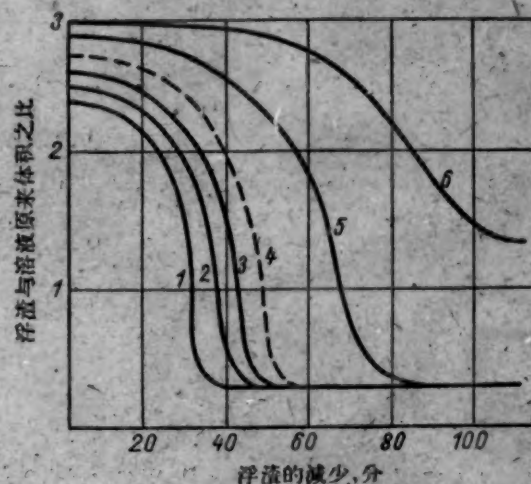


图5 各种阴离子对泡沫稳定性的影响

- 1—加入 NaNO_3 或 Na_2SO_4 ;
2—加入 Na_2CO_3 或 $\text{Na}_2\text{C}_2\text{O}_4$;
3—加入 $\text{Na}_2\text{Cr}_2\text{O}_7$ 或 NaAc ;
4—在实际条件下生成的沉淀;
5—加入 Na_3PO_4 或 Na_2SiO_3 ;
6—加入 NaCl .

放射性在溶液中的分布%

表3

同 位 素	原 始 溶 液	凝 结 后 溶 液	浮 选 后 溶 液
$\text{Ru}^{106}-\text{Rh}^{106}$	100	37.60	-1.27
Pm^{147}	"	0.40	-0.03
Sr^{90}	"	6.50	+0.02
$\text{Zr}^{95}-\text{Nb}^{95}$	"	1.10	+0.01

附注: 负号表示在浮选时一部分放射性从沉淀转移到溶液中去; 正号表示相反的现象.

结 果 讨 论

如前所说,在实验一开始时就曾试验了许多用做浮选剂的物质. 研究得特别细致的是经过补充加工的煤油产物. 这些产物是原煤油、裂化沥青、水氯化煤油、水氯化碱解煤油以及硫化皂化煤油. 了解到含有磺基成份的硫化皂化煤油具有从水溶液中浮选氢氧化铁的能力. 所有其它被研究的物质没有得到好的结果.

硫化煤油浮选氢氧化铁的能力是由下面原因决定的: 在搅拌时显然是产生了化学反应, 生成了新的化合物, 它有别于“纯”的氢氧化铁, 能被浮选. 这种设想下列实验的数据所证实: 氢氧化铁沉淀与浮选剂混合, 而在静置后又以 20 倍体积的水洗涤. 在范德华力使沉淀与浮选剂相互产生物理作用情况下, 经过上述那样洗涤, 浮选剂就很容易从被浮选的物质表面上排除, 并且不起浮选作用^[9]. 在我们的实验中, 用水洗涤后, 浮选进行得很正常.

保存的(“老化”到一年半的)沉淀的处理表明: 它也被浮选了, 但这时浮选所必须的时间与沉淀的“老化”时间有关. 我们知道, 沉淀愈“老化”, 则其表面增加得就愈小, 具有的吸附性能就愈低. 在我们的实验中, 需要较长的搅拌时间, 以便浮选剂与氢氧化铁相互作用. 浮选系数却仍然和新形成的沉淀一样, 即改变的仅仅是浮选速度. 这也表明了沉淀与浮选剂的相互作用的化学特性.

从图2中看出: 在中性介质中可得到被浮选了的最小体积($K_{\phi n}$ 大的)的沉淀. 氢氧化铁的等电位点是在 $\text{pH} = 7$, 即在这一范围内沉淀的含水量最小, 因此浮选沉淀的体积也最小.

在淨化放射性污水时,在 $\text{pH} > 8.0$ 时,氢氧化鉄吸附放射性微量成份最完全^[1,4]。因此,所有以后的实验都是在形成的沉淀 pH 大于 8.0 时进行的。自然,这时 $K_{\text{фл}}$ 是小于最大值的。

由图 4 的数据可见,悬浮液中沉淀的浓度愈小,则 $K_{\text{фл}}$ 愈大。这是因为由稀溶液中析出的氢氧化物沉淀的水分较大的缘故。浮选后沉淀的水分大约一样,所以 $K_{\text{фл}}$ 随悬浮液中沉淀浓度的改变而有如此急剧的变化。从浓度 8 克/升开始,继续增加氢氧化鉄的数量,不能使 $K_{\text{фл}}$ 减小。

上面已经提到加入一定量的某些物质,譬如细碎的白垩或大理石,就显著地加速了氢氧化鉄沉淀。这时就获得含水较少的沉淀。实验结果[参阅图 4]表明:加入少量的硝酸钙到悬浮液中就使 $K_{\text{фл}}$ 增加(曲线 1)。增加的原因是在 $\text{Ca}(\text{NO}_3)_2$ 的这种浓度下,由于溶液中含有 CO_3^{2-} 离子,就形成 CaCO_3 沉淀。加入大量的硝酸钙,不会使分离出更多的碳酸钙沉淀,这时它已产生象无关的电解质一样的影响。因为在实验中使用含有少量硬性盐以及大量的 CO_3^{2-} 离子的水,加入苏打也不影响 $K_{\text{фл}}$ (曲线 2)。可能在使用含有少量的 CO_3^{2-} 离子的硬水时,苏打及硝酸钙影响就会相反。

加入一定浓度的 Ca^{2+} 及 CO_3^{2-} 离子(在我们的实验中每 100 毫克的 $\text{Fe}(\text{OH})_3$ 中有 10—50 毫克)也引起 $K_{\text{фл}}$ 的增加。

在图 5 上列出的数据,表明不同的阴离子对泡沫的稳定性的影响。这些数据与其他研究人员^[8,10,11] 所得到的结果是一致的。具有使溶液起沫能力的阴离子可使泡沫稳定。在我们所研究的阴离子中,具有这种性质的有 Cl^- 、 PO_4^{3-} 及 SiO_3^{2-} 。必须特别指出 Cl^- 的影响,因为有 Cl^- 离子存在就使泡沫极其稳定。因此,在处理的污水中,极不希望有高浓度的 Cl^- 和应用氯化鉄进行凝結。在浮选时会减低泡沫的稳定度的阴离子有 NO_3^- 、 SO_4^{2-} (浮选后泡沫体积很快地减小)。对泡沫稳定性有类似影响的阴离子有 CO_3^{2-} 、 $\text{C}_2\text{O}_4^{2-}$ 、 $\text{Cr}_2\text{O}_7^{2-}$ 及 Ac^- , 虽然它们的影响不象 NO_3^- 及 SO_4^{2-} 那样强。在处理的污水中类似的阴离子数量在每 100 毫克 $\text{Fe}(\text{OH})_3$ 中有 2 克,不会改变 $K_{\text{фл}}$ 。此外,这类阴离子存在加速了浮选沉淀体积的减小过程,因此增加了设备的生产能量。

浮选氢氧化鉄沉淀所进行的实验(在氢氧化鉄沉淀上早已吸附了不同的放射性元素[参阅表 2])证明,在浮选时不会产生放射性元素的显著的解吸作用。这说明放射性元素和氢氧化鉄的相互作用很好,并且如许多研究者所指出的一样化合物或因溶体的生成也很好^[5,6]。

根据本研究结果有理由推测,即不仅是结晶的氧化物物质可以浮选,而且胶状沉淀也可以。为此必须选择适当的用作浮选剂的物质。也可以期望,其它的金属氢氧化物(例如铝)以及某些盐类也具有被浮选的能力。

最后必须指出,浮选在淨化放射性污水时产生的氢氧化鉄沉淀能够成为一种有前景的可以减小沉淀体积的方法。

参 考 文 献

- [1] С. А. Вознесенский и др.: Тр. Второй международной конференции по мирному использованию атомной энергии (Женева, 1958). Докл. советских ученых. Т. 4—Химия радиоэлементов и радиационных превращений. М., Атомиздат, 1959, стр. 189.
- [2] R. Burns, M. Stedwell: Nucl. Engng. Sci. Conf., 3, No. 57—58, 11 (1957).
- [3] A. Wolman, A. Ghorman: J. Instn Water Engrs, 7, No. 4, 319 (1953).
- [4] В. В. Пушкарёв: Ж. неорганич. хим., 1, № 1, 170 (1956).
- [5] С. А. Вознесенский, В. В. Пушкарёв, В. Ф. Багренков: Ж. неорганич. хим., 3, № 1, 235 (1958).
- [6] E. Horner, G. Sifrin: Engng News-Rec., 151, No. 6, 37 (1953).
- [7] Керосиновый контакт Петрова, ГОСТ-463-53.
- [8] Е. А. Филатова: Тр. Харьковского политехн. ин-та, № 8 (1956).
- [9] О. С. Багданов: Флотация (вопросы теории и практики). М., Металлургиздат, 1945.
- [10] W. Lockett: J. and Proc. Inst. Sewage Purific., No. 3, 225 (1956).
- [11] T. Nash: J. Appl. Chem., 7, No. 7, 392 (1957).

波兰 BBP-C 型反应堆运行一周年¹⁾

阿列克山德洛维奇 (Еже Александрович)

原子核研究所 華沙

本报告对反应堆运行一年間的利用率作了評論。为了簡化运行和扩大裝置的实驗能力，在反应堆結構及其設備方面的改变和补充作了敘述。此外还附有与反应堆物理和工程特性有关的某些測量結果。

苏联供应的波兰第一个 BBP-C 型核反应堆于 1956 年 4 月开始建造。反应堆物理起动在 1958 年 5 月 31 日实现。一开始就达到在額定功率 2000 瓩下工作的能力。

本报告中列举的大多数工作是由波兰科学院原子核研究所的反应堆运行研究室、核物理研究室 IA 和 IB、以及反应堆工程研究室完成的。作者包括有：

巴博尔 (Байбор З.)、別古舍夫斯基 (Бегушевски З.)、別連斯 (Беренс Т.)、多莫斯拉夫斯基 (Домославски З.)、札尔諾維茨基 (Жарновецки К.)、科夫納茨卡雅 (Ковнацкая Я.)、拉布諾 (Лабно Л.)、奧康諾尔 (Оконнор Д.)、奧帕托夫斯基 (Опатовски А.)、波斯特 (Пост Р.)、雅西尼斯基 (Ясиньски А.)、舒尔茨 (Шульц П.)。

1. 对反应堆利用率的評論

从起动到现在为止，除了最初期間以外，波兰反应堆平均每周按两班工作四天，即每周大約工作 60 小时。

关于反应堆功率利用率的詳細数据表在图 1 和图 2 上。

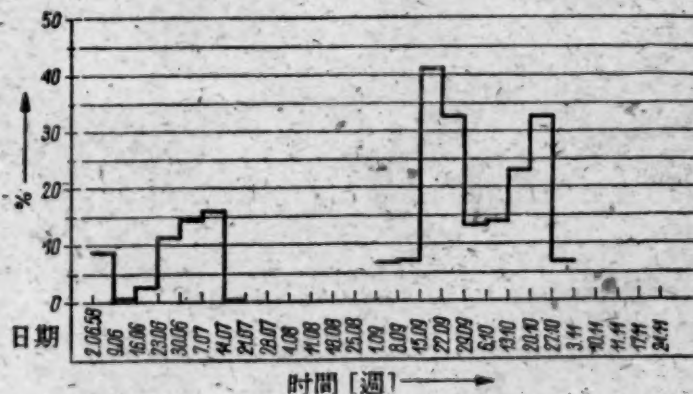


图 1 波兰 BBP-C 型反应堆功率的百分利用率(a)。
(取反应堆在 2 兆瓦功率下 6 昼夜中連續工作为 100%)

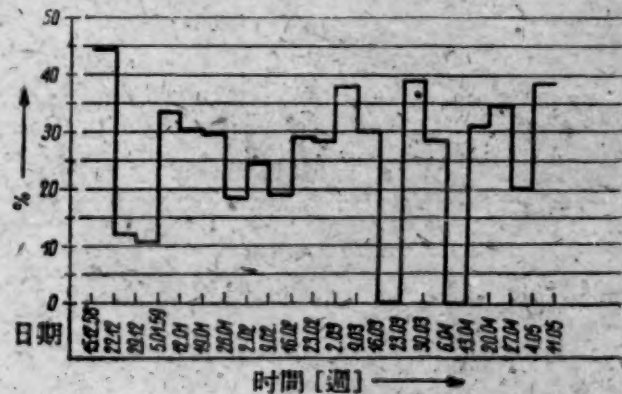


图 2 波兰 BBP-C 型反应堆功率的百分利用率(b)。
(取反应堆在 2 兆瓦功率下 6 昼夜中連續工作为 100%)

这个时期的大部分，反应堆都在額定功率 2000 瓩下运行。装載量是 32 个释热元件盒。燃料到现在为止是 2300 兆瓦小时。較詳細的数据将在下面表出。

反应堆中央大厅的概貌图示于图 3 和图 4。九个水平实驗孔道經常用来做下列工作：

2 号和 4 号孔道——晶体中子譜仪，

1) 报告是 1959 年 6 月 24--27 日社会主义国家在杜布納举行的反应堆會議上提出的。报告登載时作了节略。

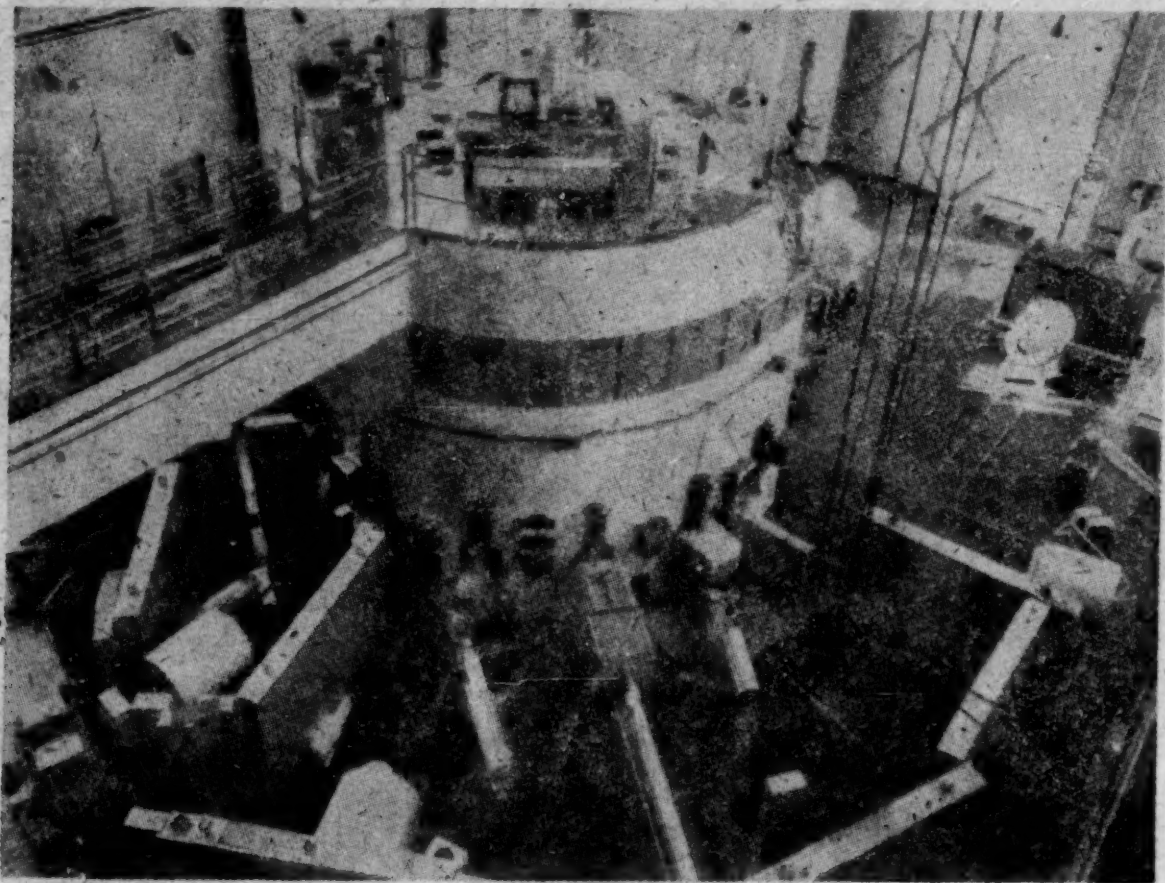


图3 中央大厅概貌 (a)

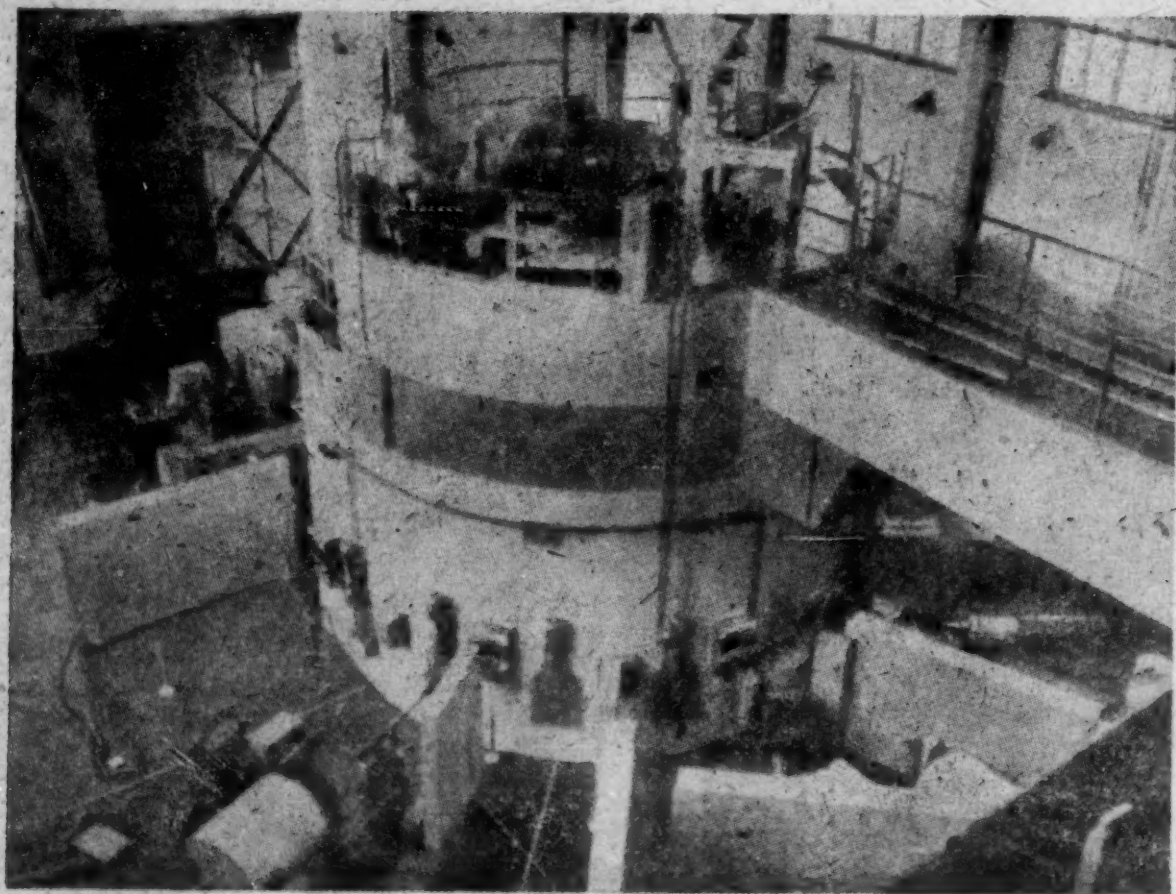


图4 中央大厅概貌 (b)

3 号孔道——研究中子辐照对半导体的作用,

5 号孔道——装了带晶体单能器的准直仪,用来研究中子与液体中化合氢分子的散射,

8 号孔道——研究慢中子与各种中等重核之间的势散射.

在 9 号孔道中装有快中子机械选择器.

10 号孔道(热柱)用于简单热中子机械选择器.

其余的水平孔道(1、6、7 号)用来辐照各种样品、研究中子捕集器和附加防护层、以及其它工作.

至于说到垂直孔道,则因为活性区没有完全装满,在反应堆中(除了 8 个所谓生产放射性同位素的孔道以外)有 19 个置换器可以用来辐照样品.特别是常常利用热柱的垂直孔道来辐照供放射化学研究用的样品.所谓生物孔道直到现在还没有利用.

2. 为了简化运行和扩大实验能力而在反应堆结构及其设备方面的改变和补充

BBP-C 型反应堆是很成功和很好的实验装置(特别对于在掌握和平利用核能方面刚迈出第一步的那些国家来说更是如此),但是它当然不可能满足所有的实验要求.

根据实验组的提議,在反应堆安装期间及其以后,作了一系列的补充.其中有些可以在这里简单地列举如下.

2.1. 活性区范围内的补充

在反应堆活性区范围内附加了下列垂直孔道(见图 5):

- 1) 直径 105 毫米的孔道和直径 60 毫米的孔道,用来试验我们研究所制造的中子电离室和其它中子探测器,
- 2) 反应堆振荡器用的直径 60 毫米的(可抽出的)孔道,
- 3) 辐照样品用的直径 56 毫米的短孔道,
- 4) 活性区和容器桶之间附加的机械手操纵孔道.

2.2. 附加防护层

BBP-C 型反应堆建筑物的设计规定:每个水平实验孔道都有建筑物实验部分的一个房间与之发生联系,可以把电缆从装在孔道旁边的装置引向这些地方.但是在大多数情况下物理学家直接在孔道附近工作要方便得多.

为了保证劳动安全和减少中央大厅的辐射本底,补充了许多可移动的设备,即:

- 1) $3 \times 1.8 \times 0.3$ 米的钢-水层,
- 2) 灌满硼丁烷的钢砖,
- 3) 中子和 γ 辐射的捕集器,它对着孔道轴心装设.

这个附加防护层表在图 6 上.

此外还附加了水平实验孔道挡板的远距离操纵装置.

2.3. 附加的装料-卸料装置和辐照样品贮藏井

要比现时更广泛地利用反应堆,必须改进工作的组织,即要求同一时间内在同样功率水平下能够做更多的实验.如经验所证明:无论是物理学家还是化学家常常需要尽可能高的中子通量.这意味着:如我们已经提到的那样,反应堆大部分时间都要在额定功率下工作.但是同

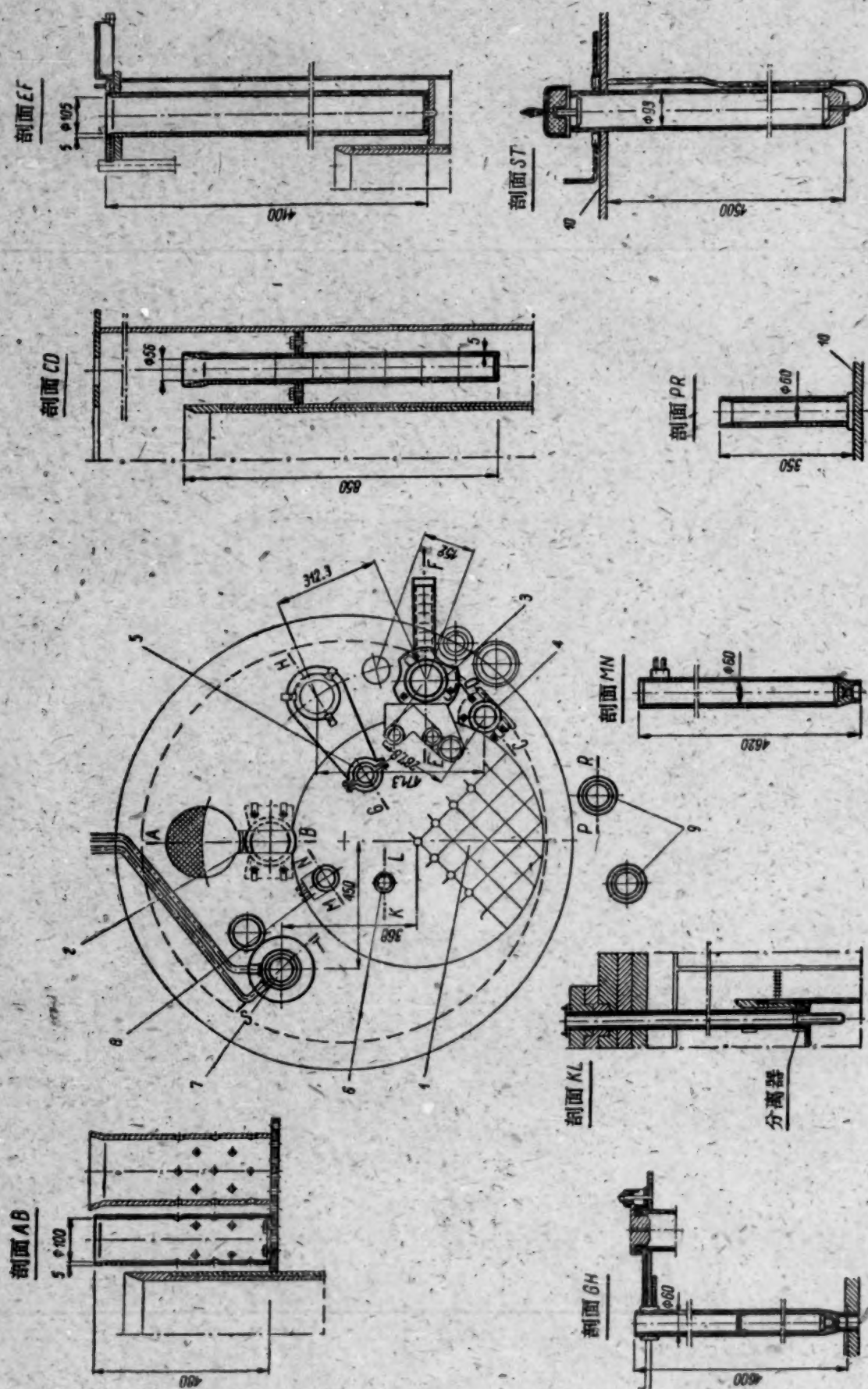


图5 反应堆活性区部分的改变.

1——活性区； 2——追加的机械手操纵孔道； 3——試驗中子电离室的孔道； 4——辐照材料追加的孔道； 5、8——裂變室孔道(控制帶零功率的反应堆起動)； 6——反应堆振荡器用的孔道；孔道裝設在与反应堆旋轉蓋板上中央孔可以相通的工艺区段內的一个地方； 7——研究释热元件完整性的真空室； 9——把从活性区中取出的辐照样品加以保存的筒狀貯藏井；反应堆鋁制蓋板(位于鑄鉄旋轉蓋板之間)。

时这也意味着：把物理学家和放射化学家的实验样品加以辐照所需的大多数装卸操作要在装置满功率的情况下进行。这特别与所有的短时辐照有关。我们经常需要与之打交道的样品辐照后的放射性一般不高于几个毫居里甚至只有几个微居里。

因此制造了特殊的设备，它可以通过装置顶盖板安全地把放射性大约不超过 1.5 居里的

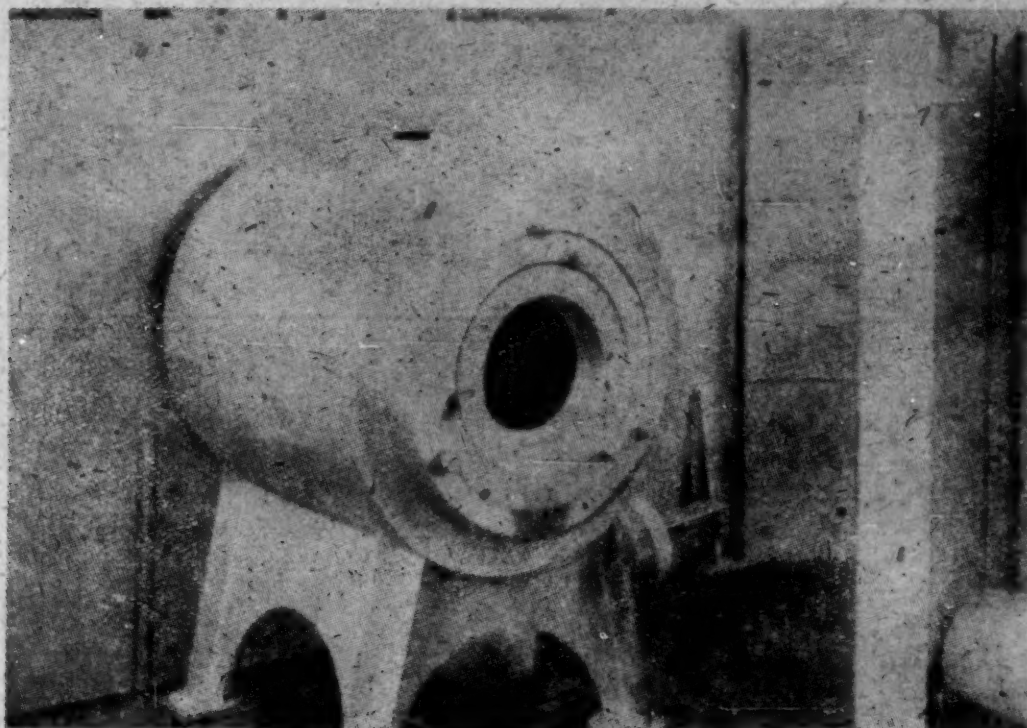


图 6 附加的防护-捕集器组(鋼水层和带丁烷的砖)

样品取出。这个设备由包括特殊电磁掣子的所谓机械手操纵容器组成。这个掣子起一个装料机构杆的作用，它可以借助绳子放到活性区任何长的垂直孔道中或放入热柱中。掣子有夹住样品的电信号设备。掣子的照片和设备的动作表示在图 7 和图 8 上。

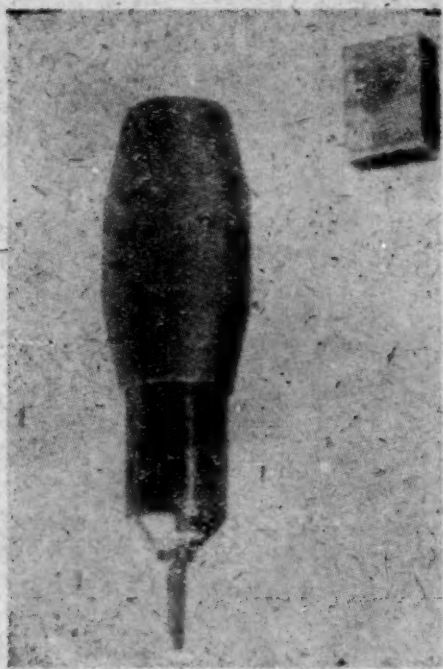


图 7 电磁掣子

机械手操纵容器可以安在装置旋转盖板上面，热柱孔道上面以及其它地方。

利用电磁掣子不仅可以从反应堆上部把样品取出，而且可以把它們放到热室或貯藏井中去。此时没有必要抛掷样品，而可以直接把它們放到小箱本身或容器中。同时也保证可以反过来把样品送回反应堆。对于准备最近期间在反应堆内再生用于工业探伤的铀和其它 γ -辐射源来说，这一点有特别的意义。

除了上面所说的以外，还有另外的利用带螺旋形孔的特殊塞子的办法，也可以在满功率下装卸样品。

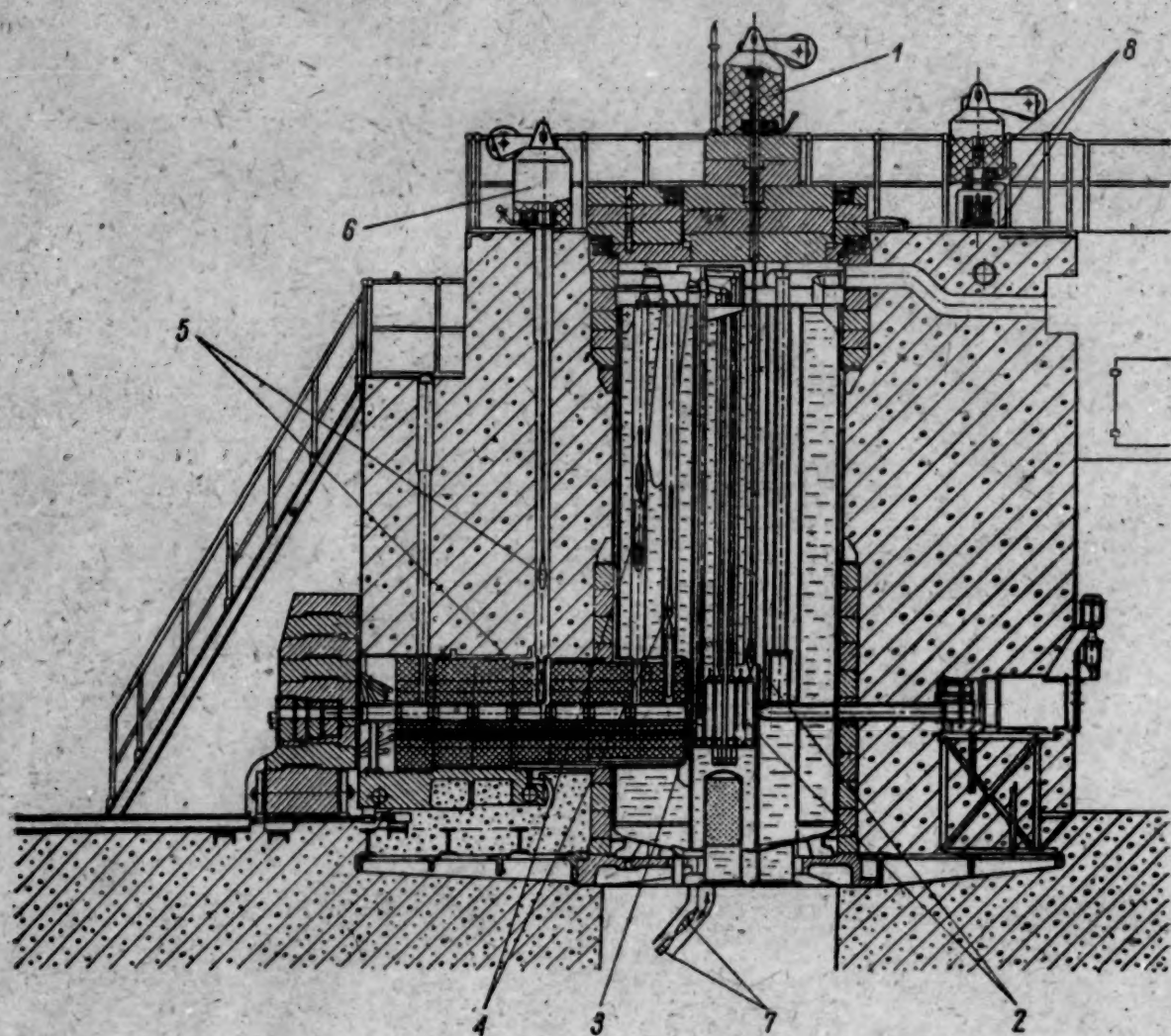


图8 反应堆垂直孔道的装料和卸料示意图

1——装在旋轉盖板中央小孔上的容器；2——夹住工艺部分的瞬間；3——制备放射性同位素的孔道(短的或长的)中的掣子；4——处于移动小車中的带着热柱孔道中样品的套子。套子的装卸都借助于掣子和容器；5——处于生物防护层中的带着热柱孔道中样品的套子；6——在热柱孔道上面的容器；7——接热室的抛掷孔道中的带着样品和掣子的套子；8——换料平台上的容器。

为了把样品移往輸送容器中,在反应堆中央大厅将装設特殊的平台。

因为我們計劃逐步增长輻照数目,而因之也就增加各种放射性材料的数量,故而設計了保存它們用的追加的干燥貯藏井:一个装在反应堆外壳上面,另一个是带有很多孔的移动式的。

除了上述垂直实验孔道装卸料用的設備以外,还做了許多装置,保証水平孔道在反应堆工作期間可靠的服务。

3. 主迴路的淨化和防止腐蝕。离子交换器的接入

3.1. 概 論

在BBP-C型反应堆的主迴路中,作为慢化剂、反射层和冷却剂的都是蒸餾水,因此对它的純度提出很高的要求。水的高純度主要影响到在活性区中、反应堆外壳中、以及主迴路其它重要构件中可能发生的腐蝕的速度。此外,在反应堆正常运行时下列事实不是不重要的,即主迴路水的放射性将随着其中污垢积累的程度和随着它們在反应堆內滯留時間的增长而增长。水的放射性还将随溶入其中的杂质浓度的增加而增加。由此得出結論:經常地淨化主迴路,把相当高純度的水加入主迴路中、以及以后保持这个純度所采用的方法,在反应堆运行期間都有决定性的意义。

3.2. 反应堆起动前主迴路的淨化

主迴路中的固体和不溶解的杂质主要是建筑时的灰、砂和油漆、碎布、填料等安装残渣,它們在用蒸馏水第一次冲洗主迴路时就借助于特殊机械过滤器清除掉了,过滤器临时插入热交换器进口前面的主迴路中。由于在閥門、水泵本体以及鋼管的某些段落中积有不能湿润的残渣,为了改进冲洗工作,在主迴路水中加入了大約 350 立升 30% 的密尔佐里雅特(一种浮选剂)(去污剂:鈉的煙基-芳基-磺酸盐)溶液。經驗証明:主迴路的冲洗是良好和有成效的。冲洗前后对水分析的结果使人确信:用去污剂来冲洗主迴路是合理的。冲洗后的主迴路于 1958 年 5 月末灌滿蒸馏水,其中包含 1.6 毫克/立升左右的干残渣和大約 0.02 毫克/立升的铁。

3.3. 旋轉盖板和主迴路閥門的除锈和防止腐蝕

因为从旋轉盖板的生锈的孔中可能有一些铁落入主迴路的水中,所以要清除所有沒有防腐蝕的盖板表面上的铁锈,以后再作鈍化处理 and 涂二次耐酸漆。在对反应堆主迴路內已經装好的閥門作了檢驗后,这些閥門的内表面都复以显示它們上面发生腐蝕的附加薄膜。閥門上铁锈的清除和防止它們进一步腐蝕是在冷态下用特別配置的溶液来搞的。主要溶液的成分为:

5.2 公斤	H_3PO_4
0.3 公斤	$\text{Mn}_3(\text{PO}_4)_2 \cdot 3\text{H}_2\text{O}$
1.3 公斤	$\text{Zn}_3(\text{PO}_4)_2 \cdot 4\text{H}_2\text{O}$

根据到现在为止对主迴路水所作的分析,可以认为:所用的清除铁锈和防止閥門腐蝕的方法給出了滿意的效果。

3.4. 离子交换器的接入

由于在反应堆工作的半年中主迴路水质降低,因此必須接入离子交换器,何况暂时还没有把主迴路水排入废水箱的条件。

在这种情况下,决定向肯德泽仁的氮气工业联合企业购买全部适合的吸附剂,即:

- 1) 本国生产的 MK-3 强酸性阳离子置换剂,
- 2) 外国(荷兰)生产的 I_{mac} — S4 强碱性阴离子置换剂。

离子置换剂預先在实验室条件下作了研究。

用洗净的离子置换剂制成了吸附剂的混合物。过滤器中吸附剂混合物的組成如下: 120 立升的阳离子置换剂和 100 立升的阴离子置换剂。将吸附剂装入过滤器时特別要注意把离子置换剂大小不等地鋪設在一起,使其中不积存空气,并使由于阴离子置换剂和阳离子置换剂不同密度引起的凸出水中的离子置换剂层減到最小。虽然离子交换器在水流动速度大約为 10 米³/小时的条件下总共接入 10 个小时左右,但已得到下列结果:

主迴路水的干残渣从 12 毫克/立升減到大約 0.4 毫克/立升,

电阻率从 $0.09 \cdot 10^6$ 欧姆·厘米增加到 $2.3 \cdot 10^6$ 欧姆·厘米,

放射性从 $4 \cdot 10^{-5}$ 微居里/厘米³ 降到 $7.6 \cdot 10^{-7}$ 微居里/厘米³,

这些结果表明:离子交换器将可以正常地工作。主迴路水在温度 20°C 时 pH = 6.8。

根据在实验室中对所用离子置换剂效用估价的结果,并根据对主迴路水的放射性和电阻的測量,决定了使用离子交换器的工作細則。細則規定:每周于反应堆起动前把过滤器接入一次,每次几个小时。过滤器进口水的最高容許温度采用 20°C,而水流量大約为 10 米³/小时。

3.5. 主迴路水的分析

从1958年3月25日到現在¹⁾的这个时期内,为了控制干残渣的数量和成份、电导率、氫离子浓度和放射性,对主迴路水作了200次左右的分析。水中鉄的浓度到现在为止在主迴路中保持在固定的低水平上,与一年前相类似,而鋁的浓度只有很小的增加。由上述事实应该得出结论:主迴路中腐蝕速度是很慢的。一年来对主迴路水的分析結果表明:反应堆水中污垢的主要来源首先是反应堆水中的尘土。使用很简单的过滤器,过滤从反应堆中央大厅进入除气器的空气,給出了良好的結果。但是这个补充办法不能完全消除空气中的灰尘这一主迴路水的污垢来源。

最近的测量表明:在主迴路水中有数量不多的非常細小的离子置换剂粒子,它們吸附着一些放射性污垢。这些小质点通过离子交换器时不会被挡住,但是試驗表明:它們很容易被机械过滤器(所謂古契过滤器)捉住。这証明得到較高质量的水是可能的。水分析的最有代表性的結果收集在下表中。

BBP-C 型反应堆主迴路的水分析的典型結果

試样号碼 No.	取水試样 的 日 期	水溫℃	pH	干 残 渣 毫克/立升	鉄的含量 毫克/立升	电阻率 $\times 10^{-6}$ 欧姆·厘米	放 射 性 (长命的) 微居里/毫升	备 注
1	2	3	4	5	6	7	8	9
135	12.11.1958	18	6.3	12.0	×	0.09	$4 \cdot 10^{-5}$	放射性是在取試样后5天离子交换器起動前測定的。
147	11.12.1958	15	7.4	0.4	×	2.1	$2 \cdot 10^{-7}$	这个試样的放射性在14.5.1959 測得。
156	2. 1.1959	18	6.7	0.6	約0.01	1.05	$1.1 \cdot 10^{-6}$	“ ”
162	16. 1.1959	10	7.1	1.0	約0.01	1.03	×	“ ”
170	23. 2.1959	15	6.8	1.6	0.03	0.97	$3.9 \cdot 10^{-6}$	“ ”
176	16. 3.1959	18	7.2	2.0	0.09	0.95	$1.7 \cdot 10^{-5}$	“ ”
189	20. 4.1959	21	×	2.4	0.08	×	$2.8 \cdot 10^{-5}$	这个試样的放射性在16.5.1959 測得。
192	11. 5.1959	20	6.8	3.4	0.07	0.80	×	

×—沒有測出。

4. 与反应堆物理和工程特性有关的某些測量結果

在这个簡短的报告里,当然不可能詳細叙述所有做过的实验。我們只是限于指出某些測量結果,其中包括:

1. 与反应堆控制和动力学有关的运行过程的測量。
2. 反应堆內温度分布的測量。
3. 反应堆活性区内热中子和快中子通量分布的測量以及中子和 γ 輻射能譜組成的研究。

4.1. 与反应堆控制和动力学有关的运行过程的測量

这些測量主要是指后备反应性及其变化。

1) 1959年4月15日(作者注)。

4.1.1. 控制棒刻度

BBP-C 型反应堆装了 25 根工艺管, 即 32 公斤 U^{235} 后达到临界. 为了造成必要的后备反应性, 又再装了 7 根管. 这样造成的后备反应性等于 $\delta_R = 5.4\%$. 在活性区空着的地方装进 19 个置换器后这个后备减少到 $\delta_R = 4.8\%$. 在这个状态下依据插入活性区的深度按单位反应性进行控制棒的刻度 (见图 9).

PP-1 和 PP-2 手动控制棒的总补偿能力为 6.4% , 而事故棒为 5.8% .

因为我们研究所的反应堆物理实验室要研究反应堆振荡器, 这迫使我们去增加测量反应堆内反应性变化的精确性, 所以把硼制的精密调节棒改为直径 7.7 毫米的铜棒. 在此之后精密调节棒的补偿能力从 1.39% 减到 0.112% .

在它特性线的直线部分, 反应性的“比重”为每移动 1 毫米变化 $3.2 \cdot 10^{-6}$. 因为精密调节棒的安装精度可以达到 ± 0.1 毫米, 所以达到的补偿精度等于 $\pm 3.2 \cdot 10^{-7}$, 与此相应的反应堆周期为 80 小时. 精密调节的补偿能力表在图 10 上.

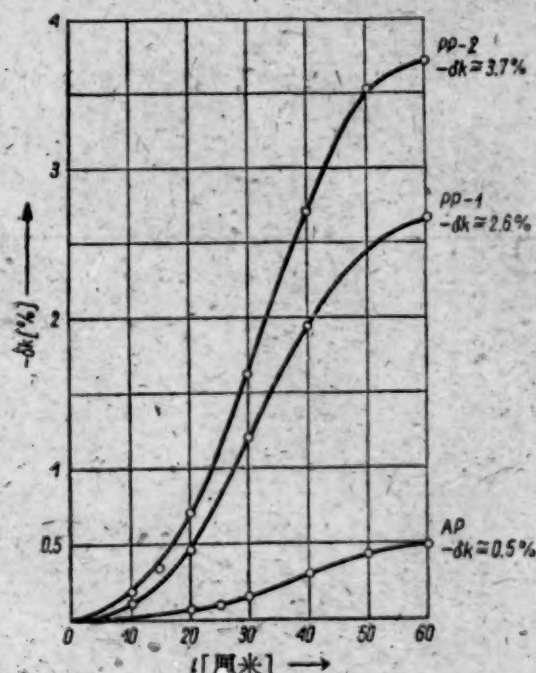


图 9 BBP-C 型反应堆内控制棒作为其插入深度函数的负反应性

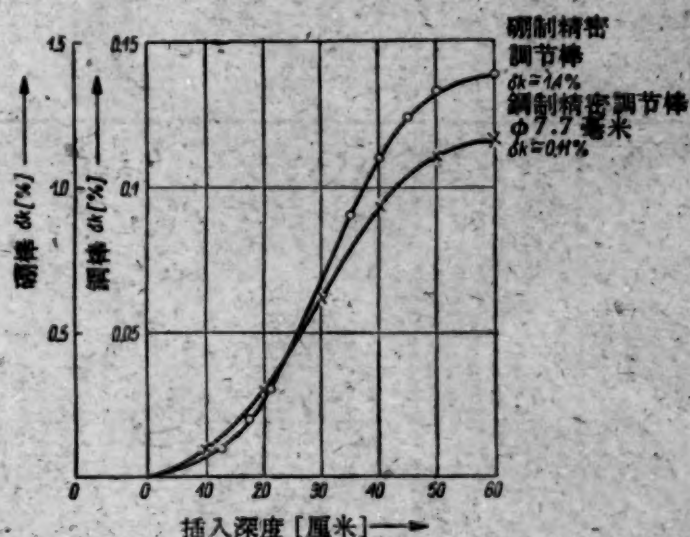


图 10 BBP-C 型反应堆精密调节棒的负反应性

4.1.2. 吸收器和热柱对反应性影响的测定

因为大量装卸操作要在运行着的反应堆中进行, 因此应该在对反应堆临界的关系上测定这种工作的安全与否. 重要的条件是: 这种操作引起的反应性变化要能够被自动控制棒在它特性线的直线部分范围内的移动所补偿.

测量是用镉柱体形式的吸收器进行的, 镉柱体直径为 37 毫米或 57 毫米、高 80 毫米、壁厚 0.5 毫米.

把 $\phi 37$ 的镉柱体放入生产放射性同位素的孔道中, 使反应性降低 $0.022\% - 0.036\%$.

把 $\phi 57$ 的柱体放入各个置换器中, 所引起的反应性降低为 $0.056\% - 0.082\%$.

把热柱从反应堆中抽出 50 厘米, 就使反应性降低大约 0.007% .

根据这些可以作出结论: 装卸操作, 甚至带很强的热中子吸收剂的操作, 也可以在运行着的反应堆中进行.

4.1.3. ^{135}Xe 中毒

对于反应堆在额定功率 2000 瓩下(以及在功率 1850 瓩下)长期运行后反应性随时间的变化作了研究。这个关系曲线(所谓“碘坑”)在图 11 上给出。

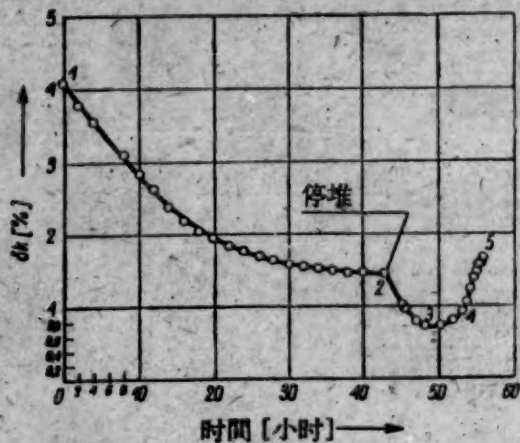


图 11 ^{135}Xe 中毒对 BBP-C 型反应堆剩汐反应性的影响。

1——反应堆在 1850 瓩下运行开始；2——反应堆在 1850 瓩下运行结束；3——“碘坑”的极小值(中毒的极大值)；4——反应堆在 2000 瓩下运行开始(毒物燃烧)；5——测量结束。

反应堆在功率 2000 瓩下运行 60 小时后，以单位反应性表示的碘坑“深度”为 0.8%。中毒引起的反应性随反应堆工作时间的降低等于 3.1%。与此同时反应性大约减少 3.9%。在反应堆重新起动和达到功率 2000 瓩后，毒物以 0.3%/小时的初速被“烧掉”(见图 11)。

4.1.4. 燃料和结渣的速度

燃料烧掉和结渣引起的反应性降低表在图 12 上。在燃料等于 2300 兆瓦-小时以后，后备反应性从 4.8% 降到 3.3%。此后再装进一个释热元件盒，这使后备反应性增加到 3.8%。

4.1.5. 反应性温度系数

对反应性总的温度系数随反应堆活性区水温的变化作了研究。测量是当反应堆处于低功率下在小于 37°C 的温度范围内进行的。

BBP-C 型反应堆的反应性温度系数在小于 15°C 的温度范围内是正的；当温度继续升高时它变为负值(见图 13)，并从 0 降到在 25°C 到 37°C 的范围内不变的数值 $-5 \cdot 10^{-3} 1/^{\circ}\text{C}$ 。

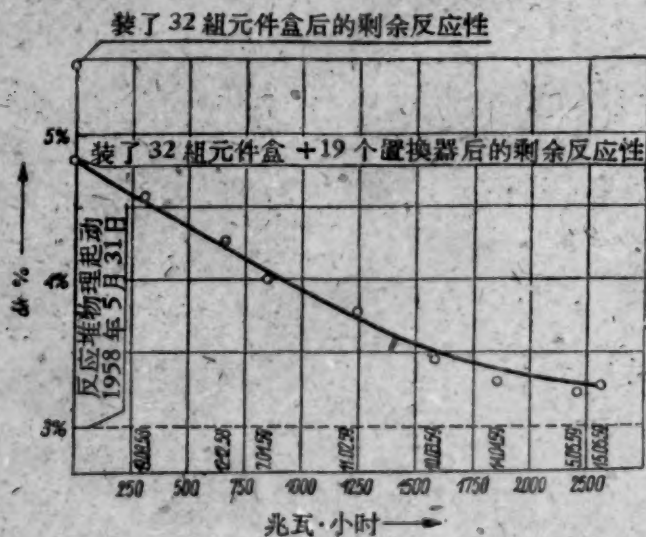


图 12 波兰 BBP-C 型反应堆的剩汐反应性与它工作的兆瓦-小时之间的关系曲线

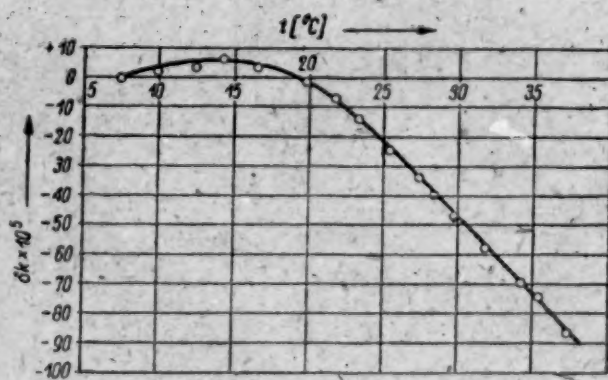


图 13 作为活性区温度函数的 BBP-C 型反应堆剩汐反应性的变化(测量是在反应堆恒定功率 270 瓦下进行的)

4.2. 反应堆内温度分布的测量

4.2.1. 装置的铸铁和混凝土防护层中的温度分布

还是在反应堆安装的时候，就在铸铁和混凝土防护层的不同地点插上了 47 个电阻温度

計。例如在鑄鉄防护层中,就在三个不同深度处放了 9 个溫度計。根据所作的測量可以确定:当反应堆在額定功率 2000 瓩下工作时,鑄鉄防护层的溫度不超过 30°C 。由此得出結論:冷却这个防护层想必是沒有必要的,甚至在加大反应堆功率的情况下也是如此。

4.2.2. 热柱孔道中的溫度

測量热柱孔道內的溫度时得到有趣的結果(測量是用特別制造的銅-康銅热电偶进行的)。它表明:甚至用閉合迴路冷却热柱和反应堆功率为 2000 瓩时,最靠近活性区的孔道的溫度也不超过 65°C 。这些数据尙待証实。

4.3. 反应堆活性区内热中子和快中子通量分布的測量,以及中子和 γ 輻射能譜組成的研究

热中子通量的絕對測量用放射性探测器按恆定角度法和 β - γ 符合法两种方法进行。快中子的分布根据鍍样品在反应堆內輻照作用下电导率的变化測定(見图 14)。

热柱水平孔道出口处的热区內的中子譜用简单的机械选择器測量;而在 4 号水平孔道出口处用中子晶体譜仪測量(見图 15 和图 16)。

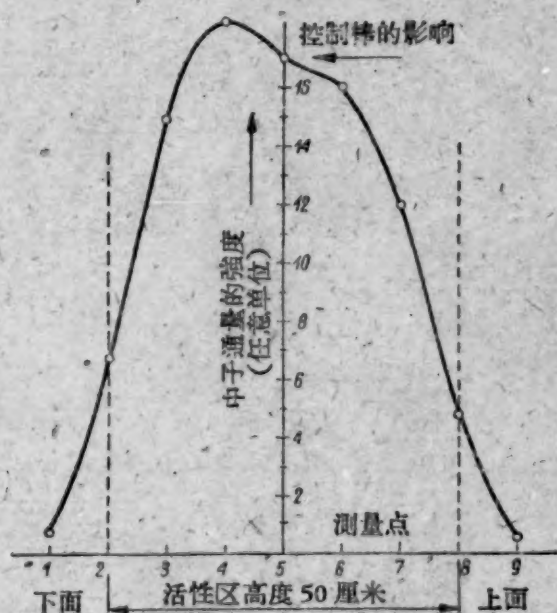


图 14 快中子($E > \sim 300$ 电子伏)通量沿 BBP-C 型反应堆活性区高度的分布(数据根据鍍样品在快中子作用下电阻率的变化取得)。

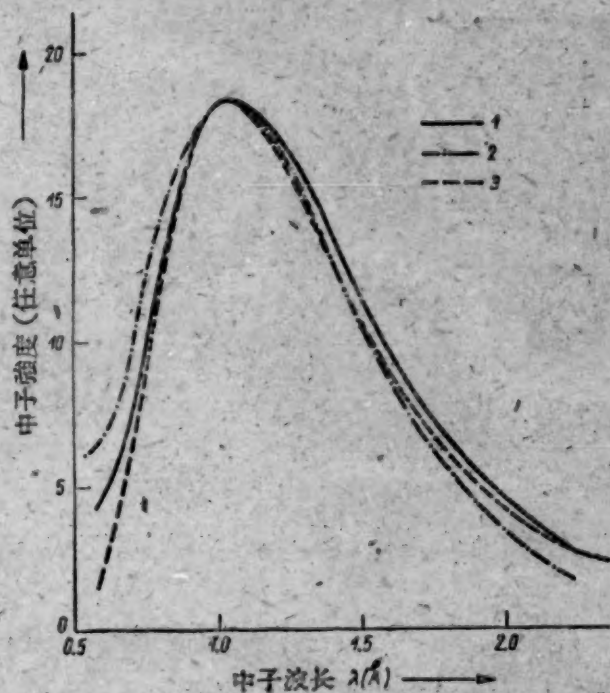


图 15 4 号水平实验孔道出口的中子譜(数据利用中子晶体譜仪取得)。

1——没有置換器时的热中子譜; 2——有了置換器后的热中子譜; 3—— $T = 350^{\circ}\text{K}$ 时的馬克斯威尔分布。錫比等于 13.2。

此外还利用閃爍譜仪研究了水平孔道出口的 γ 輻射譜。

这些測量是由四个单位完成的,它們是:原子核物理研究室 IA 和 IB、反应堆物理實驗室和反应堆运行研究室。

5. 对反应堆的总評論及其最近的运行意图

当反应堆物理起动实现时,装置有三个部分:热室、废水箱和埋葬物的場地沒有准备好。现在这些部件可以认为是准备好了,但是应该指出:还存在一系列附加的困难。

5.1. 废 水 箱

直属于我们反应堆的有两个废水箱，每个 300 米³。这两个地下水箱中有一个在建造过程

中遭到两次事故：一次是安装时在地下水压力下发生的，第二次是它的盖子被倒在它上面的泥土压坏。到现在为止这个水箱还没有动用。第二个水箱做得与第一个相类似，虽然它暂时还没有遭到事故，但根据第一个水箱不愉快的经验，不能认为它是十分可靠的。由此得出结论：埋藏液态放射性废物的问题我们还没有解决。但是暂时还没有必要把放射性水排掉，而反应堆主回路中的离子交换器很有效，它降低了释热元件复盖层破裂情况下的危险。

我们决定再建造一些地下水箱，数量多一些，但容积显著变小，即每个 30 米³。

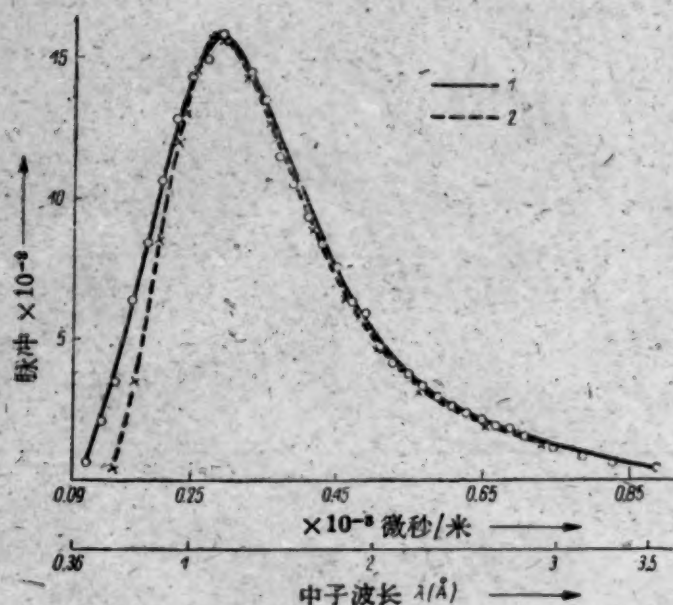


图 16 热柱孔道出口的中子谱
(数据利用机械选择器取得)

1——实验曲线；2—— $T = 295^{\circ}\text{K}$ 时的马克斯威尔分布。
比值等于 60。

手。此外，由于检查得不够，混凝土防护层强度不够，我们稍微作了一些修补，但是对于某些工作，特别是放射性不太高的工作来说，可以认为热室已准备好，我们打算开始以比直到现在的更大规模来制造放射性同位素。

5.2. 热 室

我们在热室方面的困难主要是设备的动作不太正常。这是指的卸料伸缩容器和机械

5.3. 最近时期反应堆的运行

我们的反应堆是根据月计划工作的。为了自己的试验而使用反应堆的所有人员必须在更早得多的时候提出自己的要求。这种运行的组织方式可以使运行人员提前准备各种操作方式，准备必要的设备等等。工作人员的数量是每班 10 个人(平均)。

从剂量测定的观点来看，我们觉得：反应堆运行得很正常和良好。

到现在为止还没有一次超剂量的情况。例如，工作人员得到的剂量都没有超过容许值的 0.1。

对大气沉降物、地下水和反应堆附近的植物的放射性的检查，以及最近的河流中水的检查，都已进行了两年。

反应堆工作一年来的情况表明：水和植物的放射性与反应堆还没有工作的时候比较，没有发生什么变化。

反应堆每周只有八班工作的主要原因是缺少工作人员。现在补充的新工作人员正在训练和实习。从 1959 年 9 月 1 日起，反应堆开始整天运行(星期日和星期一除外)。这使我们可以大得多的程度上满足我们实验者的要求¹⁾。

译自 Nukleonika, Nr 1—2, TOMV, 1960.

1) 从 1959 年 9 月 15 日起反应堆每周工作四整天(作者注：从 1959 年 12 月 15 日起)。

簡 報

(TBP) 重水反应堆的 γ 射綫譜

布 尔 哥 夫 (Н. А. Бургов) 達 尼 良 (Г. В. Данилян)
科 罗 尔 柯 夫 (И. Я. Корольков) 施 傑 尔 巴 (Ф. Штерба)

利用爱勒型磁 γ 譜仪^[1]测量了从 TBP^[2] 反应堆的径向孔道中飞出的 γ 射綫譜。图 1 图解所示是实验的几何布置。在反应堆活性区 1 中具有一个硬化中子譜的专门“凹区”。由于凹区的存在,在堆的能譜中有鈾棒 1a 所产生的几乎没有減弱的 γ 輻射。当仪器的分辨率为 1.25% (对于 $E_\gamma \geq 2$ 兆电子伏)时,把偶然符合本底除去后,所测得的反应堆的能譜列于图 2。考虑到仪器的效率和 γ 量子在中子滤片中的吸收情况后所得到的同样的能譜 (且表于相同的間隔 ΔH_0) 列于图 3。在纵坐标上表示 γ 譜綫的相对强度。对于譜綫上未被分辨开的部分, $\nu(E_i)$ 决定了每单位能量間隔內給定能量的 γ 量子的相对数目。

經過修改的譜綫結果以及对每条譜綫所作的注释都列于表內。第一行內給出在图 2 上所表示的譜綫編号,第二行給出 γ 綫的能量值 (在括号內的数字表示最后一位数的誤差)。第三行給出 γ 綫的相对强度。有括号的 γ 射綫能量和强度的数值測定得不够可靠。确定已分辨出来的譜綫相对强度的誤差約为 10%。

对于反应堆的結構元件,要考虑到宏观截面和每一俘获所給出的 γ 量子绝对产額之后,方可按照文献[3]所給数据而对个别譜綫加以注释。最后一行是发射出該譜綫的元素名称以及在文献[3]中所采用的譜綫編号。在当若干种元素能对 γ 譜綫有所贡献时,則这些元素的贡献以逆減的次序表明。在测量誤差范围内,45 条 γ 射綫中的 40 条可以认为是属于反应堆結構元件的。在第 33 条 γ 射綫的强度中,来自鉄元素的贡献不能超过 20%。文献[4]的作者观察到,在鋁譜中有带相近能量的相对强的 γ 射綫,这在文献[5]中未得以証实。按照文献[6]所給的数据,在 U^{238} 中子俘获 γ 射綫譜中,有着能量为 4.062 ± 0.010 兆电子伏、而绝对强度为 7% 的 γ 綫;而且这条譜綫尚未完全被分辨开来,作者仅指出了能量較小的 γ 綫的存在。

因此,能量为 4.050 和 3.987 兆电子伏的 γ 射綫可以认为是属于 U^{239} 的。对绝对强度的估計并不与这种假設相矛盾。

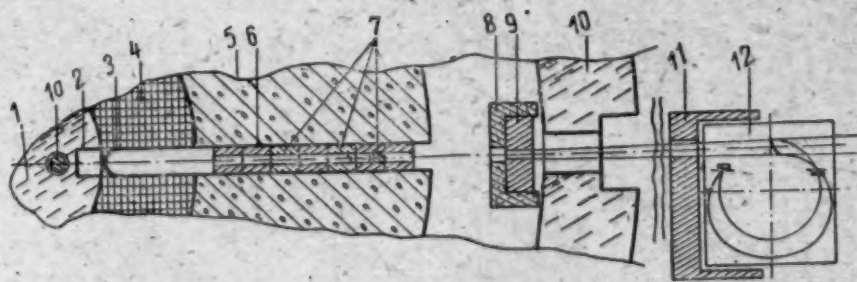
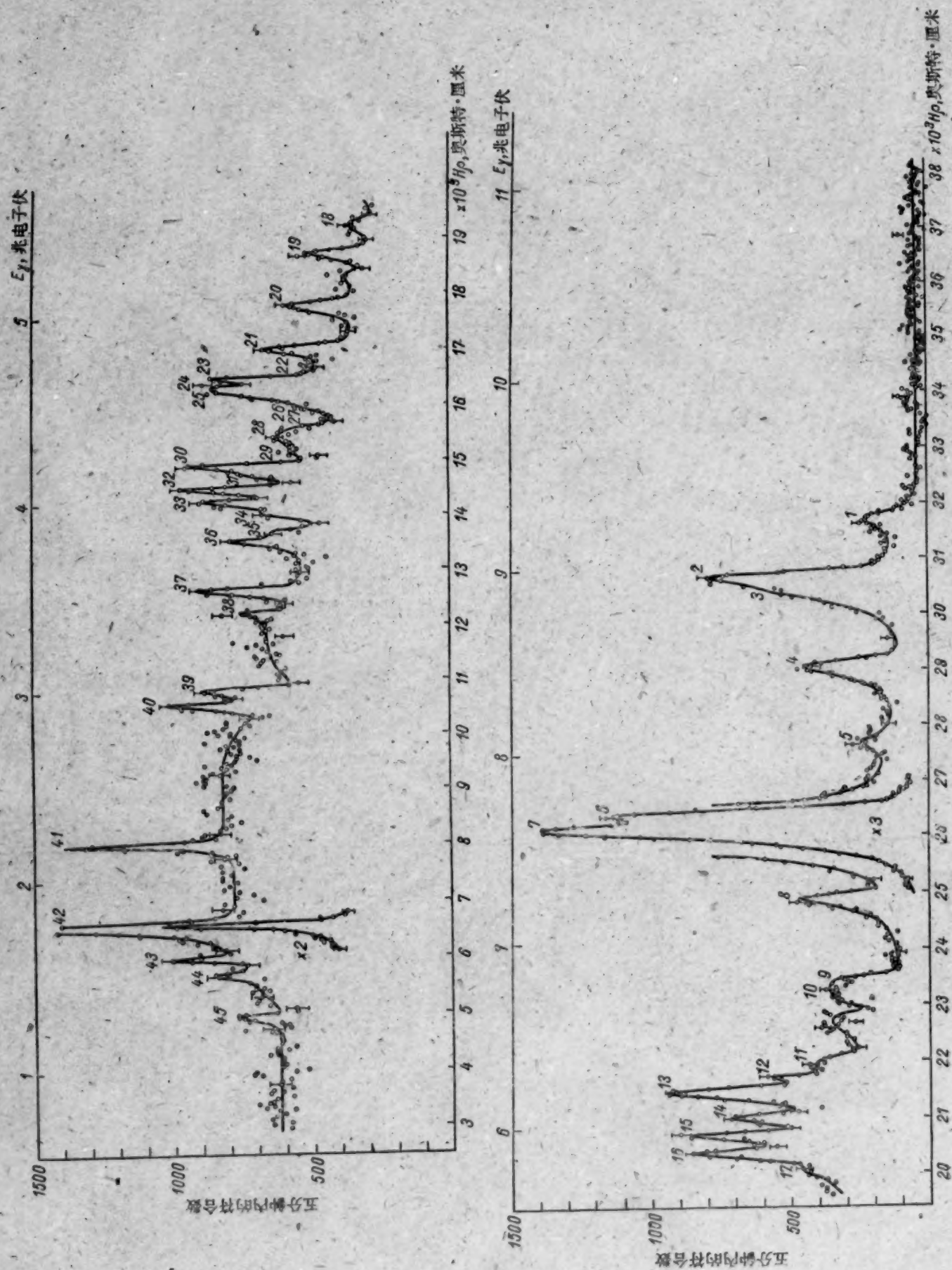


图 1 实验的几何布置

1——活性区; 1a——鈾棒; 2——“凹区”和反应堆的外壳(鋁); 3——不銹鋼管; 4——石墨反射层; 5——水泥防护层; 6——鉛准直器; 7——中子准直器和 B_4C 过滤片; 8——中子防护层; 9——鉛准直器; 10——水防护层; 11——鉛防护层; 12—— γ 譜仪。

图 2 TBP 反应堆的 γ 射线谱

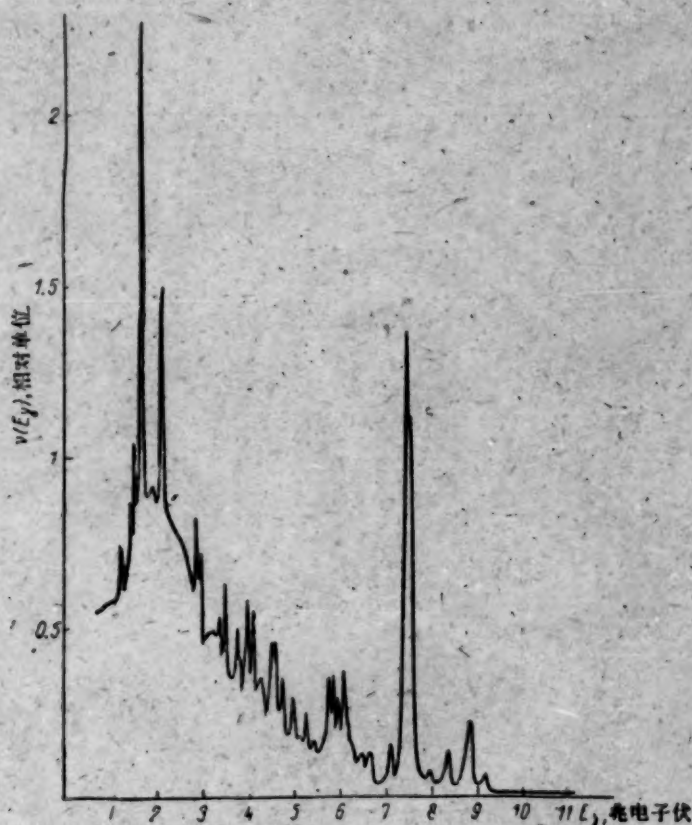


图3 修正后的 TBP 重水反应堆的 γ 射线谱

测量到的 TBP 重水反应堆的 γ 射线谱

反 应 堆 谱			注 释	反 应 堆 谱			注 释
编号	$E\gamma$ 兆电子伏	I 相对		编号	$E\gamma$ 兆电子伏	I 相对	
1	9.334(5)	1.0	Fe, 1	24	4.670(15)	(4)	Al, 10
2	9.012(3)	4.7	Ni, 1	25	4.640(15)	(3)	—
3	8.919(15)	(1.2)	Cr, 2; Fe, 2	26	(4.57)	(1)	—
4	8.533(3)	2.5	Cr, 3; Ni, 2	27	(4.46)	(3)	Al, 11
5	8.119(30)	(1)	Cr, 4; Ni, 3	28	(4.40)	(3)	Fe, 12
6	7.733(2)	28.0	Al, 1	29	4.325(15)	(2)	—
7	7.649(3)	22.6	Fe, 4	30	4.250(10)	(8)	Al, 12
8	7.275(5)	2.9	Fe, 5	31	4.202(15)	(3)	Fe, 13; Ni, 16
9	6.832(3)	1.9	Ni, 8	32	4.123(15)	(8)	Al, 13
10	6.760(30)	(1)	Al, 2	33	4.050(15)	(7)	U^{238} [4]; Fe, 14; Al(?)
11	6.404(30)	(1.7)	Fe, 6; Cr, 8	34	3.987(15)	(3)	U^{238} [4]
12	6.314(20)	(2)	Al, 3	35	3.887(14)	(5)	Al, 14
13	6.236(10)	5.4	$D(n, \gamma) T$	36	3.839(14)	(5)	Fe, 15; Al, 15 (?)
14	6.095(15)	3.6	Al, 4; Cr, 9; Ni, 11	37	3.573(7)	6.5	Al, 16; Fe, 17
15	5.997(15)	4.9	Fe, 7; Cr, 10; Ni, 12	38	3.447(17)	(4)	Al, 17; Fe, 18
16	5.904(15)	4.7	Fe, 8; Al, 5	39	3.029(6)	7.3	Al, 19; Cr, 17; Ni, 20
17	5.796(30)	(0.9)	Ni, 13	40	2.953(10)	8.3	Al, 20
18	5.557(20)	(0.9)	Cr, 11; Fe, 9	41	2.205(3)	17	$H(n, \gamma) D$
19	5.404(6)	2.8	Al, 6; Cr, 12	42	1.778(2)	43	$Al^{28} \beta, Si^{28}$
20	5.123(6)	3.4	Al, 7	43	1.594(10)	(10)	Fe, 27 (?)
21	4.868(6)	4.1	Al, 8; Cr, 14	44	1.503(20)	(4)	Fe, 28 (?)
22	4.788(30)	(1)	Fe, 11; Cr, 15	45	1.297(13)	(7)	Fe, 29 (?)
23	4.716(10)	6	Al, 9				

根据 (d, p) 反应的辐射所测定的最后一个中子在 U^{239} 内的结合能为 4.63 ± 0.15 兆电子伏, 这与第 25 条 γ 射线的能量数值 (4.640 ± 0.015 兆电子伏) 很相符. 若假定辐射体是 U^{239} , 则估计绝对强度的数值约是每次俘获 1%. 文献[6]中看不到这种谱线, 但这与文献[6]所给数据并不矛盾.

如在图 3 中所看到的, 反应堆的 γ 射线谱中有相当大的一部分未被分辨出来, 显然它们是由 U^{235} 和 U^{238} 中子俘获 γ 射线和裂变 γ 射线所引起的.

在单位能量间隔内 (1 兆电子伏) 未被分辨开的谱线的积分强度如下所述:

E_γ 兆电子伏	$S_\gamma(E_\gamma)dE_\gamma$ 相对单位
1—2	530
2—3	512
3—4	252
4—5	149
5—6	82
6—7	35
7—8	16
8—9	10
9—10	8
10—11	7

把得到的结果与文献[8]比较后可以知道, 总的看来, 未分辨开的 γ 射线谱当通过 ИРТ 反应堆的石墨反射层时, 由于多次康普顿散射而变软了.

最后, 作者借此机会向重水反应堆的工作人员表示感谢.

一 彭 译

参 考 文 献

- [1] Б. Джелепов, Н. Жуковский, Ю. Хольцов: Изв. АН СССР, серия физ., XVIII, 5 (1954).
- [2] А. И. Алиханов и др.: Материалы Международной конференции по мирному использованию атомной энергии (Женева, 1955), т. 2. М., Физматгиз, 1958, стр. 391; В. В. Гончаров, С. А. Гаврилов, Г. Н. Караваев: Тр. Второй международной конференции по мирному использованию атомной энергии (Женева, 1958). Докл. советских ученых. Т. 2—Ядерные реакторы и ядерная энергетика. М., Атомиздат, 1959, стр. 243.
- [3] Л. В. Грошев и др.: Атлас спектров γ -лучей радиационного захвата тепловых нейтронов. М., Атомиздат, 1958.
- [4] B. Kinsey, G. Bartholomew, W. Walker: Phys. Rev., 83, 519 (1951).
- [5] Л. В. Грошев и др.: Атомная энергия, III, № 9, 187 (1957).
- [6] P. Campion, J. Knowles, G. Bartholomew: Canad. J. Phys., 37, 377 (1959).
- [7] J. Harvey: Phys. Rev., 81, 353 (1951).
- [8] Л. В. Грошев, А. М., Демидов: Атомная энергия, 7, вып. 3, 257 (1959).

关于求出平面源的中子在无限介质内的空间能量分布问题

普契岑 (А. Р. Птицын)

文献[1]已研究出一种按已知的中子密度 $\psi(x, u)$ 和中子通量 $\varphi(x, u)$ 函数的空间矩 $\psi_n(u) = \int_{-\infty}^{\infty} x^n \psi(x, u) dx$ 和 $\varphi_n(u) = \int_{-\infty}^{\infty} x^n \varphi(x, u) dx$, 来求出 $\psi(x, u)$ 和 $\varphi(x, u)$ 的方法. 曾指

出:此題假如對於平面源有對稱性的話,那末

$$\left. \begin{aligned} \psi(x, u) &= \beta e^{-\beta|x|} \sum_n a_n(u) U_n(\beta|x|); \\ \varphi(x, u) &= \gamma(\gamma x) e^{-\gamma|x|} \sum_n b_n(u) V_n(\gamma|x|), \end{aligned} \right\} \quad (1)$$

式中

$$\left. \begin{aligned} a_n &= \sum_{\nu=0}^n \xi_{n\nu} \psi_{2\nu} \beta^{2\nu}, \quad \xi_{n\nu} = \frac{1}{2} \frac{(-1)^\nu}{(2\nu)!} C_{\nu}^n; \\ b_n &= \sum_{\nu=0}^n \eta_{n\nu} \varphi_{2\nu+1} \gamma^{2\nu+1}, \quad \eta_{n\nu} = \frac{1}{2} \frac{(-1)^\nu}{(2\nu+1)!} C_{\nu+1}^n; \end{aligned} \right\} \quad (2)$$

$U_n(x)$ 和 $V_n(x)$ 是按下列公式定義的多項式

$$\left. \begin{aligned} U_n(x) &= \frac{(-1)^n}{2^n n!} \left[\frac{\partial}{\partial x} - 1 \right]^{2n} \times \sum_{j=0}^n \frac{(n+j)!}{j!(n-j)! 2^j} x^{n-j}; \\ V_n(x) &= \frac{1}{2(n+1)} \left[\frac{\partial}{\partial x} - 1 \right]^2 U_n(x) \end{aligned} \right\} \quad (3)$$

并有共軛多項式

$$U_n^+(x) = \sum_{\nu=0}^n \xi_{n\nu} x^{2\nu}; \quad V_n^+(x) = \sum_{\nu=0}^n \eta_{n\nu} x^{2\nu+1} \quad (4)$$

這樣就有

$$\left. \begin{aligned} \int_{-\infty}^{\infty} e^{-|x|} U_n(x) U_{n'}^+(x) dx &= \delta_{nn'}; \\ \int_{-\infty}^{\infty} x e^{-|x|} V_n(x) V_{n'}^+(x) dx &= \delta_{nn'}. \end{aligned} \right\} \quad (5)$$

由於實際上能夠求出有限個數的矩,所以當公式(1)中的級數包括有限的項數時,就只能限於求近似值。在這種情形下,如果所用的 β , γ 和 u 無關的話,對所有能量變數 u 就無法保證給定的精確度(在給定的距離 x_0 下)。本文提出了一種可能求出 $\beta(u)$ 和 $\gamma(u)$ 的方法。

因為 $\psi(x, u)$ 是 x 的偶函數,而 $\varphi(x, u)$ 是 x 的奇函數,所以, $\psi(x)$ 將具有除零外的偶數矩,而 $\varphi(x)$ 具有除零外的奇數矩。

假設,我們已知 $\psi(x, u)$ 函數的 $N+1$ 個偶數矩,那末借助於級數(1)的第 $N+1$ 項就可寫出 $\psi(x, u)$ 的 $N+1$ 級近似

$$\psi^{(N+1)}(x, u) = \beta e^{-\beta|x|} \sum_{n=0}^N a_n(u) U_n(\beta|x|). \quad (6)$$

根據空間矩的定義,對於任意的 β 值, $\psi^{(N+1)}(x, u)$ 的 $N+1$ 個偶數矩與未知函數 $\psi(x, u)$ 的相應矩是一致的。

現在我們要求 N 級近似函數

$$\psi^{(N)}(x, u) = \beta e^{-\beta|x|} \sum_{n=0}^{N-1} a_n(u) U_n(\beta|x|) \quad (7)$$

能給出正確的 $N+1$ 級(偶數矩)矩的值,即要求

$$\psi_{2N}^{(N)}(\beta) = \psi_{2N}(u), \quad (8)$$

由該方程就可得到求 $\beta(u)$ 的方程。現在我們把它寫成明顯的形式。方程(7)乘以

$$(\beta x)^{2N} = \sum_{p=0}^N q_{Np} U_p^+(\beta x),$$

考虑到公式(5)并对全部空间积分,以及根据表达式(8)把 $\psi_{2N}^{(N)}$ 和准确值 $\psi_{2N}(u)$ 等起来,我们就得到

$$\beta^{2N} \psi_{2N} = \int_{-\infty}^{\infty} e^{-\beta|x|} \left(\sum_{n=0}^{N-1} a_n U_n(\beta|x|) \right) \times \left(\sum_{p=0}^N q_{Np} U_p^+(\beta x) \right) = \sum_{n=0}^{N-1} a_n q_{Nn}.$$

把方程(2)的 a_n 值代入,我们就求出 $\beta^2(u)$ 的 N 阶方程

$$\psi_{2N}(u) (\beta^2)^N \sum_{v=0}^{N-1} A_v(u) (\beta^2)^v, \quad (9)$$

式中

$$A_v(u) = \psi_{2N}(u) \sum_{n=v}^{N-1} q_{nv} \xi_{nv}.$$

由这方程 N 个根中,选择了我们需要的有效的正根 β_0^2 , 将根 $\beta_0(u)$ 代入解(6):

$$\psi^{(N+1)}(x, u) = \beta_0(u) e^{-\beta_0(u)|x|} \times \sum_{n=0}^N a_n(u) U_n[\beta_0(u)|x|]. \quad (10)$$

对于决定中子通量 $\varphi(x, u)$ 的 $\gamma^2(u)$, 和公式(9)相同,可得到下列 N 阶方程

$$\varphi_{2N+1}(u) (\gamma^2)^N = \sum_{v=0}^{N-1} B_v(u) (\gamma^2)^v, \quad (11)$$

式中

$$B_v(u) = \varphi_{2v+1}(u) \sum_{n=v}^{N-1} \rho_{Nn} \eta_{Nv},$$

而 ρ_{Nn} ——是 x^{2N+1} 按多项式 $V_n^+(x)$ 的展开系数:

$$x^{2N+1} = \sum_{n=0}^N \rho_{Nn} V_n^+(x).$$

其中,当知道中子密度 $\psi(x, u)$ 的四个空间矩 ($N+1=4$) 的时候,方程(9)就变成

$$\psi_0(u) (\beta^2)^3 - 45 \psi_4(u) (\beta^2)^2 + 540 \psi_2(u) \beta^2 - 720 \psi_0(u) = 0. \quad (12)$$

作为这个方法运用的例子,我们根据四个矩求得了氡中中子的密度分布,假设自由程长度是常数 ($\lambda = 1$), 这样,我们就可将所得出的解同对能量变数值 $u = 10$ 的维克的精确解^[2]作比较.

$$\psi(x, u) = \beta_0(u) e^{-\beta_0(u)|x|} \sum_{n=0}^3 a_n(u) U_n[\beta_0(u)|x|] \quad (13)$$

我们从文献[3]取出 $u = 0$ 和 $u = 10$ 的矩的值

$$\left. \begin{aligned} \psi_0(0) &= 1, \quad \psi_2(0) = 2!, \quad \psi_4(0) = 4!, \quad \psi_6(0) = 6!, \\ \psi_0(10) &= 1, \quad \frac{1}{2!} \psi_2(10) = 10.667, \\ \frac{1}{4!} \psi_4(10) &= 65.578, \quad \frac{1}{6!} \psi_6(10) = 278.44. \end{aligned} \right\} \quad (14)$$

如果 $u = 0$, 那末 $\beta_0(0) = 1$, $a_0(0) = \frac{1}{2}$, $a_1 = a_2 = a_3 = 0$, $\psi(x, 0) = \frac{1}{2} e^{-|x|}$. 显而易见

此即动力学方程的精确解. 如果 $u = 10$, 那末对于 $\beta_0(10)$ 和 $a_n(10)$ 由公式(2)和(12)得到: $\beta_0(10) = 0.351$, $a_0 = 0.5$, $a_1 = -0.158$, $a_2 = -0.318$, $a_3 = -0.241$. 将这些值代入公式(13), 就可求得 $\psi(x, 10)$. 所得到的结果和维克解的比较, 列于下表

中子空間分布函數值

x	$-\lg \varphi(x)$	
	公式(13)的	文献[2]的
0	1.10	1.05
1	1.08	1.06
2	1.10	1.09
4	1.21	1.24
5	1.31	1.34
10	2.11	2.10
15	3.03	3.07
20	4.32	4.25

由上可見,用四个矩近似計算 $\psi(x,u)$, 可以算到 20 个自由程。

参 考 文 献

- [1] L. Spencer, U. Fano: *J. Res. Nat. Bur. Standards*, 46, 446 (1951).
 [2] G. Wick: *Phys. Rev.*, 75, 738 (1949).
 [3] А. Р. Птицын: Сб. «Нейтронная физика». М., Атомиздат, 1960 (в печати).

簡單的多道脉冲振幅分析器

米哈依洛夫 (В. Ф. Михайлов)

在研究放射性样品的輻射譜方面的許多工作中,应用脉冲分析器的可能性是十分大的,但由于在实验条件下制造分析器很麻煩而未能充分地加以利用。但是,为了解决許多仅限于研究弱放射性样品的問題时,分析器的綫路能够大大地簡化,而且可以做得相当稳定。

下面所描述的装置(在綫路中装有自动記錄的电位計)給出了良好的結果。

图 1 所示是脉冲整形的綫路方块图,这种脉冲的振幅正比于进入輸入端的脉冲所具有的振幅,而进入輸入端的脉冲的宽度是給定的,它等于記錄装置的两个反复之間的时间間隔。为了使分析器工作,利用 ЭПП-09 型电位計是方便的。它装有記錄用的蘸墨水笔尖和标有毫伏的标尺。

来自放大器輸出端的短脉冲被二极管甄別器 \mathcal{J}_1 所截断,而进入到第一个阴极跟随器 \mathcal{J}_2 的控制栅极。这一跟随器輸出端輸出的脉冲振幅和原来的成正比,但是具有較长的后沿,后沿与時間常数 R_1C_1 有关。第二个阴极跟随器 \mathcal{J}_3 通过二极管 6X2П (\mathcal{J}_4) 向“存貯”电容器 C_2 充电到振幅的数值。通过装在电子管 6Ж1П 上的阴极跟随器而把綫路的輸出端連接起来,在电子管 6Ж1П 工作时沿着它的控制栅实际上是没有电流的。由于这个原因,在电容器 C_2 上的电荷不发生改变,至少在电位計記錄机构一次反复所必須的时间內(12 秒以內)是不改变的。

来自 \mathcal{J}_3 阴极的脉冲使电子管 \mathcal{J}_5 触发,而迫使閉鎖輸入端的极化继电器开始工作,此继电器使綫路的輸入端接地。当記錄装置动作时,与該装置的电磁鉄平行相連的继电器 P-2 就向存貯电容器充电,并把继电器 P-1 的电枢擲到最初位置。

电位器 R_2 使二极管 \mathcal{J}_4 上产生某些負偏压,此負偏压是防止存貯电容器 C_2 由于电子管加

热的交流电的噪声而造成的充电所必需的。

电位器 R_3 用来把电位计上的墨水笔头置于零点。记录器的纸带按照具体问题的需要而任意的放置在孔道中。墨水笔头向右面的偏移正比于输入脉冲的振幅。

本装置在输入达 100 伏范围内具有线性的振幅特性。标准脉冲的涨落不超过 2 毫米。分析器的线路在长期测量过程中十分稳定；在几昼夜的时间内零点线实际上保持在原来的位置。

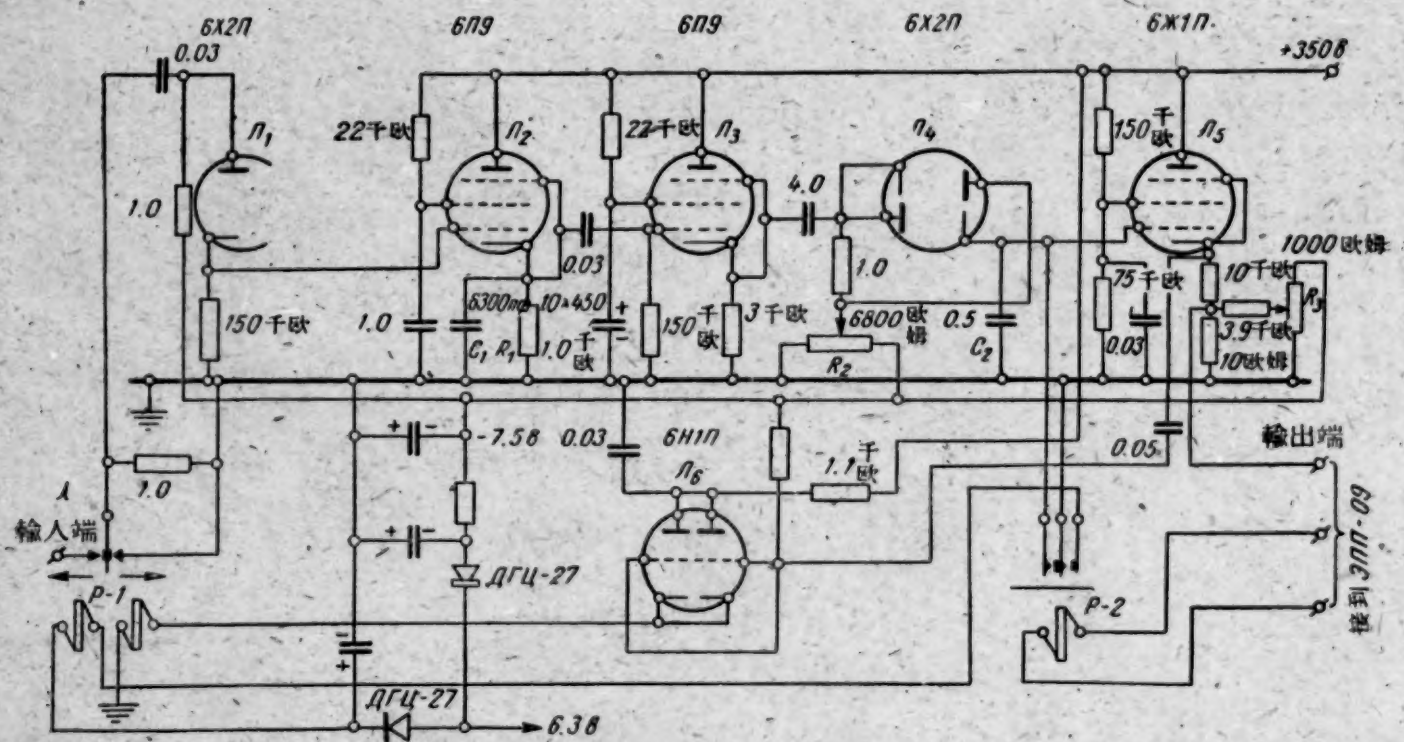


图1 脉冲整形方块原理图

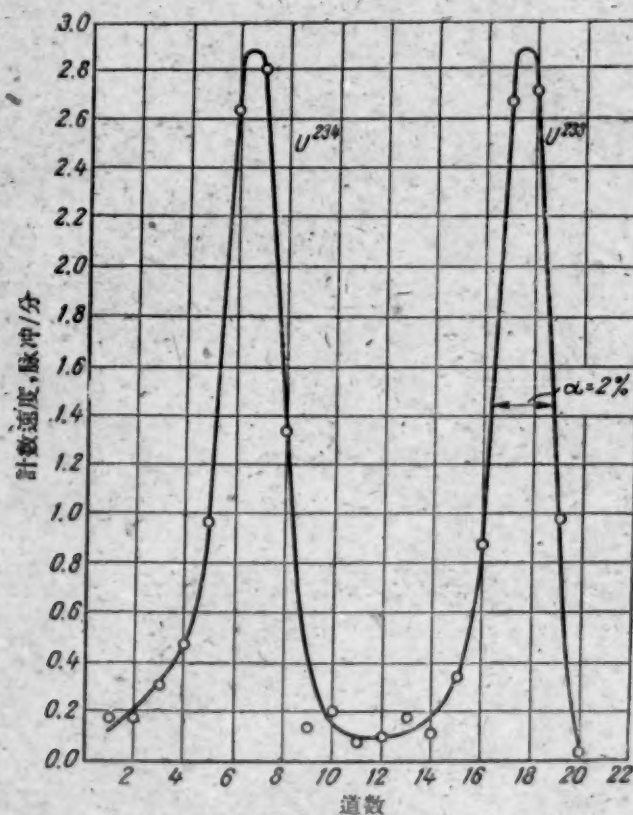


图2 铀同位素 α 粒子脉冲的能量分布曲线图

某些解释上的困难(用力计算孔道上的点子)由于存貯装置工作的稳定性和得到结果的明显性等优点而得到弥补。在图2上列出脉冲按孔道(振幅)的分布曲线图,这是按照脉冲电离室得到的鈾同位素(U^{234} 和 U^{238})的 α 粒子脉冲记录结果而构成的。

作者对哥列斯尼果夫(Е. М. Колесников)帮助制造线路表示衷心的感谢。

$Al_2O_3-Sm_2O_3$ 和 $Al_2O_3-Gd_2O_3$ 系的研究

特列斯瓦茨基(С. Г. Тресвятский) 庫沙科夫斯基(В. И. Кушаковский)

別列万采夫(В. С. Белеванцев)

$Al_2O_3-Sm_2O_3$ 和 $Al_2O_3-Gd_2O_3$ 系已初步研究过。如在文献[1,2]中表明,在这些系中組成 $SmAlO_3$ 及 $GdAlO_3$ 化合物,它們具有鈣鈦矿石式的組織。在文献[3]中列出了上述系統大概的熔融相图,测定了它們所形成的化合物的熔点,并給出了在 $1700-1820^\circ C$ 范围内固相綫及液相綫温度的实验数据。可是在 $1820-2300^\circ C$ 范围内固相綫及液相綫的温度曲线在文献[3]中是假設的,并在图上用虛綫表示,而在 Gd_2O_3 及 $GdAlO_3$ 間的共晶熔点及其成份甚至未作出預先估計。

作者們根据文献[4,5]中的方法,通过高温热分析确定了在 $1700-2350^\circ C$ 范围内 $Al_2O_3-Sm_2O_3$ 及 $Al_2O_3-Gd_2O_3$ 系統中的固相綫及液相綫的温度。采用了有刻度的鎢-鉬热电偶。加热与冷却曲线用电子电位計记录下来。这样可以形成該系的准确度及可靠性比文献[3]中較高的状态图。

使用的原材料是含 99.5% (按重量計)以上的主要組份(主要的杂质是其他稀土元素的氧化物)的 Sm_2O_3 及 Gd_2O_3 ,还有 ЧДА 牌号的 Al_2O_3 。

化学分析表明,在合金中热分析后, Al_2O_3 的含量比在相应的炉料中的含量少一些。这个差别是随炉料中 Al_2O_3 含量的增加而增长。可是在富 Al_2O_3 区并未超过 2—3 克分子%,因此,在确定液相綫及固相綫的温度时,未引入 Al_2O_3 的蒸发修正(由于它們很少)。

通过热分析后得知:在 $Al_2O_3-Sm_2O_3$ 系(图1)中, Al_2O_3 方面共晶体的熔点为 $1770 \pm 20^\circ C$,在 $Al_2O_3-Gd_2O_3$ 系(图2)中为 $1760 \pm 20^\circ C$ 。在 $Al_2O_3-Sm_2O_3$ 系中,稀土氧化物方面

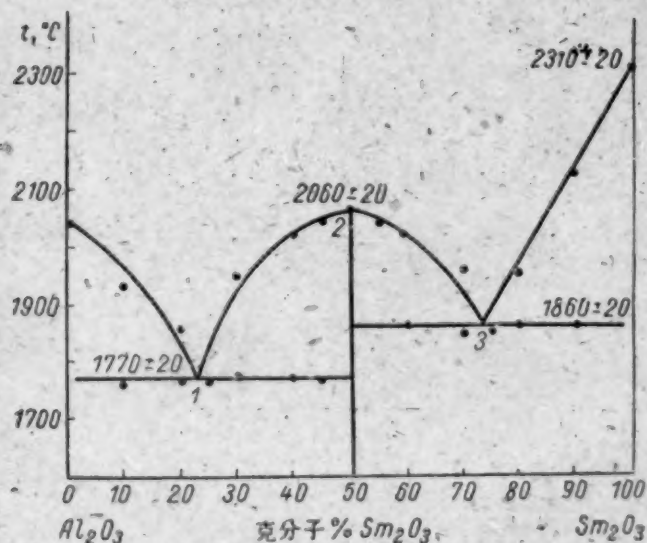


图1 $Al_2O_3-Sm_2O_3$ 系的固相綫及液相綫

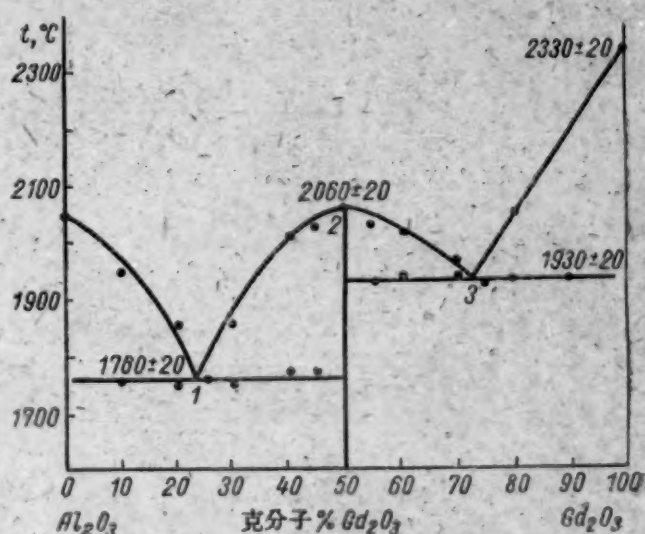


图2 $Al_2O_3-Gd_2O_3$ 系的固相綫及液相綫

共晶体的熔点为 $1860 \pm 20^\circ\text{C}$, 在 $\text{Al}_2\text{O}_3\text{—Gd}_2\text{O}_3$ 系中为 $1930 \pm 20^\circ\text{C}$. 化合物 SmAlO_3 及 GdAlO_3 . 在不分解的条件下熔化时, 实际上它们的熔点相同, 等于 $2060 \pm 20^\circ\text{C}$.

在 $\text{Al}_2\text{O}_3\text{—Sm}_2\text{O}_3$ 及 $\text{Al}_2\text{O}_3\text{—Gd}_2\text{O}_3$ 系中温度为 1700°C 及高于该温度时的不变点.

在图1 及图2 上的点	相	反 应	文 献 [3] 的 数 据			本 文 的 数 据		
			温 度, ℃	成份,克分子%		温 度, ℃	成份,克分子%	
				Al ₂ O ₃	R ₂ O ₃		Al ₂ O ₃	R ₂ O ₃
Al ₂ O ₃ —Sm ₂ O ₃ 系								
1	Al ₂ O ₃ + SmAlO ₃	共 晶	1720±20	80	20	1770±20	77	23
2	SmAlO ₃	异成分熔化	1920±20	50	50	2060±20	50	50
3	Sm ₂ O ₃ + SmAlO ₃	共 晶	1860±40	73	27	1860±20	73	27
Al ₂ O ₃ —Gd ₂ O ₃ 系								
1	Al ₂ O ₃ + GdAlO ₃	共 晶	1740±20	80	20	1760±20	77	23
2	GdAlO ₃	异成分熔化	1980±40	50	50	2060±20	50	50
3	Gd ₂ O ₃ + GdAlO ₃	共 晶	无 数 据	无数据	无数据	1930±20	73	27

热分析后, 对于在反光下合金的显微组织的研究表明: 在含 0—20 克分子% 稀土氧化物的合金中, 首先结晶出 Al_2O_3 ; 在含 25—70 克分子% 的合金中分别结晶出 Sm_2O_3 或者 GdAlO_3 , 而在含 75—100 克分子% 的合金中结晶出 Sm_2O_3 或者 Gd_2O_3 .

根据合金显微组织的研究, 可以认为: 它们的共晶体是存在于含稀土氧化物为 20 及 25 克分子% 的成分之间(低熔点共晶)及在 70 及 75 克分子%(高熔点共晶)之间.

对 $1700\text{—}1950^\circ\text{C}$ 淬火试样的显微组织研究后表明, 在试样含稀土氧化物大于 1 克分子% 时, 同在试样中含稀土氧化物少于 99 克分子% 时一样, 存在有两个相. 这说明在 $\text{Al}_2\text{O}_3\text{—Sm}_2\text{O}_3$ 及 $\text{Al}_2\text{O}_3\text{—Gd}_2\text{O}_3$ 系统中固态氧化物没有显著的溶解度.

在表中举出了与文献[3]相比较的在 $\text{Al}_2\text{O}_3\text{—Sm}_2\text{O}_3$ 及 $\text{Al}_2\text{O}_3\text{—Gd}_2\text{O}_3$ 系统中的不变点. 由表可见, 在 $\text{Al}_2\text{O}_3\text{—Sm}_2\text{O}_3$ 系统中, 我们得出的数据在 1、2 及 3 点上与文献[3]按成份来说是相符的, 但是对 1 及 2 点而言, 在熔点上有差别. 在这些点上我们所求出的温度相应地高于 50 及 140°C . 在 $\text{Al}_2\text{O}_3\text{—Gd}_2\text{O}_3$ 系统中发现在 2 点上熔点有区别. 我们所求出的数值大致比文献[3]中的高 80°C . 对 3 点而言, 在文献[3]中既未举出成份的数据, 也未举出温度的数据. 无论对 $\text{Al}_2\text{O}_3\text{—Gd}_2\text{O}_3$ 系统 1 点的成份或温度而言, 我们的数据与文献[3]中举出的数据都是相符的.

参 考 文 献

- [1] M. Keith, R. Roy: *Amer. Mineralogist*, **39**, No. 1, 1 (1954).
- [2] C. Curtis, J. Johnson: *J. Amer. Ceram. Soc.*, **40**, No. 1, 15 (1957).
- [3] F. Aldred, A. White: *Trans. Brit. Ceram. Soc.*, **58**, No. 4, 199 (1959).
- [4] П. П. Будников, С. Г. Тресвятский: *Огнеупоры*, № 4, 167 (1955).
- [5] С. Г. Тресвятский, В. И. Кушаковский, В. С. Белеванцев: *Огнеупоры*, № 4, 180 (1960).

科技新聞

在苏联国民經济中应用放射性同位素 和核輻射的全苏會議

1960年4月12日至16日，在里加（拉脫維亞蘇維埃社会主义共和国首都）召开了苏联国民經济中应用放射性同位素和核輻射的全苏會議。此次會議是由以下单位召开的：苏联部长會議国家科学技术委员会，苏联部长會議国家原子能利用委员会，苏联科学院，苏联部长會議国家自动化和机器制造委员会和拉脫維亞蘇維埃社会主义共和国部长會議。

拉脫維亞蘇維埃社会主义共和国部长會議主席佩維（Я. В. Пейве）宣布开会。

出席會議的有700多个代表，其中有苏联部长會議和各加盟共和国部长會議的代表，还有各国家計劃委员会，各国家委员会，各国民經济委员会，各地工厂和企业以及各科学研究所的代表。

在會議上共听取了167个报告和报导。會議共分为以下几个組：矿物的开采和加工，冶金，采矿工业和选矿工业，建筑和建筑材料工业，輕工业，机器制造工业，輻射化学，化学工业和石油工业，农业，食品工业，医学等組和使用放射源的仪表組。

举行了两次全体會議。在會議上曾听取了以下几个报告：关于在国民經济中应用放射法的現况和发展远景的报告[苏联部长會議国家原子能利用委员会，薩維茨基（П. С. Савицкий）]；关于在拉脫維亞国民經济委员会的各种企业中应用放射性同位素經驗的报告[拉脫維亞国民經济委员会，加依列（Г. И. Гайле）]；关于在工业上应用放射性同位素的經济问题的报告[苏联科学院經济研究所，米海耶夫（Г. Ф. Михеев）]；关于在个别工业部門生产流程自动化方面应用放射源仪表的远景问题的报告（苏联部长會議国家自动化和机器制造委员会，索柯洛夫（В. С. Соколов）]；关于在苏联和国外的工业上

应用輻射化学的远景问题的报告[卡尔保夫物理化学科学研究所，卡尔保夫（В. Л. Карпов）]；关于使用电离輻射时加强劳动保护的情况和措施的报告[苏联保健部，莫依赛依采夫（П. И. Моисейцев）]；关于应用放射性同位素时所用的新型工业检测装置的报告（苏联部长會議国家原子能利用委员会，馬米柯年，日尔諾夫）；以及关于供应同位素和防护技术制度的报导[全苏“同位素”检查局，柯洛美托夫（И. И. Коломытов）]。

里加會議是第一次最大的會議，通过这次會議在国民經济中应用放射性同位素和核輻射方面交流了經驗。决定了會議参加者的成員，参加會議的主要是各工厂和各国民經济区的代表。在會議上还听取了各科学研究所和工厂實驗室的工作人员所作的关于过去和将来在工业上应用放射性同位素的工作报告。

在會議进行过程中，与会者了解了关于在里加各企业中使用放射性法的情况。

會議決議中，規定了在工业上进一步扩大应用放射性同位素和核輻射的具体措施。特別注意了：改进科研工作 and 国民經济上应用放射性同位素及核輻射方面工作的配合，加强检查产品质量和生产过程自动化的高生产工具的科学研究工作，扩大科技干部的培养以满足工业上应用同位素和射綫以及使用其相应設備方面的研究工作和工程設計工作的需要。

在以下个别报导中，报导了各組討論的一些問題。

會議文献于1960年出版。

放射性同位素和核輻射在探矿和采矿中的应用

这次會議在实际应用新的有成效的找矿和探矿方法的經驗交流方面，进行了大量有益的工作，同时还听取了各科学研究所代表所介绍的关于新的研究

成果的广泛情报。

会上所听取的报告証明，由于原子核物理、原子能工业和测量技术的发展，出现了新的利用放射性

同位素和核辐射的地球物理找矿、探矿和采矿方法，并经常在实际中加以应用。1959年，仅在石油矿和煤矿上应用放射性测井方法所得的经济效果即达六亿卢布左右。

在勘探石油和气体矿床时，利用 γ 测井和中子 γ 测井方法来进行钻孔剖面的岩石分层和对比。这些方法和其它放射性方法一样，比起电测井方法来，它们的优越性是有可能研究下有钢管的钻孔。

中子 γ 测井、中子中子测井和感应放射性方法，在良好的条件下，可以在石油矿的开采过程中，观测水油接触带的位置。此外，还表明有可能用感应放射性方法检查层间水的动态。

在苏联国民经济委员会和全苏地球物理研究所伏尔加-乌拉尔分所代表的报告中提到，中子方法正在逐渐成为全国最大的罗马什金石油矿开采工作的主要检查方法。1959年用中子方法研究了229个钻孔。

当钻孔灌注水泥时，用 γ 测井和 γ - γ 测井法来检查柱外水泥的分布情况。

在勘探和开采石油和气体矿床时，放射性同位素被用来测定套管的断裂处、下有套管的钻井的水源点、管外循环带、钻井过程中的液体吸收带，以及用来检查断水层。上面提到的大部分工作，用其它地球物理方法实际上是无法解决的；而其余一些工作，则用放射性方法来解决更为可靠、精确，并且省钱。

在煤矿上，如果综合利用 γ - γ 测井和电测井，可以精确地测定煤层的深度、厚度和构造。

在煤矿上，如在综合测井法之外再加上 γ - γ 测井法，就可以保证在各种地质条件下，可靠地查明各种变质程度的煤层。由于上述原因，测井的效率大大提高，这就使利用这种方法所得的数据来计算煤的储量合法化，并提供了大大提高勘探工作经济效应和工作质量的可能性。

在确定钻井剖面的含硼带时， γ - γ 测井法能提供完全可靠的结果，这就使岩心取样的时间大为缩短。这种方法能从水中鉴定出异常，并可初步估计硬硼石膏的含量，其范围为0.1—10.0%。

光中子测井法成功地用来勘探铀矿。这种方法可以在钻孔的剖面上分出矿带，估计铀的定量含量达0.01%。

应该指出，用光中子测井法来计算铀储量是一篇令人极感兴趣的报告。

已经制成了一批测定样品中硼和铀含量的装置，并且正在应用，这就有可能对测井的数据进行检

查，并且减少化学分析的工作量。

γ - γ 选择测井法已经经过试验，正被用来划分比较重的元素（Fe, Pb, W, Hg等）的矿带，其精确度为0.2%。利用这种方法，可以找到各种标准品位铅的清晰的异常。已经证明对于隕鉄矿来说， γ - γ 选择测井法所得的数据与取样结果极为相似。

在铝土矿、锰矿和铜矿产地的生产检查以及采用中子测井法和放射性测井法方面，已经取得了良好的成绩。

示踪原子法在石油矿上得到了应用。特别是，氙被用来检查水在层间的运动，以及测定各个层间的流体动力学关系。

在卡拉布拉克-阿契库拉克（Карабулак-Ачикулак）石油矿上，因为利用了氙，才有可能确定两个相互隔绝的很厚的石油矿层之间的流体动力学关系，这对于确定整个矿床的开采方法具有很大的意义。

关于测定天然氙的方法和装置问题的报告也是很有意义的。天然氙测量的高度灵敏性，就造成了不但可以广泛使用这种已经研究出的方法来解决水文地质和水文工程问题，而且可以用这种方法来研究各种地球物理介质（大气中空气的运动和大洋中海水的运动等）。

利用放射性同位素和核辐射的可能性绝不仅仅限于目前已知的几种方法。例如1959年在试验脉冲中子法和多孔中子发生器时，就取得了令人满意的结果。采用中子发生器就有可能加大能够利用探井辐射法的深度，保证在采矿过程中（包括在淡化层间水时）可靠地控制水-石油接触带和气体-液体接触带的移动，并大大扩大在探矿和采矿中使用中子方法的可能性。

系统的科学研究表明，通过对 γ 射线进行能谱测定，可以大大提高放射性测井法在研究岩石和矿石元素成份时的效果。已经拟定了一种新的（伦琴辐射法）物质元素成份的快速分析法。

为了快速分析硼、锂、镭和某些其它元素，制造了一种高效率的中子测量装置（“中子”型装置）。

但是会议也指出，虽然在利用同位素和核辐射探矿方面有了成功的经验，可是辐射方法远没有被充分地利用起来。在石油矿和天然气产地所采用的辐射方法，只成功地解决有限的几个问题。还没有拟定出可靠地测定孔隙度和石油饱和度的方法。在勘探金属矿床和非金属矿床时，已被肯定是有有效的辐射方法，还采用得非常不够。

在一部分使用电测井方法效果不够显著的煤矿上，迄今在综合测井法研究中，还没有包括 γ - γ 测井

法。在綜合地球物理研究方法內包括了輻射方法之后,对它的經濟效果的分析工作进行得很差。

在普查、勘探和开采矿物的工作中,广泛采用已被肯定是有有效的輻射方法,以及全部实现它們所提

供的各种可能性,是一項刻不容緩的、具有重大国民經濟意义的任务。

阿力克賽耶夫(Ф. А. Алексеев)

放射性同位素和核輻射在冶金工业中的应用

冶金工业中,利用放射性同位素和核輻射源的研究和实际应用,在苏联开始于 1948—1949 年。規定了下列几个方向:应用放射性的和稳定性的同位素作为指示剂(示踪原子),应用放射性强的核輻射源和应用放射性同位素来檢驗工艺过程和使工艺过程自动化。

在生产条件下,放射性同位素首先用于諾沃图尔冶金工厂和庫茲涅茨鋼鐵公司。現在,許多企业都在应用放射性同位素。

在鑄鐵生产中,应用同位素的主要任务之一是探寻提高高炉生产能力的途径和研究与各个設備自动化有关的问题。利用輻射測量法进行了炉料运动和耐火材料炉衬損毀情况的檢驗工作,并利用同位素法进行了焦炭和燒結矿的密度以及炉料料錢的檢驗工作。在測定用金属鎂和鈣-氧化鋁渣使生鐵脫硫的最佳条件方面,应用放射性同位素得到了良好的結果。在解决与高炉风口区操作的研究有关的一些任务时也应用了同位素。

在捷尔任斯基工厂,安装了檢驗高炉中炉料料錢的試驗性輻射測量装置。試驗結果表明,在其他冶金工厂里应用这种装置也是合适的。現在正研究一种类似的装置来測定由高炉带走的矿尘的数量。准备应用随动系統法,因为它可以不断地进行測量。

中央鋼鐵研究院和捷尔任斯基工厂拟定并試驗了炉料的檢驗方法。現在的檢驗方法不可能在装料前直接地快速測定各块炉料的大小。輻射檢驗法可以直接測定炉料密度的变化。在庫茲涅茨鋼鐵公司和其他工厂也拟定进行类似的工作。

高炉的生产能力在很大程度上决定于鉄矿原料的准备情况。在这个准备工作中,重要的环节是檢驗鉄矿石的选矿和燒結矿燒結的过程。在鉄矿石原料的准备工作中,应用放射性同位素的試驗也是有效的。在庫茲涅茨鋼鐵公司試制成了輻射計,可用来測定燒結矿的密度。燒結厂对仪器所作的試驗表明,它可以在制备燒結矿时用来檢驗矿石的燒結过程。

在許多工厂,用放射性插入法和輻射探測法檢驗高炉和混鉄炉炉衬的損毀情况,从而有可能观察

高炉和混鉄炉操作过程中炉衬的状态。現在,庫茲涅茨鋼鐵公司、捷尔任斯基工厂、“亞速”鋼厂、馬克耶夫冶金工厂以及其他企业正应用輻射法檢驗高炉耐火砌体的損毀。

按照捷尔任斯基工厂和苏联科学院經濟研究所的初步資料,利用已采用同位素的高炉的研究結果,可以减少燃料的消耗量和增加該工厂的生鉄产量約 8 万吨;折合現金为每年節約 250 万卢布。按照粗略的計算,对燒結矿的燒結采用輻射檢驗法,在庫茲涅茨鋼鐵公司每年大約可節約 2 百万卢布。这些工作也能促使改进高炉各部位的結構。这首先关系到高炉炉身和炉底(庫茲涅茨鋼鐵公司、馬格尼托戈尔斯克鋼鐵公司、伊里奇工厂、捷尔任斯基工厂)。评价高炉生产中应用同位素的經濟效果是很难的,因为在采用同位素的同时还进行了改进流程的其他工作。捷尔任斯基工厂的資料就值得注意。根据这个資料,同位素的应用,連同其他工作的效果在一起可以使生鉄产量增加 2.5—3%,降低燃料消耗量 3—3.5%,和增加高炉使用寿命 5—8%。

在炼鋼生产中,在改进鋼的冶炼工艺方面广泛采用放射性同位素。

在馬格尼托戈尔斯克鋼鐵公司中,利用放射性同位素研究了造渣过程,从而确定了平炉中炉料的最佳装料順序。在“亞速”鋼厂和在斯大林冶金工厂中也进行了类似的工作。

在“亞速”鋼厂、斯大林工厂和“查波罗什”鋼厂,利用同位素稀釋法来測定废鋼的熔化速度和測定在熔炼时平炉中鋼水的重量。在庫茲涅茨鋼鐵公司中,利用同位素測定了鋼熔池的流体力学特征,結果找到了縮短熔炼時間的可能性,即在現有的平炉中不需增加开支而能成万吨地增加鋼产量。在伊里奇工厂,利用同位素查明了縮短鋼水在鋼錠模中停留時間的可能性,这直接关系到平炉車間生产能力的提高。

在庫茲涅茨鋼鐵公司、馬格尼托戈尔斯克鋼鐵公司、謝罗夫鋼鐵公司、斯大林工厂、契里亞賓工厂、“鐮刀与斧子”工厂、“德聶泊尔”特殊鋼厂、“电炉”鋼厂和各研究院中,应用放射性同位素研究了非

金属夹杂物的性质。

在庫茲涅茨克鋼鐵公司、馬克耶夫冶金工厂和“亞速”鋼厂研究了平炉耐火砌体損毀的輻射檢驗法，从而可以将平炉的修理時間縮短 30—40 分钟。

庫茲涅茨克鋼鐵公司和斯大林冶金工厂对于軋制时鋼材經過过程的研究方面所进行的工作有很大的意义。这些資料对于确定合理的軋輥孔型設計是必需的。

在研究新的薄板鍍錫工艺时应用了鉄和錫的放射性同位素。这个工作的結果已在新莫斯科工厂和“查波羅什”鋼厂的实际工作中得到了应用。

各科学研究所和各工厂設計了大量輻射仪器，这些仪器在冶金事业中用来檢驗和調整冶炼过程。

中央鋼鐵研究院制成了一种仪器，可以用来測量連鑄鑄錠机結晶槽中鋼水綫。現在，在一些工厂中已应用了鋼水綫測量仪。在哈尔齐茨克鋼管厂中，应用鋼水綫輻射測量仪可以使化鉄炉装料过程自动化。在加里宁城“五一”工厂中，应用了結晶槽鋼水綫調整器，此仪器还对鋼錠的拉伸速度发生了影响。类似的調整系統也用于西納尔管厂的生鉄管半連鑄浇鑄裝置中，莫吉列夫冶金工厂也正在安装这种調整系統。在連鑄注錠机結晶槽中利用鋼水綫調整器可以使浇注作业完全自动化。

斯大林冶金工厂設計出了測定高炉收尘器矿尘量的液面計。馬克耶夫冶金工厂在高压洗滌塔中应用了极限水面輻射信号器，这对于炉頂气体为高压的高炉的操作來說有很大意义。

在許多工厂中，測量軋件厚度的輻射測量仪得到了应用。制成的厚度測量仪有好几种类型(0.003 至 10 毫米)。在冷軋过程中应用厚度測量仪来檢驗鋼帶的厚度，就有可能提高产品的质量，減少废品，增加軋制速度以及大大節約鋼材。应用厚度測量仪可以得到很大的經濟效果。例如，根据大概的資料，在列宁格勒軋鋼厂的一台 12 輥軋鋼机上，只按照下限公差进行軋制，每年就約可節約 70 万卢布。按照“查波羅什”鋼厂的資料，应用厚度測量仪可以使废品減少 1/2，同时軋材的公差还降低了。应用厚度測量仪来測量厚达 45 毫米的热軋板，也可得到很大的經濟效果。現在在伊諾尔工厂也采用了热軋厚度測量仪。

在有色冶金工业中，放射性同位素被用来研究生产檢驗方法和研究流程的机理和动力学。在南烏拉尔制鍊公司中設置了保証檢驗豎炉装料的輻射液面計和 122 个其他类型的輻射液面計，从而可以使破碎燒結車間的料槽装料作业自动化。在沃尔霍夫煉鋁工厂的氧化鋁車間中，利用了放射性密度計使得浸取工段的过滤濃縮槽出料过程自动化。在德聶泊尔鈦鎂工厂，利用放射性密度計，証明了有可能在四氯化鈦酒噴循环中測量矿漿的密度。采用这些仪器，就可以无接触地操縱繁重的流程，直接檢查和保持既定的工作状态，并保証操作人員的安全。

应用放射性同位素，可以研究和改进許多高純度有色金属和稀有金属的制造工艺。在烏克蘭煉鋅厂已采用了高純度鋅的制造工艺，而在新西伯利亚煉錫厂則采用了高純度錫的制造工艺。已經提出了以下几种方案：改进电精煉銅的工艺并最低限度損失貴金属；改进电解制鋅法，保持高的电流效率，并为此必須淨化各种鋅电解溶液；改进为許多冶金产品所必需的分离鉄和鉬的方法。利用放射性同位素，研究了电解鋁时金属和电解液的相互作用，并且查明了电解鋁时电流效率降低的原因（由于生鉄块的阳极溶解）。在測定純金属中的極少量杂质方面，应用放射性同位素和活性分析法，可以明确現有的方法并研究出新的方法（如鋅、鉛、錫、砷、磷、鎢、鉍、銅、鎳、硒、碲、鋇、鈷、鉄、銀等杂质）。

应用放射性同位素进行工作的結果，得到了大量材料，这就可以較正确地評價有色冶金工业中正采用的工艺过程，实行生产过程的檢查和找出改进这些过程的可能途径。

在冶金工业中应用放射性同位素和核輻射，給国民經济带来了很大的經濟效果，并且为改善劳动条件創造了前提。为了在工业中进一步采用同位素和核輻射，必須在探求工艺过程的輻射檢驗和調节的新方法和原則方面扩大和深入进行研究。

詳細討論在冶金工业中采用同位素方面所得到的主要成果，将促使这个方面的工作更进一步地开展。

格魯金 (П. Л. Грузин)

巴比柯娃 (Ю. Ф. Бабикова)

放射性同位素在选矿和采矿工业中的应用

近几年来，苏联在这一方面所进行的工作可分为仪器設計和仪器实际运用二类。这些工作曾在选

矿和采矿工业部門进行过討論。

不能缺少水平发送器，矿漿密度和煤灰份測量

器,混合料和精矿湿度测量器的工业,对仪器的设计工作提出了基本的方向;工艺过程的自动调节便依赖于这些仪器的制造。采矿和选矿工业的特点要求制造能使用放射性同位素和核辐射的无触点发送器。

薩維茲基(И. И. Савицкий),李奇切夫斯基(Е. Г. Литичевский)和高尔金(М. Л. Гольдин)在报告中援引了对曲角的南选矿联合企业所属厂矿中工艺过程的控制和自动化问题的解决方法。对黑色冶金破碎分选厂、选矿厂和烧结厂来说,解决方法是一致的。借助于哈尔科夫工厂的 КИП 型 γ 继电器,能可靠地控制转载点的流量,皮带运输机上皮带的打滑和皮带上有无矿石。在储量4万吨的抛物线式矿仓的自动化装矿方面所进行的巨大工作,保证了原料均匀地送到各个部分和卸矿车的自动控制。应当指出,想用触点发送器,容量发送器及感应发送器解决这一任务的尝试失败了,因为矿石从12米的高度落进矿仓各个部分时,其磨度和破坏力很大。

法捷耶夫(К. Ф. Фадеев)引据了切良宾经济区各企业应用 γ 继电器,控制皮带运输机上煤的有无,料斗加料自动化,卸矿车计算,颚式破碎机口送料自动化以及其他过程自动化的实验数据。

“南乌拉尔制铁”联合企业协同“有色金属自动化”设计局(КБ ЦМА)的工作人员进行了巨大的工作。在謝窩相諾夫(В. В. Севостьянов),李賀节洛夫(И. М. Лихтеров)等人的报告中阐明了固定式液面计的工作原理和结构特点。因空气的侵蚀性不同,在有色冶金选矿厂中,液面计的工作条件不如在黑色冶金中。 γ 继电器型液面计 КБ ЦМА 的灵敏度很高,从而能降低辐射源的放射度。

对于在选矿厂条件下使用电子继电器的可靠性的问题,已经由貝尔(Я. М. Бер),古聶(Х. Э. Гунне),雅努斯科夫斯基(В. А. Янушковский)和卡西諾夫(А. В. Чашин)的报告阐述过了。报告中引据了切列包維茲冶金工厂在控制料仓中冶金炉料料位时,使用塔林仪表实验制造厂所生产的这一类型仪器的操作经验。在这份报告中还探讨了装配在磁性扩大器的 γ 继电器的接受器。此仪器广泛地应用在井下许多生产过程的自动化方面,因为它装在防爆的外壳内。在流程是无疑可靠的和使用期限长的情况下,使用接受器在某种程度上会因其动作慢(~ 3 秒)而受到限制。

在謝加林(В. Г. Сегалин)的报告中阐明了苏联科学院采矿研究所正在进行的一些工作的总结。

对通风井的受矿仓中保护层控制,对流槽和漏料管堵塞控制的情况,矿车的计算,料斗提升数目的计算以及通风门的自动控制等都做了研究。在研究使用能记录散射辐射的辐射接受器自动控制采煤康拜因方面,正进行着巨大而有趣味的工作。散射辐射的强度变化取决于岩石或煤的存在。

欧夫恰連柯(Е. Я. Овчаренко),葛基可(У. И. Когик)等人的报告阐明了米株尔选矿厂运用矿浆密度测量计的问题。矿浆密度测量的特点不仅仅是介质的侵蚀性,而且还有矿浆本身的放射性,固相比重高和矿浆输送管的直径大(150厘米)。从1957年开始的工作已顺利的完成,而且目前已有若干种仪器都进行了测量精确度和可靠性的长期工业试验。已经查明,若是矿浆的固相含有原子序数大的元素时,唯一适用的 γ 辐射体是 Co^{60} 。使用 Cs^{137} 会产生矿石的矿物组成的波动使射线流量改变若干个百分数的后果,这是所不允许的。由于矿浆输送管的直径很大,选用磷做为辐射探测器,而为了减少因为光放大器和电子系统的放大系数不稳定性所产生的设备误差起见,采用了补偿测量法。放射性各为80毫克·当量的二个 γ 辐射体 Ra 实现振动运动,每块辐射体置放在带有圆孔的铅盒内。于是磷便交替地受到通过矿浆的基本射线流和通过补偿体的标准射线流的照射。仪器的试验表明,在动作速度为1秒时,仪器的精确度等于1.5%。

有关测量矿浆密度的第二份报告是由瓦里节尔(А. К. Вальтер),甫拉克辛(И. Н. Плаксин)和高尔金(М. Л. Гольдин)提出的。报告描述了密度计的结构和近三年来在南采选联合企业进行的若干次试验。就结构而言,仪器是装在密闭的外壳内。辐射探测器是带有复铅的多层表面电极的电离室。电离室不是按差动式接通的,而是按电桥系统,因此它们具有符号相同的(+)电压。这一情况大大地简化了电子系统和减少了设备误差。两个电离室的电离电流的测定是借助于振动变流器用测电系统进行的,振动变流器采用的是工业频率,并且把集电极同2Э2П电子管的操纵线路交替地联结起来。辐射流量用楔铁补偿,而传真用磁动力发送器来实现。在这一线路中,电离电流的测定使用一整套带有交流扩大器的电子装置。工业试验表明,在 Cs^{137} 源的放射性等于50毫克·当量 Ra,和铁矿矿浆最大密度值2.1克/厘米³时,测量精确度为0.6%。因此,哈尔科夫仪表制造厂成批生产的仪器属于1.5%精确度级。指示仪器的指针通过整个分度盘的时间为45秒。

报告中还援引了专门就选择矿浆取样地点(在双螺旋分級机上做进一步检查)所进行的实验数据。

庫里申科(А. З. Кулишенко)阐明了在使用向操作机构和調整机构送指揮信号的放射性发送器方面所进行的工作,使选煤厂浮选工段在主要指标——負載和耗量方面設計并运用浮选过程自动化調节系統。在頓巴斯雅西諾夫选煤厂对自动化調节系統所做的工业試驗表明,在这种条件下可以提高浮选机的負載,簡化浮选的工艺流程,从而降低泥煤的处理費和減少操作人員数量。庫里申科还講述了測定煤灰分的仪表。

在报道中,應該指出朱彼林(И. Г. Зубилин)在測定煤料的假比重方面所进行的工作。这里援引了

試驗方法,湿度和顆粒細度对測量精確度的影响。

所有报告都具有一个特点:报告中十分重視安全技术,放射性控制方法的經濟效果和生产过程的自动化問題。

报告分析表明,目前已經制出了 γ 继电器型仪表和矿浆密度測量器并且已在采矿和选矿工业中获得了应用。

为了大力推广基于利用同位素和輻射的仪表和自动系統,必須采取一系列的組織措施,其中主要的要算是在國民經濟委员会下成立中心實驗室和在专科学校中培养相应的工程师干部。

高里金(М. Л. Гольдин)

放射性同位素和核輻射在建筑中的应用

近年来在建筑和建筑材料工业上越来越广泛地应用放射性同位素作研究、检查和調节生产过程之用。

РИУ 測量仪器和 УРАП 继电器型仪器已在料倉进料时作自动检查与自动操縱之用,РИУ-1 水平放射性指示器在石棉选洗厂作检查料倉装矿物之用。

双相悬浮液(泥浆,水泥浆,泥渣等等)密度的自动控制与調节可由 ПЖР-2 放射性密度計,“放出仪”和 γ 泥量計来进行。特别是泥水泵装置汲出的泥浆用放射性 γ 泥量計来检查其密度更好,它能測定泥浆中的含泥量,精確度达2%。 γ 泥量計也可用于泥水泵装置操縱自动化以及其工作效率的检查。在卡霍夫斯克水电站、高尔克夫水电站、伏尔加河的列宁水电站和斯大林格勒水电站等工地上使用的泥水泵都装有 γ 泥量計。

在水工构筑物地基浇灌混凝土时借助 ПЖР-2 放射性密度計对水泥沙浆的稠度可进行不断的检查。在石棉选洗厂也利用这个仪器进行測量石棉浆的稠度。使用放射性密度計(在选洗厂)还可检查旋风除尘器的工作情况和检查瀝青的氧化过程。

БИВ 放射性无接触重量測量仪供絕緣建筑材料生产时使用。

γ 探伤法在检查电站的管道,气体和石油干管,貯水槽和其他金属結構的焊縫質量时使用。利用 γ 探伤法检查水电站工地上鋼筋混凝土結構鋼筋焊縫的質量可以发现直径30毫米和更大的鋼筋焊接处的暗伤。采用了这种方法仅在斯大林格勒水电站工地上就节约了20万卢布。 γ 探伤法也能供检查鋼筋

混凝土預制构件和輸电綫路上鋼筋混凝土离心支柱的質量之用。

有一些方法的原理是測量 γ 和中子輻射同物質相互作用时被吸收或被散射的强度,这些方法在建筑上可用来測定建筑材料的各种特性以及检查工艺过程的参数。

构筑物地基、土坝、土堤等本身土壤的密度用 γ 透視法測定。

有一种情况下土壤密度可由两种方法測定,即通过透視从两个平行的鉆井(一个鉆井中放 γ 輻射源 Co^{60} 或 Cs^{137} ,另一个放輻射探测器)中取出的土壤来进行測定;或者通过将放射綫測量叉插进土壤,而一个分叉上有 γ 輻射源,另一个分叉上有輻射探测器来进行測定。測量土壤容重的精確度为 $\pm 2\%$,每次測量用时2—3分钟。借助放射綫測量叉进行密度測量可以在土壤面层深約0.5米处进行。鉆检查井时如果采用專門的鉆模就可利用透視法測定深1.5米的土壤密度。

另一种情况下測定土壤密度通过測量散射的 γ 射綫(γ - γ 測井)的强度进行。 γ 輻射源和探测器此时一起都放在試探具內,一个放在另一个的上面并用鉛屏把它們隔开,以防止探测器受到源的直接照射。測量土壤密度的精確度达到5%,假如采用微分(能譜)輻射指示器則精確度还可能提高。用 γ - γ 測井法測量土壤密度不仅可以在面层而且可在极深的鉆井內进行。

在實驗室測量土壤密度可通过透視結構未破坏的土壤样品来进行。在野外,面层土壤的湿度用透視具有一定搗实程度的土壤层的方法来进行測定。

为了测定不同深度上的土壤湿度可利用中子 γ 测井法和中子-中子测井法。中子测井法能测出钻井所通过的土壤里的含氢量从而也测得它们的体积湿度。

混凝土、卵石、砂和其他建筑材料的湿度测量,也可以采用这样一些方法,其原理是利用在 γ 射线通过它们的样品时记录下来的射线吸收强度。使用这种方法的误差,例如在测量容重为900—1100公斤/立方米的多孔混凝土的湿度时,不超过样品重量湿度的2%。

γ 透视测量法在施工中也广泛地用于测定混凝土和钢筋混凝土构件的容重、湿度和均匀性以及检查混凝土制作和浇灌的工艺过程。借助放射性密度计测量新灌混凝土捣实的程度就能检查正在捣实混凝土的震捣器的工作状况,同时并能测出所浇灌的混凝土的密度。对混凝土密度的检查在浇灌特种混凝土时具有特别重要的意义,譬如建造核反应堆防护层时的重混凝土和建造压力水工构筑时的刚性混凝土等。放射性密度计可以在混凝土制作过程中确定它的水灰比并能检查工厂预制的混凝土的均匀性。在运输和浇灌混凝土的过程中使用密度计可以测定混凝土是否有剥层情况并可解决其他的工艺任务。

放射性测井法可以用于在建筑上对地基进行工程地质研究,用于钻探工程(找水)和检查构筑物地基的加固工程的质量。

放射性指示剂的方法也用来测定压制木材的容重。测量时木材样品要浸透掺入放射性指示剂(P^{32})的变压器油。测量了样品的辐射强度,就可测定它们的空隙度,随后进行相应的计算,求得压制木材的容重。将测量压制木材容重的这种方法的结果同它实体测量的结果加以对比的话可发现所得的完全相同。

放射性同位素亦被广泛地应用在建筑材料和工艺过程的研究上。在测定松散材料(水泥、砂等等)的比面积的研究工作上,可使用浆体内放射性指示剂的吸附作用的方法。利用同位素 W^{185} , Sr^{80} , Ca^{45} , Cs^{137} 和 Co^{60} 作放射性指示剂。得出的吸附作用等温线表明,通过这个方法水泥和砂的比面积能很快很准确的测出。借助放射性指示剂的方法可以对水泥水合作用的过程进行研究。对水泥熟料中矿物的水合作用过程进行动力学以及机械方面的研究,可通过浆体中掺放放射性同位素 Ca^{45} 的方法来做。根据浆体中活性变化程度来研究熟料中矿物同水的相互作用,在矿物的晶格中已充有同位素。对于水

泥块于水饱和状态下在解冻与冻结交替作用时的结构和强度变化情况的研究,可通过对掺有放射性同位素 Sr^{80} 的浆体的吸附作用之测定来进行。通过对浆体活性的测量就可测定被吸附的 Sr^{80} 的数量,从而可以判断气孔体积的变化和试验样品强度增长的情况。

使用 Ca^{45} 作放射性指示剂可对沥青材料的各种性质进行各种研究。利用这种方法研究了水通过沥青薄片进入石质材料的流动过程与沥青混凝土组成的性质的关系;研究了水渗入沥青混凝土层的特性以及表面活性掺料对沥青混凝土性质的影响;检查沥青外皮在铺设拼合板时的防水性和耐水性。

采用放射性指示剂能进行研究耐火材料与熔炼灰、渣、金属等相互作用时产生的扩散过程。进行这些研究是为了了解耐火材料的工作条件和改善其生产。采用 Fe^{59} 和 Ca^{45} 作放射性指示剂,它们被掺到耐火材料的成分中去。这个方法可用来研究钢材中含有的非金属夹杂物。

利用放射性同位素 S^{35} 对混凝土的硫酸盐腐蚀进行研究,就可以了解硫酸盐离子由于不同因素而渗入水泥的过程。通过这些研究测定了样品在腐蚀性溶液中的抗蚀性、水灰比、防水掺料的含量和水泥的细碎度等条件对硫酸盐离子的渗入及其在材料内分布的影响。这种方法同样还可以利用来研究其他腐蚀性溶液对水泥的影响。

钢管管壁的厚度因锈蚀耗损和空化过程而发生变化时可以根据反射的 γ 射线强度变化情况来进行研究。进行这种研究需使用放射性管壁厚度测量仪。

在建筑上放射性指示剂的方法越来越普遍地应用在研究各种材料、浆体和液体的流动过程上。在水泥熟料焙烧和磨细过程中研究材料在旋转炉和球形研磨机的粗磨箱和细磨箱内的移动速度可以通过在原始材料中掺入放射性同位素 Fe^{59} 的方法进行。在斯大林格勒水电站工地上为了研究水泥在水泥管中气动运输时的流动情况,曾采用同位素 Cr^{51} 作放射性指示剂。混凝土料在钢管内的移动速度可借助同位素 Co^{60} 进行研究。为此,同位素做成小段的丝状(放射性0.6—0.15毫居里)放到碎石上面钻好的孔内并塞住。根据这一块放到混凝土内的碎石在管道内移动的速度就能测出混凝土移动的速度。应用这种方法,不过是使用放射性同位素 Br^{82} ,曾在某水电站测定了水在偏流管道中的流动速度。为此同位素需放入进入管道的水内,根据放射性通过测量段的时间测定了水在管道内流动的速度。

泥水泵汲出的泥浆的流动过程可以通过在泥浆中放入放射性指示剂的方法进行研究。在典型試驗中曾采用放射性同位素 Ta^{182} 研究了泥浆稠度和比耗对冲洗土壤积分密度的影响。应用放射性同位素进行这些研究就可能在极短的期限内完成非常繁重的研究工作。

为研究地下水的过滤过程和运动的动力学，最近广泛采用放射性指示剂的方法。进行研究时使用了同位素 H^3 , P^{32} , Co^{60} , Rb^{86} , Zr^{95} , J^{131} , Cs^{134} 作指示剂。进行的实验证明，采用放射性指示剂的方法来作过滤研究不亚于测热法，在某些情况下还更有效。放射性指示剂的方法可以在实验室条件下研究液体在多孔介质中受到挤压时的流动过程。在研

究时所使用的各种液体用不同能量的同位素(J^{131} 和 Rb^{86})来示踪，这样就能够通过使用双道放射线仪器来了解两种液体的混合过程。在野外用放射性指示剂的方法来研究水渗过围堰的情况，排水管线的工况，深水排水泵的流量，地下水流动的方向和速度等等。

γ 透视测量法也用于研究水流中悬浮冲积土的流动情况以及测定它们的数量。水流中冲积土的稠度可通过测量散射 γ 射线的强度进行研究。水样中的悬浮冲积土的数量在实验室分析时是用透视法测定的。

雅科夫列夫(А. И. Яковлев)

放射性同位素在轻工业中的应用

目前在轻工业的各个部门里利用放射性同位素和核辐射作为自动化和检查生产过程以及产品质量的方法。这些问题在轻工业分组会议上曾做了阐述。

大家都知道，在许多轻工业生产中劳动和设备生产率的提高以及材料、原料消耗量的节约是与快速连续的测出物质(纸、厚板纸、塑料、涂在布疋上的物品等等)在制备过程中的重量有关。

中央棉織工业科学研究所于1955年制造了一种 БИВ 型仪器(无接触的重量测量仪)。仪器的工作原理是利用两个接入补偿线路中的电离室对通过材料的 β 辐射吸收进行测量。仪器的工作和补偿传送器是由放射源和电离室组成的。在放射源和补偿传送器的电离室之间放入一个可移动的、与仪器给定的刻度相联系的金属屏。此二个电离室中的电流其方向相反，它们的微分电流通到电测放大器的输入端。放大器的输出电流通到指示仪上，此指示仪即刻度出物质重量与给定的数值的偏差为克/厘米²。做成悬臂结构的仪器测量部分按装在一个特殊的小车上，以便在沿着运动着的材料进行测量时好反复移动它。

现在 БИВ 型仪器成功地在轻工业的许多企业中使用着。孔采夫斯科的諾金胶布人造革工厂中，在涂胶机辊机上应用 БИВ 型仪器测量涂在布料上的胶的标准。

在按装了 БИВ 型仪器后，就没有必要停机取样、切材料样品、检查员称样品以及换算1平方米产品的分析结果。

根据工厂计划科的计算，在人造革生产上使用 БИВ 型仪器每年可以节约约 10 万卢布。

列宁格勒“焦油纸板”厂在生产纸板以便制造软屋顶面(焦油毡、瀝青油毡、透明油纸等)的机器上试验性的使用了 БИВ 型仪器，同样也表明了该仪器具有很高的效率和应用的适宜性。

产品质量的主要指标之一是厚纸板的重量和厚薄的均匀程度，因为这和厚纸板的密度和其对瀝青浸透的能力有关，从而也就决定了材料使用的长久性。

“焦油纸板”厂利用 БИВ 型仪器检查连续运动着的厚纸板的厚度和重量。所有机器装备了这些仪器，工厂就可以不要检查员减少实验室工作人员以及提高质量和劳动生产率，这样使工厂每年可以节约 25 万卢布。

在造纸生产上使用 БИВ 型仪器使得有可能建立管理生产过程的工具，并且当生产的正常工艺状态遭到破坏时，可以立即采取消除其产生原因的措施。

在列宁格勒国民经济区的红色城市工厂的造纸机上成功地使用了 БИВ 型仪器，这种仪器经过成年的使用，表明了它具有很高的工作效能。

БИВ 型仪器在工业生产的各个部门中的应用不仅可以调整连续检查在机器上通过的产品，而且还给生产工艺过程的自动化开辟了广阔的远景，因为是以电的信号表示材料的重量或者厚度的表，而这种电的信号可以相应的调节系统中得到应用。类似的工作正在进行着。现在塔林检测仪器制造厂正在

成批地生产 БИВ 型仪器。

中央棉織工业研究所已研究出一种用来在清棉机上检查棉卷不均的仪器。当某一段棉卷的重量与工艺上所确定的范围有偏差时，仪器就发出灯光信号。这种仪器的测量装置是由放射性辐射源、二个电离室以及一个利用补偿法来测量电离室电流差数的自动电子电位计。测量是在棉卷所有的宽度上来进行，传送器安装在清棉机的压平卷筒轴之間。

全苏印刷工业科学研究所已研究出一种测量涂层的 БТИ-1 型的 β 测厚计。这种仪器的工作原理是测量 β 辐射的反散射，它的用途是测定在印刷工业中应用的平面物体的涂层厚度。

БТИ-1 型仪器是由一个可移动的带有支架的测量头和一个电子测量装置所组成。测量头制成圆柱形，在它下面的端面部分放有环形的辐射源。从被测量物体反射出来的射线流由微分电离室来进行记录。

莫斯科(城市)国民經济委员会日丹諾夫第一样本印刷厂利用 БТИ-1 型仪器来进行胶印双金属鑄型的鍍涂层厚度的检查，这就有可能使得双金属鑄型的鍍层和酸洗过程正常化，并且可以减少废品。仅仅在制造薄片和鑄件时在一个鍍层槽中一年就节约了将近 8 千卢布。

БТИ-1 型仪器同样在“紅色无产者”印刷厂的生产中进行了运用，它是用来对鉛版中的鍍銀过程进行选择性的检查。

中央皮革和制鞋工业科学研究所已研究出一种用来测量制成的皮革和皮革原料的放射性测厚计。这种测厚计可以不切样品来测出皮革的平均厚度，其范围是由 2 厘米到 5.5 厘米之間。仪器的工作原理是测量同位素 Ce^{144} β 辐射源物质的衰减。类似的这种测厚计可以有效地运用在毛皮进厂时的分类工作。

毛皮工业科学研究所已研究出一种用来测量毛皮稠密的仪器——辐射稠密计，这种仪器在毛皮企业部門中的試驗表明了测量毛皮的稠密度方面与現有的方法比較起来，它具有更高的精确度。

塔林检测仪器制造厂与苏联拉脫維亞科学院一起研究了一种 УРИТ-1 型放射性厚度测量计。此仪器的工作原理是根据射线在經過被测量物质时被记录的射线減弱的現象，射线的测量是利用微分电离室来进行。仪器中采用了零位补偿测量法，并装有自动频率控制线路。

除了上述的测量仪器和线路外，在輕工业中同时还广泛的应用了继电器技术仪器和线路。

在紡織工业中应用了由中央紡織工业研究所研究出来的 PPY 型放射性水平调整仪，此仪是用来检查和調整印染生产时紡織物在蒸煮机內的水平面，在蒸汽和周围空气湿度大以及温度高的情况下，蒸煮机內用一般的方法是不可能調整紡織物的水平面的。

PPY 仪是一种固定型的装置，該装置的組成部分有两个放射性 γ 辐射传送器，两个具有 CTC-8 型自減卤素计数管形的辐射接受器、放大器、继电器自动化設備和灯光信号盘。 Cs^{137} 制剂用来作为辐射源。

PPY 型仪目前在莫斯科、加里宁和伊万諾夫区的某些紡織生产印染厂中应用着。PPY 型仪目前在中央紡織工业研究所的“紡織仪器”工厂中小批生产。

继电器自动化方法在里加的“德津塔尔斯”香料化粧品工厂中的应用显示出了它是生产工艺过程中检查和自动化的一种极有效的方法。

过去在工厂中对金属软管¹⁾装料的检查是有选择的进行，这就必須对許多批的软管进行过秤，同时必須进行挑废品。現在在软管装料自动机上安放了一个 PK-4 型放射性检查仪。它是由标准 β 辐射源 БИ-1、РД-6 型放射性传送器、УРАП-3Д 型电子继电器組和 БСК-1 型計数整流装置软管装料的检查是利用了 β 辐射透过收口处附近的截面的方法来检查装料的水平。

装料量不够的软管进入检查处时，传送器即记录下很强的射线，而电子继电器組則使继电器动作，此继电器将操纵软管进入废品容器裝置的电磁鉄連接起来。

在切管自动机上对鋁制軟管的半成品进行連續的加工。在这个系统中的操作工序之一是将圆盘車刀送到鋼的阳模上，在阳模上装上软管半成品以便滾压出螺紋，如果由于某种原因半成品的鋁管不輸送到阳模上的話，那末阳模将露出外面，車刀与它相碰时将损坏。为了預防这种現象安装了放射性閉鎖仪表，这些仪表是由放射性 β 辐射源 Tl^{204} 、放射性传送器 РД-6 和 УРАП-3Д 型电子继电器組所組成。当软管在自动裝置的入口槽上停止輸送时，УРАП-3Д 型继电器組即断掉自动裝置的电傳动的磁力起动器的电路。在两台自动切管机上应用了放射性閉鎖裝置。一年的經济效果約为 15 万卢布。

“德津塔尔斯”工厂还应用了由压力計組成的放射性压力調整器，在压力計的針上装有一个 β 辐射源，而在刻度外面装有 РД-6 型放射性传送器在传

1) 譯者注：此金属软管系是鉛鋅等制成的包装用的小軟管。

送器对面的刻度尺上开了几扇使射线进入用的窗。传送器接到 YPAИ-2A 型双路电子继电器组的电路中,而继电器组与电动机的磁力起动器相联结。应用了这种放射性压力调整器一年的经济效果是将近 4 万 6 千卢布。

“德津塔尔斯”工厂极有成效地应用了放射性双位水平调整器(安装在立转式倒出自动机上)和 PД-6 型放射性传送器(在对香水中的液体成分定量时用)。

中央丝织品工业科学研究所正应用放射性同位素进行中和作用的研究,其方法是使人造纤维在加工时所产生的静电空气进行电离。

应用 Pu^{239} 和 Pm^{147} 来作为放射源,“红玫瑰”联合工厂应用 Pu^{239} 来中和在醋酸纤维上的静电荷,也显示了这种方法同样具有高度的效率。

在“红玫瑰”联合工厂的整经机上以及在那罗福明纺纱工厂的纺纱机上应用 Pm^{147} 的 β 辐射源来消除在醋酸纤维和粘胶纤维上所产生的静电荷同样显

示了很大的工艺效果。

莫斯科纺织学院纺织技术教研室独创地利用放射性同位素来研究织造过程中织物形成。在工作中得出了结论,即在织布机上可以确定织布机送料的一些良好的标准参数(经纱和纬纱的张力、平综度等等),这有助于保证织布机的最大生产率和纱线在编织循环中的重量和分纱方面使织物具有最好的结构。

在木材加工工业中进行了有关在这个国民经济领域中利用放射性同位素的研究工作。例如,罗斯托夫工程建筑学院和罗斯托夫国民经济区机械制造工艺研究所曾对木材的一些 γ 辐射测量问题进行了实验性的研究。莫斯科林业技术学院利用单体接枝然后进行辐射照射来研究木材的变体问题,同时还研究了 γ 辐射对木材的某些物理机械性质的影响。

放射性方法愈来愈多地应用在轻工业的各个部门中,它将成为工艺师和研究者的可靠同盟者。

斯拉金斯基 (А. Н. Слатинский)

放射性同位素和核辐射在机械制造中的应用

目前工业生产中,在工艺过程的检验与自动化,工业产品质量检查,金相学与冶金学的研究,铸造生产和焊接技术等方面都已广泛地应用着放射性同位素和核辐射。

机械制造业中主要部门的自动化决定于放射性检查装置的科学技术发展水平,其中有重要意义并经常起决定作用的就是利用放射性同位素和核辐射对生产过程进行工艺检查的那些仪器。目前苏联许多单位已开始对利用同位素检验工艺过程的新方法进行着科学研究。

在机械制造业中,放射性同位素在以下几方面已得到最广泛的应用:焊缝、铸件、机器零件及组件的探伤检查,检查机器设备在运转过程中所出现的故障等。为此,在许多大规模生产的机械制造厂中,都有特殊的实验室。

在这些工厂内, γ 射线照像探伤法已是工艺过程的一个组成部分。在工业中采用了这种方法已带来了巨大的经济效益。例如,列宁格勒的基洛夫起重运输设备厂,由于使用 γ 射线探伤法,每年可节约 6 万 3 千卢布,在塔干罗格“红色锅炉工人”工厂——23 万卢布,在德聶伯罗彼得洛夫斯克的冶金设备厂——63 万 6 千卢布。

已生产出九种硬度不同的 γ 射线的射线源,可

供 γ 射线探伤用,其中应用最广的有 Co^{60} , Ir^{192} , Cs^{137} , Eu^{152} , Se^{75} , Tu^{170} 。

应当注意到,放射性射线源的产量同相应的供照射检查制品用的(在射线能量和强度上)装置的产量之间还有一些脱节现象。在各种工业和建筑部门中应用的小型、轻便、可携带的 γ 探伤仪器是特别感到缺乏的。

现在所应用的 γ 射线照像探伤法,虽然其检查结果有较高的灵敏度和客观性,但是生产率却不高,因此使生产过程自动化受到一定限制。从生产率观点出发,最有发展前途的是应用电子光学转换仪和电视装置的检查法,以及电离法和干印法。但是这些方法目前还只是停留在实验室研究阶段。

为了在金相学、冶金、铸造生产和焊接技术中应用放射性同位素,已对下述几方面的工作方法进行探讨:放射性同位素放入液体金属的方法,以及放入电焊条的镀层和放入电焊条内的方法;应用自动射线照像对各种元素在金属和合金中分布和重新分布作定量和定性研究的方法;对同时含有两种元素同位素的金属和熔渣试样的分析方法;应用放射性同位素确定金属和合金在快速加热时的扩散参数的工作方法等等。

在金相学和冶金研究中,对实验工作最有用的

同位素有： C^{14} ， P^{32} ， Si^{31} ， S^{35} ， Cr^{51} ， Ni^{59} ， Mo^{99} ， Ca^{45} ， Ce^{141} ， Ce^{144} ， W^{185} ，和水的同位素——氘。

对各种元素在鋼的鑄造結構中的分布情况及在均匀化处理时的扩散情况进行过研究，根据研究結果可以确定在結晶过程中，基本金属在鋼的宏观和微观体积中的分布情况。研究了热加工条件对各种元素在鋼內最終分布的影响，制定了一些有重要用途的鑄件的热处理规范。

利用放射性同位素研究了在鑄造和过热鋼中能导致鋼的晶間破裂和使强度急剧降低的結構形成的机理；根据研究結果，就可以制定在生产条件下消除这些严重缺陷的方法，那就是在鋼水中加入特种附加剂进行处理，加入这些附加剂就可使高强度合金鋼的热处理规范大大简化。

为了研究利用含錫废料中的錫来熔煉鋼的工艺过程，曾探討过保証磷和錫在主要熔炉中能分別氧化的条件。已經得出，在原則上可以利用含錫废料中的錫来进行熔煉。

利用放射性同位素研究鑄造中污垢来源的方法是很有前途的。利用这种方法可以找到出現污垢的原因，制定出急剧减少它的措施，从而大大地提高合格鑄件的产量。可以利用鈣、錫和硫的放射性同位素来研究鑄铁变形时的流动过程。研究了在加入鉍、鎢、钨、和鈦后，对硫和硫化物成分在鉻鎳鉬合金鋼內分布情况的影响。通过这些研究，可以确定硫的化合物形成特性随着鑄造条件，鋼的化学成分及其他因素而变化的情况，以及确定某种組分对鋼的塑性及韌性、特别是回火脆性的影响，并能找出最好的硫的化合物形成条件。

在貝尔米和高尔基国民經济区中，当設計在新的工业生产設備中連續浇鑄鋼水的工艺規程时，利用 C^{14} ， Si^{31} ，和 S^{35} 的放射性同位素研究了結晶的过程和鑄錠內夹杂物的分布情况，这样就可以找出結晶器最好的結構形状。

利用氫的放射性同位素——氘，对氫在合金中的分布进行射綫照象研究时，得到了很有意义的結果。

苏联科学院冶金研究所已完成下述工作：确定合金微观不均匀度和鑄造时輕合金冷却速度之間的关系，以及和压力加工时的变形程度，均匀化处理的加热状况之間的关系。当研究新的耐热合金鋼时，曾利用 Ca^{45} 和 Fe^{59} 的放射性同位素做为指示剂。

銲接工作中的一項最重要的任务，就是确定母体金属、电极絲和复盖层（助熔剂）中的各种元素进入銲縫的煉制合金中的比例，和有害杂质在銲縫中

的饱和程度。利用将被研究的各种元素放入母体金属、电极絲或电复盖层中的方法来研究每种元素从某一来源进入銲縫的数量。現已确定，在手工銲的銲縫中約有9—14%的硫是来自助熔层的。銲縫中有15—35%的硫是来自母体金属，从电銲条中进入銲縫的硫約为51—72%。銲接时若改变电流强度，这个比例关系也将随之改变。

利用射綫照象法研究了氫在奧斯丁体鋼的銲縫中的扩散机理，并找出了銲縫周围强度降低的原因。

利用放射性指示剂法可以大大改善銲接工艺。利用上述几种同位素可确定奧斯丁体鋼的銲縫产生裂口（热撕裂）的原因，研究了用ЭИ-257型号鋼制的高压輸气管銲縫局部破裂的原因。实验指出，銲接結構产生裂縫的原因之一就是由于某些元素在母体金属和銲着金属之間交界部位上的急剧富集。

提高机器零件和工具耐磨性是机器制造业的根本任务之一。应用放射性同位素可以确定机器和器具花費時間和費用最少的运行和技术操作的最佳工况，并且能选出最能抗磨的各种材料偶件，评价結構的好坏以及評定燃料和潤滑油的质量等等。

許多科学研究机关已制定了一些內燃机零件和变速箱磨損的台上試驗法和运轉試驗法，了解了潤滑油的防腐性能，并研究了切削刀具的磨損。

符拉基米尔和阿尔泰拖拉机工厂的磨損检查方法的应用經驗，可以表明放射性同位素用于上述目的所获得的經济效果。例如，符拉基米尔拖拉机工厂在冬季工作条件下对新的气冷式发动机的汽缸活塞組各零件的磨損进行了試驗，結果証明了磨損量降低到四分之一（根据汽缸外表面的数据）。发动机汽缸活塞組的总耐用度提高了50%左右。在工厂露天試驗站上进行的运行試驗的結果表明，要确定磨損速度只需5小时就已經足够了。

哈尔科夫拖拉机工厂利用放射性同位素进行活塞环粘結的研究，确定了潤滑油合理的换油期限，新的加长了的换油期限在实际中的应用不仅能大大地节约了柴油机油和費用，并且还能因降低了各零件的磨損而使发动机的使用期限增长。

由于全苏石油瓦斯加工和制取人造液体燃料科学研究所进行的各种油料添加剂性質和作用机理的研究結果，选出并已决定在工业規模生产供機車柴油机使用的ВНИИИИ-360号潤滑油附加剂。交通部中央科学研究所进行的实验室研究工作提高了机軸油的減磨性能。

全苏机械化研究所由于創造了馬达油快速試驗法，因而提出了关于ДТ-54型拖拉机发动机中齒輪

箱油的使用期限的建議。由于实行了这些建議,仅在俄罗斯苏維埃联邦社会主义共和国,每年即可节约柴油机油 2 万 5 千吨,約值 3,250 万卢布。

在金属切削加工中,放射性同位素可用于确定刀具材料的切削性能,决定結構材料的加工性和合理的切削规范,选择冷却潤滑液,制訂和校驗切削操作制标准,为設計金属切削机床提供原始数据等等。

应用放射性同位素可以不必停止切削过程而快速测量刀具磨損产物的数量,与測微計测量法相比,放射性同位素法可使試驗時間、金属及其他材料的消耗量减小到 50 分之一,并且提高磨損产物测量結果的精确度,稳定性和可靠性。这种方法可使原来以直綫尺寸記錄的刀具磨損量轉变为按重量或体积的测量来記錄磨損产物。

鑄件和焊接制件的 γ 射綫探伤是机械制造业中放射性同位素应用的主要方向,它能获得最令人滿意的經濟效果。

各工业企业利用 γ 射綫探伤法已經有很长的時間了,所以莫斯科包曼高等工业学校和苏联科学院經濟研究所曾对 100 个机械企业进行了研究工作并制訂了使用 γ 探伤而获得的經濟效果。应用 γ 射綫探伤而获得經濟效果的原因是:废品額的降低和产品质量的提高,及时地发现缺陷及其修补,在焊接和鑄造工艺过程中的檢驗,用 γ 射綫探伤代替了其他检查方法等等。由于使用 γ 射綫探伤法可使因焊接缺陷而造成的废品額降低到 $1/3-1/8$ (根据对补偿书的分析)。

由于即时发现缺陷和减少最終废品額,仅在德聶伯罗彼得洛夫的冶金設备工厂中,每年即可节约 70 万卢布;由于降低了返工的费用,在“俄罗斯柴油机”和“紅色鍋炉工人”工厂中,每年可节约 15 万卢布。当用 γ 射綫探伤法代替了伦琴射綫检查装置后,

使在检查厚度为 30—40 毫米厚的鑄鋼制件和焊接鋼件产品中的消耗降低 15—20%。在一个企业中平均每 5 万张 γ 射綫照片可节省 10 万卢布左右。由于应用 γ 射綫探伤法所得到的总的經濟效果,根据 1958—1959 年的統計,全国各企业每年总共可节约 2 亿到 2 亿 5 千万卢布。

放射性同位素更多地应用于檢驗工艺过程中的各类仪器上。

由于放射性同位素用于检查軋制帶鋼的厚度及白鉄皮上鍍錫层厚度的結果,可以使檢驗过程自动化,降低单位产品原材料消耗量,减少废品,并可提高生产率,保証企业在同样的生产能力条件下增加产品产量。

利用检查白鉄皮鍍錫层厚度的仪器所获得經濟效果,其原因是由于降低了耗錫量(在 1 吨白鉄皮上可节约 718 卢布),解除了部分工作人員的劳动,降低了輔助材料的消耗等等。在这种工业部門中完全使用放射性仪表时,机械制造业每年就可获益 8—9 千万卢布。

用无接触式(放射性)检查仪器代替接触仪器可使废品額降低到 $1/3-1/4$,并能把压延机的生产率提高 10% (分析 10 个以上軋鋼企业后的統計)。检查軋制鋼材厚度时采用的每一台放射性同位素仪器能获得的經濟效果每年約达 50—55 万卢布。

由于里加电机制造厂将 β 继电器应用在自动机床的連鎖装置上,这样可降低刀具消耗費用及解放劳动力,每年在每一台自动机上节约 1 万 5 千卢布,这样每年总计可节约 120 万卢布。

应该指出,在研究与采用新的放射性同位素檢查法和檢驗仪表的每一种情况下,要与現有的方法进行技术經濟比較,以証实其合理性。

芦緬采夫 (С. В. Румянцев)

放射性同位素和核輻射在农业中的应用

放射性同位素在农业上的利用首先是从研究植物、土壤和肥料之間的相互关系开始的,其目的是为了制訂一个合理施用无机肥料的規則。

借助于同位素法,已經找出了为满足植物在整个生长期內对无机营养元素的需要而施用无机磷肥的最好的部位和时期。也查明了有机-无机混合肥料的各种成分对植物吸收磷素的影响。

放射性磷在闡明植物根外追肥的农业方法上起了决定性作用。已經証明,涂在棉花叶子上的磷很快

被植物吸收,并大量进入生长点-幼叶和果实細胞。而棉花成熟期的根外追肥則促进产量和纖維质量的提高。因而,根外追肥作为一种农业方法在烏茲別克斯坦,塔吉克斯坦和苏联其他产棉加盟共和国内得到广泛采用。

放射性示踪法不仅有助于正确地解释使用顆粒肥料的高效性;同时也有助于規定对于各种不同的肥料,作物和土壤來說最合理的顆粒大小。根据已得的資料曾提出了关于改变化学工业所制造的顆粒

过磷酸钙规格的建議。索科洛夫 (A. B. Соколов) 利用放射性示踪法拟定了直接测定磷肥使用率的方法, 結果証明: 与一般概念相反, 在土壤中, 被施入的磷酸盐并不发生迅速的結合; 因此, 多年經常性地施用磷酸盐将导致其过量, 即所謂的“土壤磷酸化”。在磷酸化的土壤上, 追施磷酸盐就不会得到应得的增产量。

在实验站的实践中, 广泛地采用索科洛夫的同位素方法来测定被吸收的磷酸盐含量和磷肥利用系数, 就可以向国营农場和集体农庄提供在預期通过施肥能得到最大經濟效果的土壤上进行作物播种的根据。

据涅烏尼洛夫 (B. A. Неунылов) 的資料, 在海參威地区应用索科洛夫的方法促进了在水稻国营农場土地上磷素施肥制度的改善, 并从 1400 公頃的面积上增产了价值一百万卢布以上的产品。

但是学者們所获得的資料还没有进行广泛地宣传, 而且很少为农业生产实际工作者所采用。

还有另一个比較有发展前途的領域, 在这里利用同位素方法有助于为那些不費巨大代价而使产量增加的农业方法提供根据, 这就是通过給植物噴洒化学物质的方法最大限度地使植物綠色部分可塑性物质有效地形成收获物。根据馬鈴薯栽培研究所的資料, 当馬鈴薯收获前在其叶莖上噴洒硫酸銅溶液, 則产量增加 50 公担/公頃 (产量为 200 公担/公頃)。

大家知道, 在机器收割前为了快速摘除棉花叶, 乃用化学物质做为脫叶剂。中央亞細亞棉花栽培研究所利用磷的放射性同位素确定了: 什么样的脫叶剂可以保证养分从脫落的叶子里最多地进入棉鈴中去。特别是, 当叶子自然緩慢干枯时, 进入叶子的磷素有 25% 轉移到棉花壳和棉鈴中去; 用氯化鈣脫落时則是 19%; 而当以氯化鎂脫叶时, 仅 3—6% 轉移到棉花壳和棉鈴中去。应该认为: 正确地选择脫叶剂, 在最短時間內可以得到巨大經濟效果。

近年来又开始发展了一个新的方向——即在植物选种实践中应用示踪原子。利用磷的放射性同位素, 根据小麦幼苗吸收磷的速度的相对变化, 規定了冬小麦抗寒性的早期診斷方法。确定了品种抗寒性与 P^{32} 进入强度之間的一定相关性。利用磷的放射性同位素不同的进入速度的方法也适用于测定棉花的早熟性以及黃瓜第一个真叶形成时期的早熟性。

在會議上, 再次提出了一个久悬未決的問題——为了提高产量而在播种前对农作物种子进行 γ -照射的实际应用的可能性問題。

不同的科学家得到了各自相反的結果, 但是总

的說来刺激效应的存在則未被否定。庫津 (A. M. Кузин) 及其同事們提出了这样一种可以在实践中推行的方法, 即用 300—3000 伦琴的剂量对农作物特别是蔬菜作物 (胡蘿卜、小紅蘿卜、番茄和甘兰) 的种子进行播种前 γ -照射, 这就使这些作物的产量提高 15—30%。根据苏联科学院經濟研究所計算, 上述作物的待播种子中有 25% 进行照射, 則每年将增加价值 2 亿卢布的产品。

在农业上利用辐射的另一重要方向就是利用电离辐射来加速农作物的遗传演变, 以促使其得到新的有益特性。在小組內曾經介紹了关于如何取得經濟上有前途的冬小麦辐射变种 (小麦——鵝冠草杂种 186 号) 的材料, 它具有短而堅韌的莖稈, 大穗以及对黑穗病和白粉病的抗性。

为了同农业害虫作斗争, 在广泛地应用化学毒剂。到最近为止还没有一种足够灵敏的方法能够测定动植物經化学毒剂处理以后在所制成的食品中存留的极少量有毒物质的数量。現在利用同位素碳¹⁴已証明, 不可忽視至少量的高毒性物质, 它在施用以后超过四个半月的時間內还发现在牛乳中。化学毒剂随牛乳进入动物有机体以后, 首先长期地寄存于脂肪組織以及腦髓、脊髓和骨髓中。

在小組內报导了已研究出的用同位素检查农作物化学毒剂处理效应的方法, 这种方法是寻求样品 (叶、莖和插条) 的活性与噴射溶液的单位容积活性的比例关系。通过在生产条件下对这种方法的檢驗証明了它适用于确定各种不同噴射裝置的最好的技术經濟工作指标。

托米林禽类制品厂的人員同苏联科学院遗传学研究所的共同工作表明了, 在鸡蛋孵化期中可以利用极小剂量的 γ 辐射 (0.001—2.0 伦琴) 来刺激胚胎发育 (雛鸡出壳率提高 3.5%) 以及提高胚胎发育期中被照射过的幼母鸡的产卵能力 (提高达 12%)。实际上雛鸡生活力和母鸡产卵量的提高可以提供巨大的經濟效果。

在水利土壤改良和机械化方面, 应该提出对土壤中示踪水移动情况的研究工作。这些工作有助于論証在重粘土上利用更簡便的新排水法的必要性。这方法規定了敷設疏散的排水管道使其与地表的农业土壤改良措施相結合, 这将使得每年节约将近二百万卢布。也报导了放射性测量仪表設計方面的研究工作, 而这些仪表将使各种观察和测量時間縮短几十倍。特别是已設計出一种 γ -混浊度测量仪, 用来測定流水中悬浮的和被吸引到底部的泥砂的稠度。与常用方法比較, 这种仪器将使測量時間由 5—

12 小时变为 2—5 分钟。中子湿度计的制造成功也是值得提及的，用它可以在几分钟内测出土壤中水分的绝对量(每一立方厘米的土壤中含水若干克)。同样地，根据 γ -射线吸收和散射的原理制成了 γ -土壤湿度计和用来测定地面雪复盖层中贮水量的 γ -仪。上述仪表已开始应用到科学研究和实验机关的实践中。1960 年将使用约 60 种 γ -湿度计。上述仪表将不断提高劳动生产率，并在生产中广泛地应用时每年可能节约 200—350 万卢布以上。

阿尔切米也夫(Ю. Н. Артемьев)和斯拉别尼昂茨(Р. А. Срапеняц)拟定了一种简单而准确的方法可以直接在运转着的拖拉机发动机上测定活塞环的焦化时间，这种方法适合于在发动机上快速检定不同牌号柴油的使用品质以及确定机箱中最好的换

油期限。根据田间试验和实验室试验确定，要保证 ДТ-54 发动机的长寿命和安全运转，则它的换油时间不是象过去规定的那样每隔 120—180 小时换一次而是隔 360 小时换一次。

借助于同位素的方法，研究了种子在筛选装置的筛网上的运动特性；选定了利用气流和筛子的抖动按在干燥环境中的比重来分选种子的最好的操作制度。所得资料便利了对精确地按照比重来分选种子的机器的设计工作。据了解，用这样的种子播种使产量增加到 20—25%。

根据不完全的缩小的统计，在农业上采用这些利用同位素和辐射而完成的工作成果，每年将节约 4 亿 5 千万卢布。

杰祖林斯基(В. М. Зезюлинский)

放射性同位素和核辐射在食品工业中的应用

放射性同位素与核辐射在食品工业上的应用范围，基本上有下列几方面：

1. 用强烈的电离辐射对食物制品进行处理，借以延长贮藏期限，防止食物制品的虫害，并改变被加工的原料性质等等。

2. 用放射性同位素(示踪原子)作指示剂来研究工艺过程与设备，使其改进。

3. 将放射性同位素用于控制而使工艺过程自动化的仪器中。

强烈的电离辐射在食品工业中的应用是一个十分复杂的课题，不但须解决技术操作的种种问题(如选择辐射所必需的剂量及辐照方法，拟订制品接受照射的准备程序及受照物品的贮藏条件等等)，而且也须解决关于受照制品的除害及食用的问题。

目前我们已累积了大量资料，表明辐射的处理在 5—12 兆电子伏以下时，食物制品中并不存在感应放射性，而且有毒物质及致癌物质均已消失；同时也已确认，经过 γ 辐照以后，某些对人体有价值的物质(抗败血酸，硫胺素，麦胚酚)遭到破坏。但在制品进行热处理时，也可见到这种破坏情况。某些制品发出了未经辐照食物所不该有的滋味及气味，这也有很重要的意义。

这种因复杂的氧化还原过程而引起的变化强度取决于制品的化学成分及照射剂量大小。因此，若用 1,500,000—2,000,000 拉特的剂量来照射肉类，它便发出一种特殊气味，这种气味在烹饪时即消失。若把剂量减少到 500,000 拉特，这种特殊的气味不

再发出。相反地，把剂量增加到 4,000,000—5,000,000 拉特，就会引起器官感觉性能及化学成分的剧烈变化(破坏维生素，起氧化作用等等)。

对植物类制品进行辐照时，通常不会产生另外的杂味和气味，但可观察到组织的某些软化现象(其强度远较制品在热处理时为小)。

应用各种方法做好食物制品的事先准备工作(如抽真空，冷冻和加入接受体等等)，能减低辐照作用下所发生的变化强度。

对某些制品进行辐照时，必须考虑到它们在酵素作用下所发生的变化；只有在照射剂量达 10,000,000—15,000,000 拉特时酵素才完全钝化。因此，倘若制品中存在着颇为活性的酵素系统，则必须采取补充办法(轻微的热处理，为贮藏所必需的适当温度，阻化剂的应用等等)使其钝化。

由此看来，在对食物制品进行照射时，必须设法减低剂量；这不仅是从技术及经济的观点出发，同时也是为了提高受照食物的质量。因此，照射的剂量定得愈低，将此法迅速应用于实际的可能性愈大。基于这些理由，可以得出以下结论：电离辐射在工业上的应用，以下列各个领域最为合宜：防止马铃薯发芽，食物制品的杀虫工作，以及延长易腐食品的贮藏期限。

苏联科学院生物化学研究所所作的研究表明：马铃薯在块茎休眠完毕时发芽，与其生长点的胞核酸的合成有关。这种合成作用在辐照下骤然缓慢起来。因此，马铃薯的块茎若用 10,000 伦的剂量进行

照射，那末它即使在地窖里貯藏一年另二个月而不加人工冷却，也不会发芽。可以預計，用5,000到10,000拉特的剂量来照射馬鈴薯，再与其他方法合并使用，可以将它的貯藏期限延长一年半之久。

苏联保健部已准許将10,000伦剂量以內照射过的馬鈴薯用来充当食物，并决定在最近的将来建立一座試驗性的生产设备，作为辐照块莖之用。在这个设备里，拟采用鈷⁶⁰作为辐射源，其总放射性为50,000克当量镭。这个设备每季能处理馬鈴薯20,000—25,000吨。

根据苏联科学院經濟研究所的資料，把辐照应用到馬鈴薯上可能节约一千五百万卢布。

无数的試驗証明，若用10,000—50,000拉特的剂量进行照射，可保証消灭害虫的生殖机能，从而使谷物、米、干蔬菜与果类以及浓缩食品在貯藏时不致敗坏。苏联医学科学院食物研究所的試驗說明：谷物經過30,000伦剂量照射后，其性质与未受辐照的谷物毫无差別。

在工业上利用射线杀虫，必須作好半生产規模的研究工作。这一工作，将于1960年用全苏谷物科学研究所的特殊的强鈷(100,000克当量镭) γ -射线装置来进行。

在造成食品变质的許多原因中，微生物起着极为重要的作用；由于微生物的生机活动，大大地改变了食品的化学成分与性质。

电离辐射抑制了微生物的繁殖和它的別种生活功能，有的部分地，有的全部地，要看所用的剂量而定。苏联科学院微生物学研究所曾就电离辐射对微生物在生理学、形态学及其他特性方面的影响进行了詳細研究。究竟用多少剂量才能杀死微生物，要看微生物的种、系、外在条件及其他因素而定。要使食物制品中大部分細菌鈍化，需用1,500,000—2,000,000拉特剂量单位的照射剂量。但某些較頑固的微生物需用5,000,000拉特剂量单位的照射剂量才能完全消灭。这样高的剂量会使多种食品的化学成分及滋味大大地改变，特别是乳类。

实验証明：微生物同一系的各种細胞，对射线的稳定性各不相同。只有为数不多的細胞对射线具有高度的稳定性。絕大部分微生物用較低的照射剂量(50,000—500,000拉特)后即行死亡，对食品的质量并未造成严重損害。如果所用的照射剂量足以使90%以上的微生物細胞死亡，那末，正如中央罐頭及干菜工业科学研究所的文章所指出的，食物制品的貯藏期能延长二倍到七倍之久，而质量并不因此变坏。

应用辐射使食品中的細菌完全杀死，这是一个相当复杂的问题。在这种情况下最有发展前途的，可能是采用一种綜合性消灭微生物的办法(与輕微加热、抗菌素的处理等相結合)。

在苏联已建立起二座实验性的照射设备，以便全面研究有关利用辐射来处理食品的种种問題。一座设备利用装有鈷⁶⁰的放射性辐射器，鈷⁶⁰的总活性为220,000克当量镭，剂量功率每秒可达2,500伦。另一设备系5,000,000电子伏的直线加速器，照射剂量的功率保証达到每秒100,000伦。

全苏啤酒酿造业科学研究所曾用示踪化合物对酵母在酒精发酵时的新陈代谢进行了一系列的研究。研究結果，使后发酵期順利地轉入了主发酵期；加速了与氧化还原变化有关的阶段，并利用发酵制备物来达到这个目的；为了二氧化碳饱和，用了压力为3—5大气压的二氧化碳；为了进行澄清，用分离器作了快速过滤。在用示踪化合物研究发酵与后发酵过程的基础上，新的酿造过程使发酵时期从八昼夜縮短到二昼夜。这种新的工艺已被应用到生产上来。

酒精发酵方面其他重要問題，已由中央酒精工业科学研究所进行研究。对微生物各种培养基的培养价值研究結果，說明了要保証酵母的正常生机活动，谷物的麦芽浆含有干燥物质15°或15°以上(系根据糖度計)。这种麦芽浆具有足量的氮、磷及維生素。因此在采用这种麦芽浆时不必加上綠色麦芽，这样可以减少谷物制品的消耗。

莫斯科肉类乳类工业工艺研究所曾对奶油的結構进行研究，这种奶油是借助于氯化鈣溶液。示踪同位素鈣⁴⁵用种种方法(攪拌法及流水作业法)取得的。此外又研究了食盐在干酪块中的扩散过程，以及鈣在凝乳酶凝聚时对酪素的吸附作用和这吸附作用依赖于乳类酸性的程度。在研究干酪融化过程的基础上証实了：(在融化时曾用带示踪原子的盐)食盐阴离子与干酪蛋白質的相互作用带有吸附性。

全苏肉类工业研究所曾用示踪原子研究了肉类制品的盐醃过程，并闡明肉类蛋白質在制造熏腸过程中的变性作用。結果証明了将肉与腸身沉积在盐水中一起盐醃的方法，比干醃后在空气中灌腸的办法更为优越；因为在前一情况下，肉类蛋白質不会变性，因而烟熏成分容易进入香腸內部。这样就加速了优质香腸的制造过程。

全苏漁业暨海洋学科学研究所曾用示踪原子进行了一些工作，这些工作对漁业十分重要。研究指出，如魚体内鈣离子含量过多而鎂离子太少，我們就

发现它的新陈代谢减退,生长迟缓。增加镁盐浓度能促使鱼类发育。既得的数据,使我们由建议鱼类加工厂在养鲤鱼的池内放入镁盐来增加水的硬度,镁与钙的相互关系应为1:4。此外又证明钴在新陈代谢中起着很大的作用,在养殖池鱼的人工饲养过程中,每昼夜在一公斤饲料内最好加上0.7—0.8毫克普通的钴,这样可促进鱼类生长,延长它的寿命。用这种饲料进行喂养,小鱼即使在显然恶劣的环境里过冬,其产量也较定额高五倍。

全苏池鱼业科学研究所的试验说明了:养殖食用鲤鱼时在饲料中加上微量的钴,每条鱼的平均重量可保证增加14%,总产量可增25—27%。只要全苏有半数池鱼业用钴加在饲料内,那末到1965年国家就有七千五百万卢布左右的额外收入。

全苏谷物科学研究所曾用放射性指示剂做了某些工作,以解决制粉业及混合饲料业所感兴趣的若干问题。最近面粉方面愈来愈广泛地掺入维生素,混合饲料中则加入了维生素、抗菌素及某几种金属盐类。既然这些附加物的数量只及制品的几千分之一,那末它们在制品内所分布的均匀性在很大程度上要看混合器的构造而定;而它们掺和的均匀程度,只有用放射性指示剂才估计得出。根据实验结果,在五种已作过试验的装置中,有两种混合器被推荐于在工业上应用;目前,饲料配合厂及制粉厂即将采用这两种混合器。实验结果,又指出了最合宜的混合方式。

目前我们正在研究麦粒在各式各样调节方法下水分的吸收与分布过程。这一问题的解决,对改进麦粒的磨粉准备具有重要意义。

莫斯科农业机械化电气化研究所用放射性指示剂研究了谷物在选种机内运动时的若干参数,全苏谷物科学研究所则研究了谷物在立式去壳磨米机内的一些参数。

放射性同位素检测仪器的应用:制粉厂及饲料配合厂自动化过程所遇到的主要困难之一,就是对谷物在盛粉筒与青貯塔内的注满程度缺乏可靠的遥控测定办法。现下使用的水准器(膜式、电容式)需与制品直接接触,这样会使传送器发生严重堵塞,结果引起示度错误,并使仪器迅速损坏。此外,现有大部分水准器能够测定的只是靠近盛粉筒壁或青貯塔壁部位的制品的位置。

上述情况促成制粉业部门宜于采用 γ -射线水准器,它应当有四个位置(二个位置在盛粉筒下部,二个在上部),仪器的起动时间不应超出五秒。另外,辐射源与接受器的尺寸应尽可能小些,以便配置在

青貯塔内部,因之仪器的起动极限值应当低些。考虑到青貯塔建筑之大以及邻室空气中会沾满灰尘,必须尽可能将仪器的“电子—继电器”安放在离传送器150米以内的地方。

全苏谷物科学研究所为适应上述需要,已制出ГВ-2型四道 γ 水准器。辐射源放在青貯塔壁里,使辐射线同时射向四个传送器,这样一来就可能三倍减少辐射源的必需量。

同一研究所又研究出一种根据穿过辊间间隙的射线强度来测定正工作的辊间间隙大小的无接触测量法,用此法来代替过去将铅片穿过辊与辊之间再测其厚度的方法。进行的试验表明,仪器的示度对间隙的大小有线性关系。用 β 辐射源时(铯⁹⁰)可以测定小至0.05毫米的间隙,其精确性可达几微米。

成组的РІРУ-4型仪器可用来控制酒精厂及甜酒、伏特加酒厂酒精进料注合车间巨大容器内(4,000—10,000升)的酒精液位。液位测定可在容器上部的二个位置进行(第一个信号是预备的,第二个是执行的)。

为了补充上述这种经常的固定部位地控制灌注情况的系统,还可以采用一种定期测量槽内酒精液位的方法,以求更为精确地查清酒精的数量。这种测定可借РИУ-9型仪器来进行,为此必须把放射性浮子的小管安放到槽里去。

在薩拉托夫肉脂联合厂内,已应用УР-6型仪器来控制与调节在氯化时压热器内制品的液面。在克拉斯諾达尔的肉脂联合厂内,УР-4型水准器用以控制并调节造甘油用的真空蒸发设备蒸馏釜内物质的液位。

在制糖工业里, γ 射线继电器可用以测定糖萝卜料槽内的装料面。由于这种料槽在装料的同时要发生强烈的振动及冲击作用,所以常用的接触式水准器很快就会损坏,而宜采用不接触式 γ 射线水准器。

射线继电器其他方面的用途,应当一提的是它可用以计算流水作业中的成件商品(РПС-11型仪器也可以使用)。在某些场合下,用РБП-1型仪器对瓶内注满程度进行自动检查也是适宜的。目下工业上出产的РСДА-1型自动装置,在许多场合下可用于多种成分混合物准备过程的控制与自动化,它保证可能根据液面的位置来进行液体的配料,其精确度为 $\pm 1.5—2$ 毫米。

放射性密度计(精确度为 $\pm 0.5\%$)在酿酒工业上可用以测定被汲到发酵间的酒母的密度,并可测定过滤后的啤酒密度。

为了控制与调节各种液体混合物的准备过程，拉脱维亚共和国科学院物理研究所已设计出一种活动位置的密度调节器。这种调节器以使用普通的液体比重计为基础，比重计的位置受放射性继电器不接触式的控制。这种密度传送器用在单效真空蒸发器工作的自动控制线路里，蒸发器系凝结甘油液之用。拉脱维亚共和国科学院物理研究所与里加油脂联合厂的专家们所规划出的线路图里，规定使用放射性液面传送器及温度调节器。运用了这个线路，就可使蒸发站的生产量增加40%，蒸汽的消耗减少3%，电能及水消耗减少23%，甘油的损失也可减少至0.01%。每一真空蒸发器每年节约总数达6400卢布。

全苏乳类工业科学研究所自动真空蒸发实验站内生产含有糖分的炼乳时，利用了 ПЖР-2 型仪器，实际作成了干燥物质的自动控制与调节的系统。温度的变化在 $\pm 2^\circ$ 范围内并未引起对干燥物质测量结果的显著误差。

里加“6月17日”糖果点心厂专家们与拉脱维亚

科学院物理研究所科学工作者合作下制订出制作方格片糕，面糊的自动化系统，这是射线继电器在糖果点心业上一种有趣的运用。在这系统中，РСДА-2型放射性混合定量自动装置作为一种基本元件而加以应用。

在总结放射性同位素与核辐射在食品工业上的应用时，应当指出这一领域内广阔的利用条件；但与此同时，在许多情况下，它们是否适用和经济效果如何尚未搞清。因此进行下列工作是适当的：(1)完成用有强烈辐射源的设备对食物制品进行照射方面的综合性研究；(2)扩大示踪原子利用的研究范围，为此须保证食品工业的专业研究部门有相应的仪器以及食物制品内的示踪复合有机化合物（蛋白质、脂肪、维生素）；(3)研究应用放射性同位素仪器的生产过程自动化系统，并设计出新的放射性同位素仪器，来操纵一系列的制造过程，使其精确性与其他条件均能适应食品工业的需要。要制成试验性的样品及一小批的这类仪器，必须保证有生产基地。

罗加切夫(В. И. Рогачев)

放射性同位素和核辐射在医学中的应用

里加会议与以前所召开的研究医学利用放射性同位素问题的所有会议都不同，它的重要特点是强调在医学临床实践中实际应用放射性同位素和核辐射。

报告人在会议上指出，苏联具备在最近几年内大大扩大放射性同位素在医学实践中的应用范围和用现代化放射医学技术装备保健机构的一切可能条件。

在进一步发展放射医学的事业中，放射物理学家应该起巨大的作用。由于已经出现了复杂的放射医疗设备，他们应当在制定射线治疗计划和寻找及临床应用放射诊断新方法方面，向放射科医生提供经常的帮助。这种共同工作的良好作用已由题为“同位素定位脊髓肿瘤时的自动 γ 射线照像和扫描”[阿腊克洛夫(О. Г. Аракелов)，加别洛娃(Н. А. Габелова)，利亚斯(Ф. М. Лясс)，马尔图索夫(Е. Г. Мартусов)]和“多路射线照像及其临床应用”[弗兰克(Г. М. Франк)，加别洛娃(Н. А. Габелова)，利亚斯(Ф. М. Лясс)，马洛夫(Г. А. Малов)]的报告所论证过了。苏联科学院生物物理研究所研究成功的仪器—— γ 射线照像仪和八路射线照像仪，可使放射性同位素在临床实践中成功地应用于脊髓肿瘤定

位和研究血流力学的隐秘过程。报告人指出，设计专用仪器可以更广泛地在诊断学中应用放射性同位素，仪器的高灵敏度可提供大大减少投入体内的放射性药品数量的可能性。

别利亚科夫(В. А. Беляков)，沃尔科夫(В. А. Волков)，古利亚耶娃(Э. Г. Гуляева)，卡兰塔罗夫(К. Д. Калантаров)和什维尔科娃(И. И. Швыркова)提出了题为“关于设计记录早期局部诊断癌时体内 β 放射性的剂量检查仪”的报告。他们设计的闪烁发送器能记录 β 辐射和在给病人投入指示数量 P^{32} 时测定高放射源。这一点已经临床应用于诊断子宫颈癌了。

罗津内(Д. Л. Розинный)研究一批病人后证明，使用放射性磷体测定肿瘤(积累 P^{32} 的数量比健康的骨骼多)上面的辐射辐射，能够诊断出乳腺向骨组织的转移。阐明临床应用同位素的报告中有科集涅茨(Г. И. Козинец)，菲尔图科娃(Н. М. Фертукова)，希基科娃(М. Г. Шитикова)的报导“自动射线照像法在血液学的研究中”。借助这一方法可以测定骨髓细胞的发育期间，输入血细胞的成活率，这在换某些血液病时是一个可贵的诊断测验。

尼庫林(Н. Г. Никulin)报导了使用 J^{131} 测定

ко), 費多羅夫 (Ю. П. Федоров), 沙夫臨 (Г. М. Шаврин), 沙莫夫 (В. П. Шамов) 描述了安裝在 УАЗ-450A 型汽車上的, 使用半導體儀器的流動式快速放射分析室。

米海依洛夫 (М. М. Михайлов) 和阿巴庫莫夫 (Б. М. Абакумов) 在題為“採用直流半導體變電器工作的電離輻射劑量器”的報告中, 報導了關於製作能夠代替 ДК-3 和 ДК-0.2 型劑量器的缺乏電池的半導體變電器的情况。

札德格尼德捷 (Г. А. Задгенидзе) 和沃羅比耶

夫 (Е. П. Воробьев) 在根據部通過的決議所做的簡評性報告中指出, 放射性方法是治療人的強大手段, 射線治療的現代方法能夠給予患惡性病的病人以極重要的醫療幫助。但是現在放射性同位素主要是蘇聯大的主要研究所應用在診斷和治療方面, 在普通醫院中還沒有得到廣泛的實際運用。現代放射儀器的研究和製造工作是不能令人滿意的。會議的參加者建議蘇聯保健部仔細地研究會議的資料並定出進一步發展放射醫學領域內的工作的具體措施。

利亞斯 (Ф. М. Лясс)

控制和使工藝過程自動化用的 α, β, γ 輻射源

各種不同性質的人工放射性同位素和輻射源的出現, 為工業各部門的工藝過程提供了制定和設計新的調整和檢查方法及儀器的可能性。

目前, 已經研究成功並在工業上應用的無觸點放射性厚度計、密度計、水平計、探傷儀及許多其他用於解決各種工藝任務和研究任務的放射性儀器。

在研究成功的儀器中有很多都已大批生產, 例如: 卡盧斯基高溫測量儀器廠生產 РИУ-1 型水平指示器, УР-6А 型和 УР-7 型水平儀, ПЖР-2 型密度計, МИР-3А 型壓力計等; 塔林檢測儀器廠生產 ИТУ-495 型、ИТУ-496 型和 ГТ-150 型厚度計, БИВ 型測重器, Р-4 型壁厚差度計及 РСН-11 型物品計數器等; 哈爾科夫檢測儀器廠生產電子學繼電器; 莫斯科 X 射線設備製造廠生產 γ 探傷儀等儀器。

在研究儀器的同時, 並對用於上述和其它一些儀器的各種放射性同位素源的製備工藝做了進一步的發展和完善的。

由於使用放射源的條件是各種各樣的, 因而, 在設計放射源結構時, 極為注意安全問題和防止對周圍物品、房屋的可能沾污。

另外, 還必須考慮到更高的工藝要求, 其中有, 輻射源能在零下幾十度到零上 200—300°C 溫度下, 於空氣介質和液體介質中工作。而且介質還可能是浸蝕性的。而輻射源也許要承受很大的撞擊負荷和振動負荷。在這樣情況下, β 輻射源特別是 α 輻射源應該是很薄的一層放射性物質, 並與承載板牢固相聯, 用防護材料絕緣, 一方面要保障在小量軟致輻射情況下得到最大的粒子產出率; 另外一方面要保障輻射源表面的清潔。由於科學家、設計師和工藝師們的努力, 這些問題中的有較大一部分已經順利地解

決了。

輻射源的製備技術有三種方法:

1) 呈絲狀、棒狀及其他形狀使用放射性材料。屬於這一類的, 主要是用鋅絲、鈷絲和銀絲制的 γ 輻射源, 以及經核反應堆照射過的鈷棒狀、 γ 輻射源。考慮到放射性物質的氧化度增高, 因此, 只有不超過幾十或幾百毫克-當量鎘的低放射性源才可製造成這種形式。在某些情況下, (銨²⁰⁴) 活性材料還要補充地包在鋁箔中。尤其是在使用這種源進行工作時, 必須非常小心, 裝在儀器中時, 希望和儀器的其他部件完全絕緣。

2) 呈細頸瓶狀使用放射性材料安瓶。這種方法基本上應用在製備中等或高放射性 γ 源, 放射性材料或者放到單的或雙的細頸瓶細致地封蓋收口。(Co⁶⁰, Tl²⁰⁴, Cs¹³⁴, Ir¹⁹² 等), 或者焊接在玻璃細頸瓶里 (Zn⁶⁵) 或者是金屬細頸瓶里 (Cs¹³⁷, Cs¹³⁴)。

3) 以在各種底板上塗上活性層的方法製備輻射源。這種方法基本上適用於製造含有同位素 Sr⁹⁰、Pm¹⁴⁷ Pu (鈾) 及某些其他材料的放射源時使用, 活性層以電解或者塗釉的方法塗上。

借助這些方法能夠得到可靠的在實際應用中好用的 α, β 和軟致輻射源。為了防止活性層的機械損傷, 同時也為了在需要時獲得軟致輻射, 在某些情況下要將源放到特製的小盒內。

目前, 不算大量試驗性生產的輻射源外, 在工業上已成批生產由 14 種放射性同位素構成的 200 多種輻射源。這樣多的輻射源本身就要求進行某些分類, 為的是使輻射源生產標準化和定型化, 也為的是減輕合理選擇輻射源的負擔。

生產過程的控制自動化所需的全部放射性儀器的工作基礎是確定核輻射與所研究的物體之間相互

作用特点的某些数量不大的原理。这首先是辐射通过物质时要减弱，在介质边界射线要反射以及辐射的电离性能。显然是这些原理应当确定源的分类。

在研究 γ 源时，应该指出在某些情况下，它们的总和光谱明显地不同与相应同位素（由所产生轫致辐射）的光谱，不同与与内转换，电子俘获和正电子湮没有关的辐射的光谱有差别的。例如： Tu^{170} 源的总和光谱的平均能量是80—200千电子伏（由源的类型而定）而代替了表上的值84千电子伏； Zn^{65} 源的平均能量等于0.35兆电子伏，而代替了表上的值1.1兆电子伏，以及其他等。

这样由 Eu^{155} ， Se^{75} ， Ce^{144} ，和 Zn^{65} 制成的源属于软辐射体组，这些源可以推荐用于轻合金，金属及重金属薄层的探伤用，及用于记录低原子序数材料上反射射线的工艺检验仪器中。其余的一些源最适宜用于对黑色金属较厚的层的探伤。

在选择 β 辐射源用于这种或那种目的时也应当是这样处理，看过目前所生产的 β 辐射源之特性，很容易把它们分为两组

1) “纯” β 辐射源（片状和圆盘状的 Pm^{147} ， Tl^{204} ， Sr^{90} ，和圆盘状的 Ce^{144} ）。这些源适用于消除物件计数仪器和镀层厚度测量仪中的静电荷。

2) 强轫致辐射源（片状的 Ce^{144} БИ型源的 Ru^{106} ，和 Sr^{90} ），这些源适用基于辐射穿过物质原理而工作的仪器。

辐射仪器制造技术的进一步发展，与设计关系到研究任务的顺利解决。也就是如何进一步完善已研究出来的仪器和源，以及在这个范围内组织新的研究工作。

小组会议的结果对过去的工作做了某些初步总结，并确定了仪器制造业进一步发展的基本途径。

庫里什(Е. Е. Кулиш)

簡訊

苏联 1960年6月在埃里温（亚美尼亚苏维埃社会主义共和国首都）召开了第四届全苏高能物理和基本粒子会议。出席会议的有苏联科学院物理研究所、格鲁吉亚、哈萨克斯坦和亚美尼亚科学院物理研究所、联合原子核研究所以及列宁格勒和哈尔科夫物理技术研究所的代表。

英国 在温福里特原子能研究中心开始建造试验性的“龙”牌高温反应堆。该堆拟于1963年投入运行。

英国 在温得斯凯尔制备了20克纯镅，为此曾对100多吨化学加工的照射过的燃料废料进行了处理。同时还提取了钆。在温得斯凯尔共制备了100克各种不同的稀土元素。

以色列 1960年7月，在特拉维夫附近的原子核研究中心，功率7000瓩的游泳池型研究性反应堆达到了临界状态。

印度 生产释热元件的工厂已在孟买建成。该工厂将为原子能发电站（拟于1964年投入生产）供应燃料。估计，工厂的年产量为20吨。

荷兰 国立原子能研究中心和工业公司共同设计一个船用压力水反应堆，其功率为6万瓩。

挪威 在原子能研究所的JEEP研究性反应堆上（1951年起动）发现重水（慢化剂）罐有漏洞。为了消灭事故，已经停堆并全部卸下铀棒。JEEP反应堆第一次严重的事故使得国内的放射性同位素的生

产停止。

秘鲁 在的的卡卡湖附近，计划建造一个功率为10万瓩的原子电站。

美国 1963—1970年，计划在9个遥远的地区建造电功率为5—40兆瓦的小型电站。经研究证明，从经济观点来看，在某些地区建造原子能发电站要比建造普通电站合算。

美国 为了改建，于1959年6月停止运行的试验性沸腾水动力堆（国立阿贡实验室），又重新达到临界状态。该堆的热功率由2万瓩增加到10瓩。

美国 “水锅炉”型的原子核反应堆的设计已提交给原子能会议的联合委员会。审查将这种反应堆安装在客货商船上沿太平洋航行的可能性。

商船可容纳1450个乘客，航速为26节，其造价为92000000美元。

美国 “Миннеаполис-Хонгуэлл регулятор”公司设计了一个试验性再循环的铀堆的自动起动系统，该堆目前正在华盛顿州汉福特为原子能委员会建造。在自动起动系统采用了两级按钮控制，特殊仪表可以测量和检查分裂的速度。当堆功率达到2000瓩以后，操纵员在第二级可将功率提高到事先规定的任何一个水平上，直到7万瓩。

法国 1960年4月初，马库尔两用反应堆G-3已生产工业用电。

法国 在EL-3反应堆（在萨克莱）上取得了

低浓鈾鉬合金制造的释热元件燃耗的第一次实验结果。用铝作为复盖层。释热元件表面的最大温度为 1200°C ，其比功率为4万瓩/吨，生产的能量为400万瓩·昼夜/吨鈾，代替了预先估计的300万瓩·昼夜/吨。某些释热元件的燃耗度达到700万瓩·昼夜/吨，而且未观察到释热元件发生变形。

法国 在1959年内国内 U_3O_8 的生产量达到900吨。估计，1960年法国氧化鈾的生产量将增加到两倍。

西德 在尤里赫原子能研究中心建成了堆结构研究所。预计，在尤里赫共建造13个研究所。

瑞典 国家动力管理局、瑞典 ASEA 公司和不列颠原子能公司正在共同设计一个卡德尔豪尔型的

地下动力堆，其有效电功率为235,000瓩。

日本 通商产业省(相当于外贸部和工业部)批准了在国内建造原子电站的远景规划。除了热电站以外，计划规定工业用的原子电站，大概从1971年起，国内原子电站的总功率应达到1百万瓩。估计，到1980年，日本原子能发电站的总功率应达到6—7.5百万瓩。

日本 原子能科学研究所设计了一个报导发现放射性的自动系统。这一系统将安装在东京的原子工厂，并记录工厂放射性的逸漏，以及国外核爆炸而产生的放射性沉积物。系统的全套包括电传打字机设备，它将自动地打印出关于大气中放射性的消息。系统的大概造价为5千万日元。

新 書 介 紹

最 新 文 獻

書籍和論文集

原子核地球物理 (放射性輻射和放射性同位素在石油地質學方面應用的論文選集) Ф. А. 阿列克塞耶夫主編。莫斯科：國家燃料工業出版社。1959年。372頁。12盧布90戈比。

本書介紹的是放射性輻射和放射性同位素在石油地質學方面應用的一些資料。敘述了記錄中子和 γ 射線的放射性測量儀表；對各種岩層模型的研究結果，以及利用感應放射性測定鑽井內岩層的方法的原理等等……。

介紹了利用中子對岩層的孔隙性作定量測量的方法的結果，以及利用中子和感應放射性來確定岩層中水-石油接觸點的位置。

闡述了在鑽井中放射性測量方法應用的基本問題。介紹了一種尋找石油產地的放射性測量的新方法，其原理是在石油產地區域內對地球表面放射性進行測量。

卡漢。Т. 郭集。М. **核反應堆物理和計算**。譯自法文。莫斯科。原子能出版社。1960年。392頁。19盧布40戈比。

本書是核技術教程三卷中的第一卷。本書內容包括核物理基礎、放射性和核輻射的性質，以及核裂變過程和鏈式反應。討論了核反應堆穩定性理論和動力學。敘述了均勻反應堆和非均勻反應堆的計算方法，並通過對運行設備的數值計算的實例和特性的介紹，具體加以闡述。

本書的對象是或者是原子工業的工程技術人員有關係科的大學生。

工業射線照相術 譯自英文。史坦 А. С. (Штань А. С.) 西尼欽 В. И. (Синицын В. И.) 主編，莫斯科。原子能出版社。1960年。330頁。14盧布30戈比。

本書敘述了放射性同位素和核輻射在工業各部門，特別是金屬加工工業方面的應用；還敘述了零件無損試驗的各種方法。

此書是供工業部門中的工程技術人員，或者是有關係科的大學生閱讀。

格拉西莫夫斯基 В. И. (Герасимовский В. И.)。外國產鈾地區。莫斯科。蘇聯科學院出版社。1959年。144頁。4盧布20戈比。

本書是一本有關鈾礦物和它在外國一些主要產地的國外文獻簡論，它敘述了鈾的各種礦物和它們的化學成份、特性及生成條件。介紹了一些含鈾量高而藏量又豐富的產鈾地，以及一些較小的但值得工業開採的產鈾地。

Atom ABC. Genau gegeben von W. D. Müller
原子能專有名詞詞典。編著者 В. Д. 苗涅爾 (В. Д. Мюллер) Düsseldorf, Econ-Verlag. 322 s.

這是一本詳解字典，它用通俗的形式解釋了在核物理、堆技術和其它一些利用原子能的方面：醫學、生物學、農業、工業等方面所經常遇到的概念。書中還介紹了研究性反應堆和動力反應堆的一些基本特性。並對許多在技術文獻中經常碰到的專有名詞、縮寫字、記號都作了通俗解釋。

這本字典適用於對利用原子能問題感興趣的廣大讀者，它對於閱讀德文技術文獻的專家以及翻譯、編輯都有莫大的幫助。

國外原子技術。第九期。(1960年)

第九期的第一篇文章介紹了 ЦЕРНА 型質子同步加速器，質子在加速器內的能量可達到 280 兆電子伏，文章的后一部分列有世界各國正在運行的和正在建造的質子同步加速器比較表。

在一篇簡訊中，報導了 1960 年 3 月在美國召開的關於原子能直接轉變成電能問題的大型會議內容。

下面還有二篇短文是談瑞典和芬蘭核動力工程的发展問題。第一篇短文報導了瑞典新動力反應堆三種類型：重水型、沸騰型、石墨汽體型的建造計劃；而其中談到第一種類型的反應堆對瑞典的條件來說是最經濟的了。第二篇短文里引述了在芬蘭建立核動力工程途徑的一般看法。目前芬蘭的主要任務是要着手培養一批原子能專業的幹部隊伍。

另外有三篇文章簡明地敘述了美國三種類型的反應堆：為試驗結構用研究性反應堆 (HWCTR)、氣體燃料快增殖反應堆和研究不穩定過程用的研究性

反应堆 (SPERT-11) 并且引述了这三种反应堆的特点。

下一篇文章介绍了法国薩克拉 EL-3 和 EL-2 重水反应堆所发生的事故。阐述事故发生原因和消灭事故的方法。事故发生的原因是由于释热元件坏了, 这样就引起载热剂和反应堆建筑物室内的空气放射性强度增加。

在一篇簡訊中介绍了英国卡德尔-霍尔型反应堆电能价格的最新資料。

下面一篇文章是阐明了从被照射过的核燃料化学加工的废物中分离铀的方法。

本期最后一篇文章介绍了几种剂量仪器 (光学暗盒和快中子剂量計)。

ЖУРНАЛЬНЫЕ СТАТЬИ¹

1. ФИЗИКА ЯДЕРНОЙ ЭНЕРГЕТИКИ

Нейтронная и реакторная физика. Физика горячей плазмы и управляемые термоядерные реакции. Физика ускорения заряженных частиц

Вестн. АН СССР, № 4 (1960)

Цянь Сан-цян, 121—124. Развитие ядерных исследований в КНР.

Докл. АН Арм. ССР, 29, № 5 (1959)

Хейфец С. А., 211—213. Способ создания устойчивости вертикального движения в ускорителе с увеличивающимся по радиусу магнитным полем.

Хзарджан С. М., 215—221. К теории нелинейных колебаний в плазме при постоянном внешнем магнитном поле.

Докл. АН СССР, 131, № 5 (1960)

Холев С. Р., Полтавченко Д. С., 1060—1063. Ускорение плазмы разряда и получение сильных ударных волн в камере с коаксиальными электродами.

Докл. АН СССР, 131, № 6 (1960)

Брегер А. Х. и др., 1308—1311. Поглощение гамма-излучения в макросистемах от точечного источника.

Ж. эксперим. и теор. физ., 38, вып. 5 (1960)

Бочагов В. А. и др., 1374—1380. Кинетическая энергия осколков фотоделения U^{230} .

Габович М. Д. и др., 1430—1433. Обнаружение ионных колебаний в плазме.

Ловчикова Г. Н., 1434—1435. Угловое распределение упруго рассеянных нейтронов.

Ковальский Н. Г. и др., 1439—1445. Исследование быстрых электронов в мощных импульсных разрядах.

Барабаненков Ю. Н., 1512—1514. Кулоновское рассеяние зарядов в сильном магнитном поле.

Комаров В. В., Попова А. М., 1559—1563. Исследование спектров нейтронов из реакции рас-

пада дейтрона под действием протонов.

Степанов К. Н., Пахомов В. И., 1564—1568.

О магнитно-тормозном излучении ограниченной плазмы.

Силин В. П., 1577—1583. Об электромагнитных свойствах релятивистской плазмы.

Гуревич А. В., 1597—1607. К вопросу о количестве ускоряющихся частиц в ионизованном газе при различных механизмах ускорения.

Зайцев А. А., Васильева М. Я., 1639—1640. О связи между колебаниями и скоростью потерь заряженных частиц в цилиндрической плазме низкого давления в продольном магнитном поле.

Кварцхава И. Ф. и др., 1641—1643. Неустойчивость индукционного пинча.

Изв. АН Арм. ССР, серия физ.-матем. наук, 12, № 5 (1959).

Хейфец С. А., 105—113. Возбуждение фазовых колебаний частиц в электронном синхротроне шумами магнитного поля, частоты и напряжения ускоряющего поля.

Изв. АН СССР, серия физ., 24, № 3 (1960)

Джелепов В. С. и др., 258—260. α -излучение U^{230} .

Изв. высш. учеб. заведений. Радиофизика, 3, № 1 (1960)

Железнянов В. В., 57—66. О неустойчивости магнитоактивной плазмы относительно высокочастотных электромагнитных возмущений. I.

Гершман В. Н., 146—148. О групповой скорости плазменных волн при наличии магнитного поля.

Изв. высш. учеб. заведений. Физика, № 1 (1960)

Степанов В. Г. и др., 104—114. Движение плазмы в движущемся магнитном поле.

Епонешиных В. Н. и др., 139—144. Динамика эффективного угла сектора в ускорителях с прямолинейными участками.

Тернов И. М., Туманов В. С., 155—163. К вопросу о движении поляризованных электронов в магнитном поле.

Кессених В. Н., 234—235. Когерентное рассеяние в плазме.

Воробьев А. А., Тернов И. М., 236—241. Международная конференция по ускорителям частиц высокой энергии и инструментам ядерной физики, состоявшаяся в Женеве 14—19 сентября 1959 г.

Титов В. Н., 241—243. Конференция по электронным ускорителям.

Приборы и техника эксперимента, № 2 (1960)

Абов Ю. Г., 3—14. Теория нейтронных кристаллических монохроматоров.

1) Список иностранных журналов, используемых в разделе «Библиография», опубликован в январском выпуске журнала «Атомная энергия» за 1960 г. Для информации о содержании советских журналов используется «Летопись журнальных статей» Всесоюзной книжной палаты.

Зейтленок Г. А. и др., 16—20. Высоковольтное питание поворотных пластин системы ввода ионного пучка в камеру синхрофазотрона на 10 Гэв.
Самойлов И. М., 21—23. Инжектор для электронных ускорителей.

Петржак К. А., Седлецкий Р. В., 34—37. Счетчики для измерения слабых активностей.

Дмитриевская Т. И. и др., 38—40. Применение торцовых счетчиков для измерения бета-излучения малой активности.

Пикус Г. Я., 104—106. Масс-спектрометр с высоковакуумным масс-анализатором.

Краснов Н. Н., 148—150. Высокочастотный ионный источник циклотронного типа.

Природа, 40, № 5 (1960)

Курсанов Г. А., 3—7. В. И. Ленин и диалектика физического мира.

Усп. физ. наук, 70, вып. 4 (1960)

Страховский Г. М., Кравцов Н. В. Сильные магнитные поля.

Arkiv fys. 16, H. 5 (1960)

Singwi K., 385—411. Теория диффузионного охлаждения нейтронов в твердом замедлителе конечных размеров.

Nucl. Energy, 14, No. 145 (1960)

Paulsen F., 267—268. Исследования в области термоядерного синтеза, проводимые Евратомом.

— — 269—271. Установка для дифракции нейтронов.

Nucl. Instrum. and Methods, 7, No. 1 (1960)

Parkef W. et al., 22—36. Некоторые методы приготовления радиоактивных материалов, используемых в β -спектроскопии.

Mitrofanov N., Van Loef J., 63—66. Регистрация нейтронов и γ -лучей, вызывающих деление, сцинтиллятором ZnS(Ag) с примесью урана и тория.

Newson H., Williamson R., 67—72. Нейтронная спектроскопия с высокой разрешающей способностью.

Henneberke G., 89—98. Электронный ускоритель в корпусе под давлением на ток 3 ма и постоянное напряжение 1.5 Мв.

Nucl. Instrum. and Methods, 7, No. 2 (1960)

Burman R., Vavin A., 101—112. Многоцелевой магнитный анализатор частиц.

Deruytter A., 145—152. Камера деления с 4л-геометрией.

Burke E., Lowe L., 193—196. Вычисление спектров тепловых нейтронов из данных по их прохождению через вещества.

Butler J., 201—203. Брикеты из CaBe, поглощающие нейтроны.

Nucl. Sci. and Engng, 7, No. 4 (1960)

Gross E., Marable J., 281—291. Статический и динамический коэффициенты размножения и их связь с уравнением обратных часов.

Teichmann T., 292—294. Замедление нейтронов.

Conkie W., 295—303. Кинетическое уравнение,

зависящее от скорости нейтронов.

Häfele W., Dresner L., 304—312. Теория «смягчения» спектра нейтронов, диффундирующих в гомогенной и гетерогенной средах.

Russell H., 323—324. Выделение без носителя Mn^{54} и I^{125} из циклотронных мишеней.

Baker P. et al., 325—326. Циклотронные мишени из элементов, обогащенных стабильными изотопами.

Green F., Martin J., 387—391. Увеличение выхода радиоизотопов, получаемых в циклотроне.

Aline P. et al., 392—394. Эффект размножения на быстрых нейтронах в бериллии.

Nucleonics, 18, No. 6 (1960)

Thompson M., 133, 135, 136, 139—140. Влияние фокусирующих столкновений на радиоактивные нарушения в металлах.

Nukleonik, 2, H. 3 (1960)

Özemre A., 100—105. Исследование нейтронных потоков, создаваемых введением «запальных» нейтронов в гомогенную размножающую среду.

Kraut A., 105—128. Результаты физических исследований деления ядер.

Nukleonika, V, Nr. 1—2 (1960). Приложение 1 Niewodniczanski H., Zakrzowski J. Первый «большой циклотрон» в Польше.

II. ЯДЕРНАЯ ЭНЕРГЕТИКА

Теория и расчет ядерных реакторов
Реакторостроение. Эксплуатация ядерных реакторов и атомных электростанций
Инж.-физ. ж., 3, № 4 (1960)

Ермаков В. С., 127—131. Нестационарное температурное поле в тепловыделяющих элементах реактора.

Инж.-физ. ж., 3, № 5 (1960)

Ярошевич О. И., 81—85. Исследование процессов переноса тепла в тепловыделяющих элементах ядерных реакторов методом гидравлического моделирования.

Ермаков В. С., 115—118. К вопросу о нестационарном температурном поле в тепловыделяющем элементе реактора.

Технол. судостроения, 1 (1960)

— — 39—41. Постройка и сдача атомного ледокола «Ленин».

Волков А. К., 69—76. К вопросу о сварке стальных конструкций атомных реакторов. (Из зарубежного опыта.)

Богданов В. П., Калашников Г. Ф., 73—76. Экономика постройки судна с ядерной энергетической установкой. (Из зарубежного опыта.)

Atomkernenergie, V, H. 5 (1960)

Benzler H., 165—172. Опрокидывание потока теплоносителя в реакторах с газовым охлаждением.

Atomwirtschaft, V, H. 5 (1960)

Finke W., 204—208. К вопросу о стоимости

ядерного горючего.

Armor J. et al., 209—216. «Латина» — первая атомная электростанция в Италии.

Energia Nucl., 7, No. 5 (1960)

Torielli E. et al., 333—341. Электронная модель для контроля работы газодувки атомной электростанции в Латине.

Diana E. et al., 342—349. Вычисление образования N^{16} в реакторе типа «Латина» методом Монте-Карло.

Jaderná Energie, VI, No. 6 (1960)

Barabas K., 188—191. Об экономической выгоды атомных электростанций.

Rýpar V., 192—199. Проблемы коррозии в энергетических реакторах, охлаждаемых CO_2 .

Nucl. Energy, 14, No. 145 (1960)

— 257—259. Транспортный реактор RM-2A, предназначенный для работы в Гренландии.

Whelchel C., Robbins C., 263—266. Использование разрежений в ядерных энергетических реакторах.

Nucl. Engng, 5, No. 49 (1960)

Elthan B., Cowper M., 243—244. Автоматическая защита реактора с газовым охлаждением.

Gray A., 245—248. Измерение потока нейтронов при повышенных температурах.

— 264—265. Проект датского реактора с газовым охлаждением «Бета».

— 266—267. Американская программа развития гражданских ядерных реакторов.

Nucl. Power, 5, No. 50 (1960)

Bolt P., 97—99. Параметры пара для судовых реакторов с органическим замедлителем

— 116—117. Очистка элементов теплообменников.

Carstairs R., Taylor M., 120—122. Поведение радиальной собственной функции реактора.

Nucl. Sci. and Engng, 7, No. 4 (1960)

Hammitt F., 327—335. Проблема газообразных продуктов деления в реакторе с циркулирующим горючим.

Mochizuki K., 336—344. Анализ осцилляций нейтронного потока вследствие накопления ксенона в больших энергетических реакторах.

Kottwitz D., 345—354. Спектр тепловых нейтронов в среде с дискретным полем температуры.

Fischer G., 355—362. Измерения энергетического спектра нейтронов в сборках без замедлителя.

Hummel H., Meneghetti D., 363—368. Диффузия промежуточных нейтронов в толстый резонансный поглотитель.

Finn B., 369—376. Соотношение между изменениями реактивности, лапласиана и периодами тяжеловодного реактора.

Newgard J., Levoe M., 377—386. Проект ядерной ракеты.

Nucleonics, 18, No. 6 (1960)

Palladino N., Davis H., 85—116. Принципы проектирования энергетических ядерных реакторов в США.

Sowa E., 122—124. Эксперименты на реакторе TREAT по расплавлению тепловыделяющих элементов реактора EBR-2.

Nukleonik, 2, H. 3 (1960)

Engel J., Schröder R., 88—90. Измерение реактивности в берлинском реакторе BER.

Märkl H., 90—100. Нестабильность мощности и концентрации ксенона в большом тепловом энергетическом реакторе.

Nukleonika, IV, Nr 6 (1959)

Pomerski R., 639—653. Перспективы развития ядерной энергетики и возможные изменения в стоимости производства электроэнергии.

Nukleonika, V, Nr 1—2 (1960)

Александрович Е., 1—21. Годовой период эксплуатации реактора типа ВВР-С в Польше (на русском языке).

Frankowski W., 23—26. Установка для измерения степени выгорания тепловыделяющих элементов без разрушения оболочки.

III. ЯДЕРНОЕ ГОРЮЧЕЕ И МАТЕРИАЛЫ

Ядерная геология и первичная технология.

Ядерная металлургия и вторичная технология.

Химия ядерных материалов

Вестн. АН СССР, XXX, № 5 (1960)

Яновский М. И., Газиев Г. А., 27—31. Газо-жидкостный радиохроматограф.

Геология руд. месторождений, № 2 (1960)

Каблуков А. Д., Вертепов Г. И., 20—31. Орелы рассеяния элементов вокруг урановых рудных тел.

Геохимия, № 3 (1960)

Макаров Е. С. и др., 193—213. Кристаллическое строение уранинитов и настуранов.

Наумов Г. В., Миронова О. Ф., 241—246. Окислительно-восстановительное равновесие в системе уран — железо в карбонатной среде и его значение в геохимии.

Докл. АН СССР, 132, № 2 (1960)

Данилевич С. И., 443—446. О достоверности возраста монацитов, определенного по урановому методу.

Ж. анал. хим., 15, вып. 2 (1960)

Григорьев В. Ф. и др., 184—190. Аналитическая химия урана. Сообщ. I. К вопросу о люминесцентном методе определения урана.

Ж. неорганич. хим., 5, вып. 5 (1960)

Сохина Л. П., Гельман А. Д., 1013—1015. О разложении оксалатных комплексных соединений плутония под действием α -излучения.

Шевченко В. Б. и др., 1095—1099. О механизме экстракции урана (VI) трибутилфосфатом из солянокислых растворов.

Зап. Всесоюз. минералог. о-ва, ч. 89, вып. 2

(1960)

Черников А. А. и др., 180—186. Урансодержащий вульфенит.

Atomwirtschaft, V, H. 5 (1960)

Ziehr H., 223—230. Поиски урана с помощью геоскоптеров.

Econ. Geol., 55, No. 3 (1960)

Hilpert L., Moench R., 429—464. Месторождения урана в южной части бассейна Сан-Жуан, шт. Нью-Мексико.

Energia Nucl., 7, No. 5 (1960)

Germagnoli E., Granata S., 309—322. Поведение вакансий в решетке чистых металлов.

Damiani L. et al., 323—332. Импульсная колонна для жидкостной экстракции. Ч. 1—Описание и работа.

Cerrai E., Gazzarrini F., 358—360. Спектрофотометрия тория и торона в присутствии циркония.

Jaderná Energie, No. 6 (1960)

Zajíc V., 200—201. Удельная теплота и теплопроводность порошка U_3O_8 .

Nucl. Energy, 14, No. 145 (1960)

— — 272—274. Фтористые соединения и атомная энергия. Ч. I. — Производство и применения фтористого водорода.

— — 276—277, 282. Производство изотопов в Амершае.

Nucl. Engng, 5, No. 49 (1960)

Hanna G. et al., 258—260. Обработка бериллия в лабораториях австралийского исследовательского центра в Люкас-Хайте.

— — 261—263. Конференция по металлургии плутония в Гренобле.

Nucl. Power, 5, No. 50 (1960)

Saddington K., 92—96. Регенерация горючего от гражданских ядерных реакторов.

Braithwaite E., 118—120. Коллоидальные графитовые смазки.

Assary A., Blum P., 122—123. Производство и свойства карбида урана.

Nucleonics, 18, No. 6 (1960)

Flanders R. et al., 126—127. Использование кислого фтористого аммония для травления циркония.

Nukleonik, 2, H. 3 (1960)

Eulitz G., 85—87. Разделение Pb, Ca, Sr, Ba и Ra в катионообменнике.

Nukleonika, IV, Nr 6 (1959)

Trzebiatowski W. et al., 591—598. Восстановление фтористого урана (IV) жидким алюминием в расплавленных солях.

Zlotowski I., Zieliński M., 599—610. О некоторых зависимостях между механизмом реакции

$I_2O_5 \rightarrow CO_{газ}$ и кинетическим изотопным эффектом для C^{14} .

Zmysłowska S., 625—638. Использование сцинтилляционного γ -спектрометра для одновременного определения урана, тория и кальция в пробах скал

и почв.

— — 665—681. VI конгресс польского химического общества.

Nukleonika, V, Nr 1—2 (1960)

Zlotowski I., Zieliński M., 27—31. Изотопный эффект в процессе пиролиза $C^{14}H_3COONa$.

Minc S., Bryl T., 33—45. Влияние света на спектр поглощения растворов уранилнитрата в трибутилфосфате.

Minc S., Rafalski W., 47—53. Получение металлического тория электролизом из расплавленных солей.

Korpak W., Majchrzak K., 55—62. Сорбция урана из карбонатных растворов на анионите SM-x5.

Korpak W., Deptuła Cz., 63—71. Система три-н-бутилфосфат — разбавитель — HNO_3 — H_2O .

Kołos W., 73—80. Реактивность некоторых ионизированных углеводородов.

IV. ЗАЩИТА ОТ ЯДЕРНЫХ ИЗЛУЧЕНИЙ

Радиобиология и радиационная гигиена. Теория и техника защиты. Приборная техника

Гигиена и санитария, № 4 (1960)

Бондарев Г. И., 92—96. Облученные ионизирующей радиацией пищевые продукты и их пригодность для питания людей.

Измерит. техника, № 3 (1960)

Вотлохин Б. З., 38—39. Малогабаритный радиометр с электрогенератором.

Инж.-физ. ж., 3, № 4 (1960)

Кухтевич В. И. и др., 125—126. Дозовые характеристики ионизационных камер и сцинтилляционных кристаллов больших размеров.

Мед. радиология, 5, № 3 (1960)

Бубнов В. С. и др., 61—64. Применение кристаллов бромистого калия для дозиметрии γ -излучения.

Терман А. В., 78—79. Применение радиоактивных индикаторов в гигиенических исследованиях.

Природа, 49, № 5 (1960)

Бреславец Л. П., Милешко З. Ф., 50—53. Защита растений от ионизирующего излучения.

Atomkernenergie, V, H. 5 (1960)

Hagen U., Langendorff H., 173—181. О применении единицы измерения «гет» в дозиметрии.

Dunkel D., 183—187. О применении ионообменных смол для экстракции радиоактивных продуктов деления из атмосферных осадков.

Atomwirtschaft, V, H. 5 (1960)

Seetzen J., 230—233. Защита ядерного реактора.

Graf H., 235—238. Международные предупредительные знаки, используемые в области атомной энергии.

Energia Nucl., 7, No. 5 (1960)

De Matteis A., Giacobbe P., 350—357. Применение метода Монте-Карло для изучения физических

характеристик детектора нейтронов.

Industr. Health, 21, No. 3 (1960)

Dunham Ch., 287—291. Ионизирующие излучения и промышленная гигиена.

Jaderná Energie, VI, No. 6 (1960)

Heřík P., 181—183. Биологическое действие радиоактивного углерода.

Čeřovsky J., Malásek E., 184—187. Захоронение загрязненного радиоактивностью лабораторного оборудования.

J. Water Pollut. Control Federat., 32, No. 3 (1960)

Tsivoglou E. et al., 262—287. Контроль радиоактивного загрязнения р. Анимас.

J. Water Pollut. Control Federat., 32, No. 5 (1960)

Krieger H. et al., 495—504. Лабораторные эксперименты по выделению продуктов деления из отходов ядерного горючего.

Nucl. Engng, 5, No. 49 (1960)

Barratt P., 251—254. Ионизирующие излучения и проектирование электронного оборудования.

Cavanagh P., 255—257. Самописцы для записи импульсов ядерных излучений.

Nucl. Power, 5, No. 50 (1960)

Taylor D., 110—114. Дозиметрические приборы.

3. — — 117. Новый материал на алюминиевой основе для защиты от тепловых нейтронов.

Nucleonics, 18, No. 6 (1960)

Campbell M., 118—119. Автоматическая установка для анализа радиоактивных образцов методом фазового разделения.

Nukleonika, IV, Nr 6 (1959)

Owczarski T., 655—663. Надежность работы устройств совпадения в системах аварийной сигнализации ядерных реакторов.

Research, XIII, No. 6 (1960)

White P., Smith S., 228—233. Удаление радиоактивных частиц из воздуха.

V. РАДИОАКТИВНЫЕ И СТАБИЛЬНЫЕ ИЗОТОПЫ

Метод меченых атомов. Использование

радиоактивных излучений. Непосредственное преобразование атомной энергии в электрическую

Докл. АН СССР, 131, № 6 (1960)

Несмеянов Ан. Н., Де Дык Ман., 1383—1385. Измерение давления пара твердою хрома методом радиоактивных изотопов.

Измерит. техника, № 5 (1960)

Корсунский М. И. и др., 50—52. Применение радиоактивных изотопов для измерения влажности пара.

Каучук и резина, № 4 (1960)

Брегер А. Х. и др., 17—22. Сравнительная оценка эффективности различных источников ядерных излучений для процесса радиационной вулканизации шин.

Нар. хоз. Казахстана, № 4 (1960)

Каипов Р., 85—87. Радиоактивные изотопы в народном хозяйстве.

Atomkernenergie, V, H. 5 (1960)

Martin H., 187—201. Обзор новых советских работ по применению радиоактивных изотопов.

Atomwirtschaft, V, H. 5 (1960)

Wiesner L., 216—218. Использование ядерно-физических методов при поисках и добыче нефти.

Nucl. Power, 5, No. 50 (1960)

Lindley B., 100—103. Методы непосредственного получения электроэнергии из атомной энергии.

Nucl. Sci. and Engng, 7, No. 4 (1960)

Gumbleton J. et al., 313—319. Использование Fe^{59} для определения износа автомобильных двигателей.

Green F., Somerville A., 320—322. Непрерывный счет γ -лучей из горячих радиоактивных жидкостей.

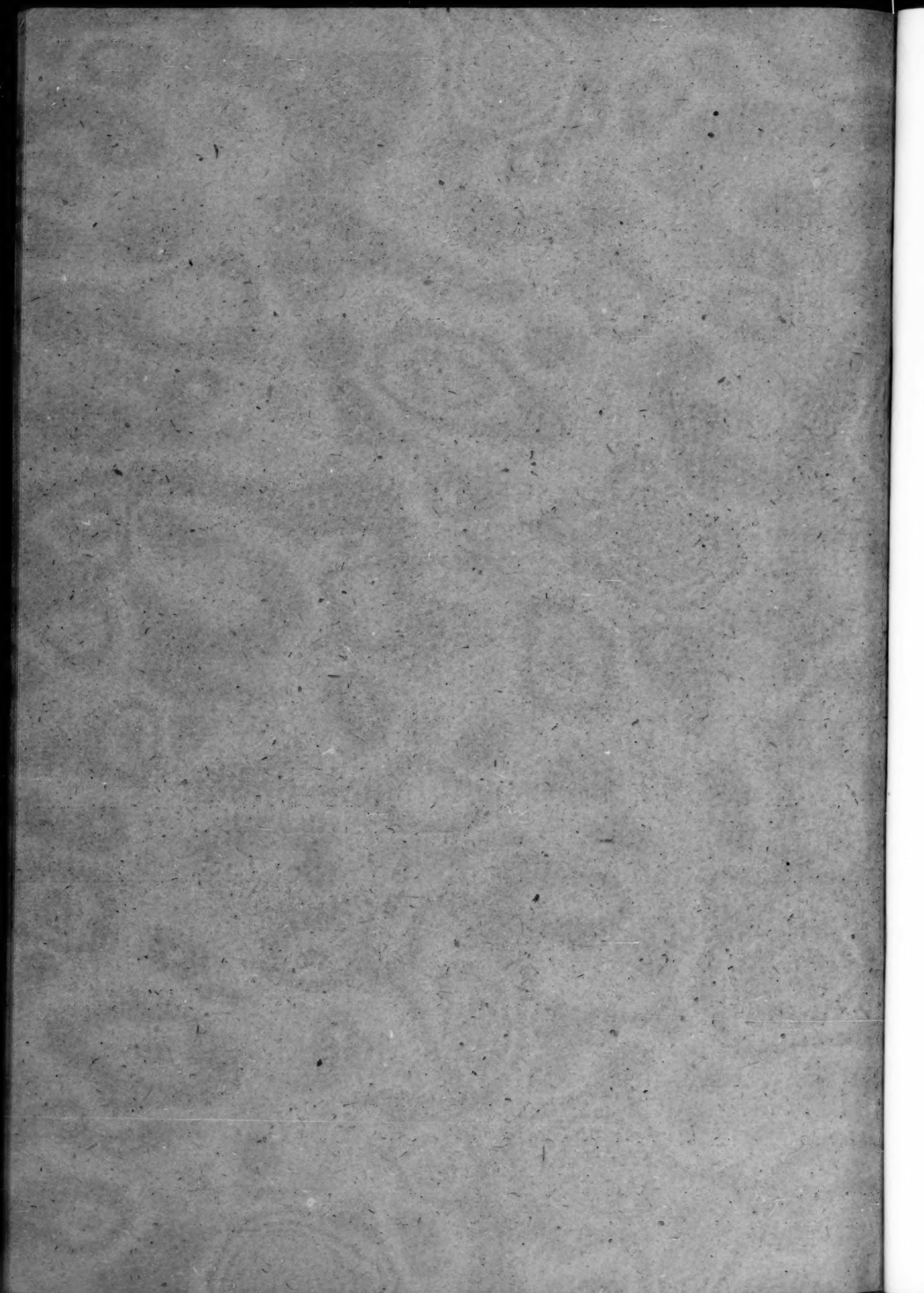
Nucleonics, 18, No. 6 (1960)

Hill Ch. et al., 130, 132—133. Использование γ -излучения для определения содержания барита в специальной смазке.

Kniebes D. et al., 142—147. Использование Ar^{41} для измерения расхода газов.

Nukleonika, IV, Nr 6 (1959)

Broszkiewicz R., 611—624. Применение радиоактивных изотопов в Польше в 1958 г.



СОДЕРЖАНИЕ

СТАТЬИ

- П. Л. Кириллов, В. Д. Колесников, В. А. Кузнецов, Н. М. Турчин.* Приборы для измерения давления, расхода и уровня расплавленных щелочных металлов..... (7)
- З. Длоугы.* Измерение возраста нейтронов в графите импульсным методом..... (9)
- А. Н. Лебедев.* О высокочастотном накоплении пучка в циклических ускорителях (15)
- С. Г. Конобеевский.* О релаксации упругих напряжений под действием нейтронного облучения (20)
- П. В. Прибытков.* Основные принципы классификации промышленных урановых руд (27)
- С. А. Вознесенский*, *Г. А. Середа, Л. И. Басков, Е. В. Ткаченко, В. Ф. Багрецов.* К вопросу о применении флотации при очистке радиоактивных сточных вод..... (34)

ПИСЬМА В РЕДАКЦИЮ

- Н. А. Бургов, Г. В. Данилян, И. Я. Корольков, Ф. Штерба.* Спектр γ -лучей реактора ТВР..... (51)
- А. Р. Птицын.* К вопросу о нахождении пространственно-энергетического распределения нейтронов от плоского источника в бесконечной среде..... (54)
- В. Ф. Михайлов.* Простой многоканальный амплитудный анализатор импульсов..... (57)
- С. Г. Тресвятский, В. И. Кушаковский, В. С. Белеванцев.* Изучение систем $\text{Al}_2\text{O}_3\text{—Sm}_2\text{O}_3$ и $\text{Al}_2\text{O}_3\text{—Gd}_2\text{O}_3$ (59)

НОВОСТИ НАУКИ И ТЕХНИКИ

Всесоюзное совещание по внедрению радиоактивных изотопов и ядерных излучений в народное хозяйство СССР (61). Использование радиоактивных изотопов и ядерных излучений при разведке и разработке полезных ископаемых (61). Применение радиоактивных изотопов и ядерных излучений в металлургии (63). Применение радиоактивных изотопов в горнообогатительной и горнодобывающей промышленности (64). Применение радиоактивных изотопов и ядерных излучений в строительстве (66). Применение радиоактивных изотопов в легкой промышленности (68). Применение радиоактивных изотопов и ядерных излучений в машиностроении (70). Радиоактивные изотопы и ядерные излучения на службе сельскому хозяйству (72). Радиоактивные изотопы и ядерные излучения в пищевой промышленности (74). Использование радиоактивных изотопов и ядерных излучений в медицине (77). Источники α -, β -, γ -излучений для контроля и автоматизация технологических процессов (79).

Краткие сообщения (80).

БИБЛИОГРАФИЯ

- Новая литература..... (82)

征 求 譯 者 簡 約

1. 本編委会征求俄、英、德、法、日等文种的譯者，譯文內容包括原子能科学技术有关的資料和新聞报导。
2. 凡愿参加翻譯者請来信联系，注明真名、专业、翻譯文种、工作机关及詳細通信地址。
3. 凡向“原子能譯丛”杂志推荐的譯文选题，在未与本編輯部联系前，請勿开譯，以免重譯或选材不合本刊要求。选题須注明来源和内容摘要。
4. 譯稿經采用后酌致稿酬。
5. 惠件請寄“北京市邮局 287 信箱 1 号”。

中国科学院原子核科学委员会編輯委员会

原 子 能 (月刊)

編 輯 者	中国科学院原子核 科学委员会編輯委员会 (北京市邮局 287 信箱 1 号)
出 版 者	科 学 出 版 社
印 刷 者	中国科学院印刷厂
总发行处	北 京 市 邮 局
訂 购 处	全 国 各 地 邮 电 局
代訂零售处	全 国 各 地 新 华 书 店 科学出版社各地門市部

(京) 1—3,000

1961 年 1 月 5 日出版
延至 3 月中旬出版

定价: 1.10 元

本刊代号: 2—212